

全国最低交易手续费免费办理国内正规商品股指原油期货开户 零佣金 不限资金量和交易量直接申请交易所手续费
任何地方费用比我们低 10倍赔偿差价 客服微信/QQ：958218088 期货开户和书籍下载请进：<http://www.7help.net>

ELLIOTT WAVE PRINCIPLE

艾略特 波浪理论

研判股市底部与顶部的有效工具

(全新版)



[美] 拉尔夫·N·艾略特 Ralph N. Elliott

金融市场趋势技术分析的经典投资名著

完整汇集“波浪理论之父”艾略特关于波浪理论的全部作品



中国青年出版社
CHINA YOUTH PRESS



中文传媒

ELLIOTT WAVE PRINCIPLE

艾略特 波浪理论

研判股市底部与顶部的有效工具

(全新版)

[美] 拉尔夫·N·艾略特 Ralph N. Elliott

图书在版编目(CIP)数据

艾略特波浪理论：研判股市底部与顶部的有效工具：全新版 / (美) 艾略特著；王建民译。

—北京：中国青年出版社，2016.1

书名原文：Elliott Wave Principle

ISBN 978-7-5153-3954-2

I. ①艾… II. ①艾… ②王… III. ①股票市场—市场分析 IV. ①F830.91

中国版本图书馆CIP数据核字（2015）第270036号

艾略特波浪理论： 研判股市底部与顶部的有效工具：全新版

作者：〔美〕拉尔夫·N·艾略特

译者：王建民

责任编辑：肖佳

美术编辑：李甦

出版：中国青年出版社

发行：北京中青文文化传媒有限公司

电话：010-65511270/65516873

公司网址：www.cyb.com.cn

购书网址：zqwts.tmall.com www.diyijie.com

制作：中青文制作中心

印刷：北京慧美印刷有限公司

版次：2016年1月第1版

印次：2016年1月第1次印刷

开本：787×1092 1/16

字数：170千字

印张：14

书号：ISBN 978-7-5153-3954-2

定价：35.00元



版权声明

未经出版人事先书面许可，对本出版物的任何部分不得以任何方式或途径复制或传播，包括但不限于复印、录制、录音，或通过任何数据库、在线信息、数字化产品或可检索的系统。



目录
Contents

第一篇 波浪理论 009

- 第 1 章 / 大自然的规律 / 011
- 第 2 章 / 股票市场中的波浪 / 015
- 第 3 章 / 波浪的识别 / 017
- 第 4 章 / 波浪命名 / 024
- 第 5 章 / 波浪的特征 / 030
 - 第五浪 030
 - 调整浪 034
 - 延长浪 035
 - 延长浪中的延长浪 036
 - 延长浪之后的市场走势 037
 - 不规则调整浪 038
 - 强调整浪 039
 - 失败浪 041
 - 研究者存在疑问时 042
 - 三角形浪 042
- 第 6 章 / 速度、成交量和绘图 / 047
 - 成交量 048

- 第 7 章 / 有关波浪图的其他说明 / 053
- 第 8 章 / 波浪理论的应用 / 056
- 第 9 章 / 1937—1938 年熊市特例 / 060
 - 平行四边形形态 060
 - 半月形 063
 - 追加浪 065
- 第 10 章 / 波浪理论在其他领域的应用 / 067

第二篇 《金融世界》文章 073

- 第 1 章 / “波浪理论”简介 / 075
 - 历史意义 075
- 第 2 章 / 完整的波动 / 078
 - 完整的波动 078
 - 采用的价格波动区间 079
 - 外部因素的影响 080
- 第 3 章 / 通道理论 / 081
- 第 4 章 / 波浪划分 / 084
- 第 5 章 / 熊市波浪 / 086
 - 有序下跌 086
 - 熊市迹象 088
- 第 6 章 / 牛市波浪 / 089
- 第 7 章 / 调整浪 / 091
- 第 8 章 / 三角形形态调整浪 / 093
- 第 9 章 / 延长浪 / 096
- 第 10 章 / 时间和价格 / 099



第 11 章 / 波浪特征分析 / 103

波浪特征 103

关键点 104

第 12 章 / 波浪理论的个股分析 / 106

第三篇 1940—1942 年文章选编 ----- **109**

第 1 章 / 波浪理论的基础 / 111

波浪理论的基础以及与数学法则的相关性 113

波浪持续时间 115

第 2 章 / 市场低迷——原因和结束 / 120

第 3 章 / 美国历史上的两大波浪循环 / 123

第 4 章 / 市场未来走势 / 126

第四篇 自然法则——宇宙的奥秘 ----- **129**

第 1 章 / 大金字塔吉萨 / 131

第 2 章 / 自然法则 / 133

各种观察到的现象 138

第 3 章 / 人类活动 / 140

第 4 章 / 人类活动特性 / 141

第 5 章 / 调整浪 / 144

锯齿形态 144

平台形 146

复杂调整浪 149

三角形态 151

第 6 章 / 延长浪 / 154

延长浪的延长浪 155

第五浪延长与双重回撤	156
错误的数浪方法	156
调整浪的放大	158
横盘波动	159
第 7 章 / 不规则顶部 /	161
第 8 章 / 交替规则 /	163
第 9 章 / 刻度选择 /	165
第 10 章 / 实例 /	167
第 11 章 / 持续 13 年的三角形形态 /	171
第 12 章 / 膨胀 /	176
第 13 章 / 黄金价格 /	178
第 14 章 / 专利 /	180
第 15 章 / 技术因素 /	182
第 16 章 / 道琼斯铁路股指数 /	185
第 17 章 / 消息的价值 /	188
第 18 章 / 绘图方法 /	192
第 19 章 / 投资时机 /	195
第 20 章 / 如何进行证券选择 /	196
波动和利润	196
牛市顶部	196
熊市	196
以往交易经验	197
不活跃股票	197
内部消息	197
股票年龄	197
第 21 章 / 金字塔符号以及它们是如何被发现的 /	199



- 第 22 章 / 运动法则 / 201
- 第 23 章 / 大萧条 / 205
- 第 24 章 / 个体的情绪周期循环 / 207
- 第 25 章 / 毕达哥拉斯 / 209
- 第 26 章 / 杂记 / 214
 - 波浪与成交量 214
 - 圆 214
 - A-B 底部 215
- 第 27 章 / 1942 年至 1945 年的大牛市 / 216
- 第 28 章 / 回顾和总结 / 219

ELLIOTT WAVE PRINCIPLE

艾略特 波浪理论

研判股市底部与顶部的有效工具

(全新版)

[美] 拉尔夫·N·艾略特 Ralph N. Elliott

图书在版编目(CIP)数据

艾略特波浪理论：研判股市底部与顶部的有效工具：全新版 / (美) 艾略特著；王建民译。

—北京：中国青年出版社，2016.1

书名原文：Elliott Wave Principle

ISBN 978-7-5153-3954-2

I. ①艾… II. ①艾… ②王… III. ①股票市场—市场分析 IV. ①F830.91

中国版本图书馆CIP数据核字（2015）第270036号

艾略特波浪理论： 研判股市底部与顶部的有效工具：全新版

作者：〔美〕拉尔夫·N·艾略特

译者：王建民

责任编辑：肖佳

美术编辑：李甦

出版：中国青年出版社

发行：北京中青文文化传媒有限公司

电话：010-65511270/65516873

公司网址：www.cyb.com.cn

购书网址：zqwts.tmall.com www.diyijie.com

制作：中青文制作中心

印刷：北京慧美印刷有限公司

版次：2016年1月第1版

印次：2016年1月第1次印刷

开本：787×1092 1/16

字数：170千字

印张：14

书号：ISBN 978-7-5153-3954-2

定价：35.00元



卓越教师网

版权声明

未经出版人事先书面许可，对本出版物的任何部分不得以任何方式或途径复制或传播，包括但不限于复印、录制、录音，或通过任何数据库、在线信息、数字化产品或可检索的系统。



目录
Contents

第一篇 波浪理论 009

第 1 章 / 大自然的规律 / 011

第 2 章 / 股票市场中的波浪 / 015

第 3 章 / 波浪的识别 / 017

第 4 章 / 波浪命名 / 024

第 5 章 / 波浪的特征 / 030

第五浪 030

调整浪 034

延长浪 035

延长浪中的延长浪 036

延长浪之后的市场走势 037

不规则调整浪 038

强调整浪 039

失败浪 041

研究者存在疑问时 042

三角形浪 042

第 6 章 / 速度、成交量和绘图 / 047

成交量 048

- 第 7 章 / 有关波浪图的其他说明 / 053
- 第 8 章 / 波浪理论的应用 / 056
- 第 9 章 / 1937—1938 年熊市特例 / 060
 - 平行四边形形态 060
 - 半月形 063
 - 追加浪 065
- 第 10 章 / 波浪理论在其他领域的应用 / 067

第二篇 《金融世界》文章 073

- 第 1 章 / “波浪理论”简介 / 075
 - 历史意义 075
- 第 2 章 / 完整的波动 / 078
 - 完整的波动 078
 - 采用的价格波动区间 079
 - 外部因素的影响 080
- 第 3 章 / 通道理论 / 081
- 第 4 章 / 波浪划分 / 084
- 第 5 章 / 熊市波浪 / 086
 - 有序下跌 086
 - 熊市迹象 088
- 第 6 章 / 牛市波浪 / 089
- 第 7 章 / 调整浪 / 091
- 第 8 章 / 三角形调整浪 / 093
- 第 9 章 / 延长浪 / 096
- 第 10 章 / 时间和价格 / 099

第 11 章 / 波浪特征分析 / 103

波浪特征 103

关键点 104

第 12 章 / 波浪理论的个股分析 / 106

第三篇 1940—1942 年文章选编 109

第 1 章 / 波浪理论的基础 / 111

波浪理论的基础以及与数学法则的相关性 113

波浪持续时间 115

第 2 章 / 市场低迷——原因和结束 / 120

第 3 章 / 美国历史上的两大波浪循环 / 123

第 4 章 / 市场未来走势 / 126

第四篇 自然法则——宇宙的奥秘 129

第 1 章 / 大金字塔吉萨 / 131

第 2 章 / 自然法则 / 133

各种观察到的现象 138

第 3 章 / 人类活动 / 140

第 4 章 / 人类活动特性 / 141

第 5 章 / 调整浪 / 144

锯齿形态 144

平台形 146

复杂调整浪 149

三角形态 151

第 6 章 / 延长浪 / 154

延长浪的延长浪 155

第五浪延长与双重回撤	156
错误的数浪方法	156
调整浪的放大	158
横盘波动	159
第7章 / 不规则顶部 /	161
第8章 / 交替规则 /	163
第9章 / 刻度选择 /	165
第10章 / 实例 /	167
第11章 / 持续13年的三角形态 /	171
第12章 / 膨胀 /	176
第13章 / 黄金价格 /	178
第14章 / 专利 /	180
第15章 / 技术因素 /	182
第16章 / 道琼斯铁路股指数 /	185
第17章 / 消息的价值 /	188
第18章 / 绘图方法 /	192
第19章 / 投资时机 /	195
第20章 / 如何进行证券选择 /	196
波动和利润	196
牛市顶部	196
熊市	196
以往交易经验	197
不活跃股票	197
内部消息	197
股票年龄	197
第21章 / 金字塔符号以及它们是如何被发现的 /	199

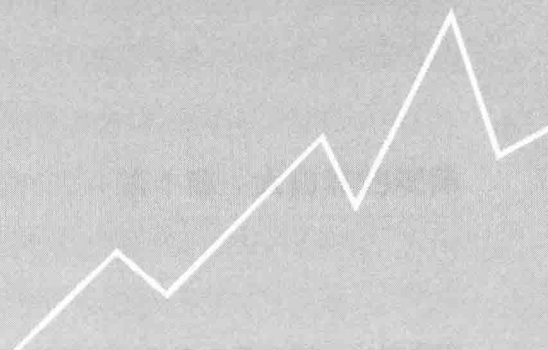


- 第 22 章 / 运动法则 / 201
- 第 23 章 / 大萧条 / 205
- 第 24 章 / 个体的情绪周期循环 / 207
- 第 25 章 / 毕达哥拉斯 / 209
- 第 26 章 / 杂记 / 214
 - 波浪与成交量 214
 - 圆 214
 - A-B 底部 215
- 第 27 章 / 1942 年至 1945 年的大牛市 / 216
- 第 28 章 / 回顾和总结 / 219

全国最低交易手续费免费办理国内正规商品股指原油期货开户 零佣金 不限资金量和交易量直接申请交易所手续费
任何地方费用比我们低 10倍赔偿差价 客服微信/QQ：958218088 期货开户和书籍下载请进：<http://www.7help.net>

第一篇

The Wave Principle 波浪理论



全国最低交易手续费免费办理国内正规商品股指原油期货开户 零佣金 不限资金量和交易量直接申请交易所手续费
任何地方费用比我们低 10倍赔偿差价 客服微信/QQ：958218088 期货开户和书籍下载请进：<http://www.7help.net>

第 1 章 大自然的规律

宇宙万物皆有其法则，这是普遍的真理。如果没有了法则，必将出现混乱，混乱则一无是处。航海、化学、航空、建筑、无线电广播、外科手术、音乐……事实上，所有的艺术和科学，不管是否与生命有关，都有其自然规律，因为大自然就是按照自己的规律运行的。而规律的特征是有序性和一致性，意味着一切发生的事物都会重复，并且，在我们了解规律之后，就能够对其进行预测。

哥伦布坚称地球是圆的。他曾预言，从欧洲出发一路向西航行，他的船只必将到达陆地。最后，那些嘲讽他的人，甚至包括他自己的船员，都亲眼见证了他的预言。哈雷计算出了1682年彗星的轨迹，并且预言它还会回来，他的这一预言在1759年得到了验证。马可尼在研究电子通信后，预言声音可以通过无线进行传播，我们今日可以坐在家中，聆听来自大洋彼岸的音乐和其他节目。在其他领域还有很多这样的人，他们都知晓了规律所在，知晓规律之后，就可以用数学方法进行分析，预测就变得简单了。

尽管我们可能无法理解某一现象背后的原因，但我们可以通过观察来预测此现象重复发生的规律。千万年前，在人们还不知道太阳升起的原因时，就已经能预测太阳在固定时间周而复始地升起。印第安人按照每个新月来确定月份，但即便是现在他们也不能理解这种天象为何呈现有规律的间隔。世界各地的人们都会在春季进行播种，因为人们知道在四季轮换上春季过后是

夏季。但究竟有多少耕种的人知道四季轮换的原因呢？在以上每一个案例中，人们都掌握了特定现象背后的规律。

和太阳、月亮一样，人类也是自然界的物种。同样人类的行为，也有其重复的规律，也可以对其进行分析。尽管人类活动复杂多样，令人叹为观止，但从规律的角度进行分析的话，即便是最令人困惑的问题，也能找到精确且合理的答案。由于人类活动有其规律性，对其行为进行计算分析后，可以对未来进行预测。

有关人类活动的大量研究表明，实际上所有社会经济发展都遵循某种规律：人类活动在一系列相似且恒定的、有着明确浪数和形态的波浪驱动之下不断重复。这些研究也表明，这些波浪相互之间以及它们持续的时间存在着稳定的关系。为了更好地解释和分析此现象，有必要在人类的活动领域中，找到一些具有丰富可靠数据的实例。这其中，最好的选择莫过于股票市场。

股票市场得到特别关注的原因主要有两点。首先，其他任何一个领域，都没有像股票市场一样进行如此高强度的预测，但效果却如此差。经济学家、统计学家、技术分析师、商业领袖和银行家，都在不断尝试预测纽约证券交易所的价格走势。市场预测也已经发展成为了一项职业。然后1929年的来临，将历史上最大的牛市转变成最大的熊市，几乎让所有投资者都反应不及。每年花费成千上万美元进行市场研究的顶级分析机构同样措手不及，由于长时间的股价下跌，它们损失惨重。

选择股票市场的第二个原因，在于成功的预测能带来巨大经济回报。即便是一次偶然的成功预测，创造出的财富也让人难以置信。以1932年7月到1937年3月的市场情况为例，30只领先、代表性股票平均涨幅达到373%。然而在这五年的价格波动中，个别股票的涨幅会更高。最后要说明的是，上述五年涨势并不是直线上涨，而是一系列涨跌波动，由持续数月的锯齿形态波

动组成。这种波动范围较小的走势带来了更大的获利机会。

尽管股市获得了广泛研究和关注，但预测的准确性以及随之而来的收益并不是必然的。原因在于那些尝试预测市场波动的投资者无法意识到市场是一种心理现象。他们没有抓住市场波动有其规律性这一事实，换句话说，没有意识到股票的价格波动是受规律或有序法则的限制。因此，很多有一定市场经验的人都认为，市场预测是不确定且没有价值的，即便预测成功也只是偶然。

但是，市场有其规律，正如宇宙万物一样。假如没有规律，价格就失去了波动的中心，市场也将不复存在，市场每日的价格波动就会是杂乱无章、令人困惑、没有理由或明显的秩序。然而经过深入的市场研究，我发现事实并非如此，价格波动的规律或法则是可以被识别的。只有从适当的角度进行观察，用特定的方法进行分析，才能发现市场背后的规律。简单来讲，股票市场是人类创造的产物，因此必将反映出人类的特质。在本书后面的章节中，这一规律将被揭开，市场波动正是遵循这一波浪理论。

波浪理论是一种一直存在于人类活动中的现象。无论是否存在记录工具，不同浪级的波浪始终存在。当出现了下述情况后，波浪形态会更加完美，经验丰富者可以识别出这些形态。

- (1) 大量商业活动由所有权广泛分散的公司开展；
- (2) 存在一个市场，买卖双方可通过中介迅速接触；
- (3) 交易记录可靠且信息公开；
- (4) 人们可以获得与公司相关的所有事项的统计数据；
- (5) 每日高低价格波动被绘制成走势图，揭示出不同浪级的波浪。

股票交易的日价格波动记录始于1928年，每小时价格波动记录始于1932年。为了观察小浪与细浪，这些记录是必需的，尤其是在快速变化的市场中。

波浪理论，并不需要两种平均价格指数相互确认。每个平均价格指数、板块、个股或者任何人类活动，都可以通过其自身波浪得到解释。波浪的行为已经得到较深入的研究，但具体应用仍处于初级阶段。

第 2 章 股票市场中的波浪

正如上一章中所提及的，人类的心理活动具有其规律性，它们按照特定数量和方向的波浪运动。这一现象存在于所有人类活动中，无论是商业、政治还是娱乐。这一现象在公众广泛参与价格波动的自由市场中更为明显，因此，债券、股票和商品价格走势尤其适合采用波浪理论进行分析和展示。本书利用股票的价格波动来解释此现象，但本书所阐述的所有原理同样适用于人类活动所涉及的每个领域。

完整的波动由五浪组成。至于为什么是由五浪而不是其他数量组成，是宇宙奥秘之一。没必要尝试对此进行解释，毕竟数字五在自然界其他基本形态中普遍存在。以人体为例，身体躯干有五个延伸部位：头、双腿、双臂；头部有五个延伸：双耳、双眼、鼻子；每只手有五个手指，每只脚有五个脚趾；有五个感官：味觉、嗅觉、视觉、触觉、听觉；这样的例子无处不在。每种情况下，对于一个完整的社会演变趋势，都存在一个基础的五浪，这一点无需追究其原因，就可得到人们的普遍接受。

一个完整波动的五浪中，有三个波浪的方向和波动方向一致，两个波浪方向与波动方向相反。第一浪、第三浪、第五浪代表了前进的方向；第二浪、第四浪，代表了相反的方向，或称为调整浪。换句话说，奇数波浪代表波动的主方向，偶数波浪和主方向相反（如图1所示）。

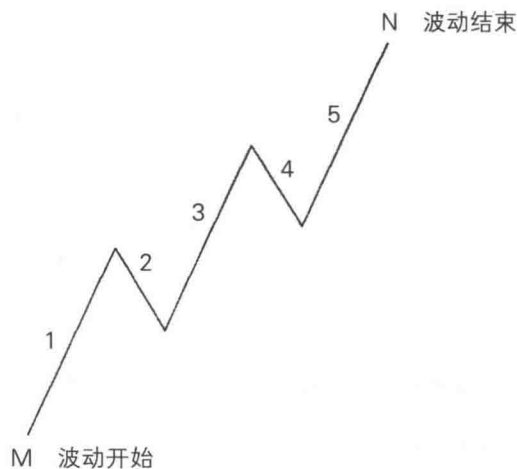


图1

一个浪级的五浪，成为下一个更高级别波浪的第一浪。举例来讲，图1中M点到N点形成一个五浪。而图2表示的是一个更高级别的波动，M点到N点仅是M点到R点这一个五浪中的第一浪。同样，M点到R点将成为更高级别波动的第一浪。

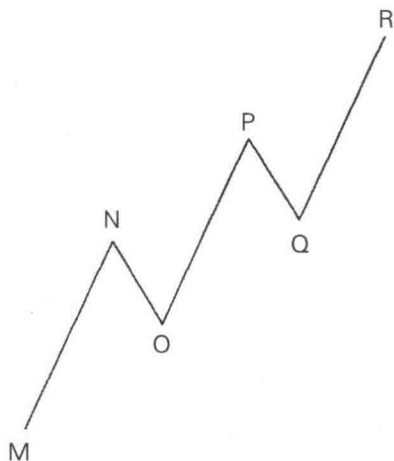


图2

第3章 波浪的识别

上一章中我们简要介绍了股票价格的波浪运动，得出的主要结论是一次波动由五浪组成，并且一次波动的五浪构成了下一更高级别波浪的第一浪。本章将介绍波浪运动的第二个基本规律，主要讲述奇数浪和偶数浪之间的区别。

浪1、浪3、浪5是主要方向上的浪；浪2、浪4方向相反。浪2是对浪1进行的回调，浪4是对浪3进行的回调。主要方向和相反方向上的波浪之间主要区别在于，主要方向上的波浪能够进一步分解为五个较小级别的波浪，而相反方向上的波浪则仅能分解成三个较小级别的波浪。上一章中M至N点的波动如图3所示。

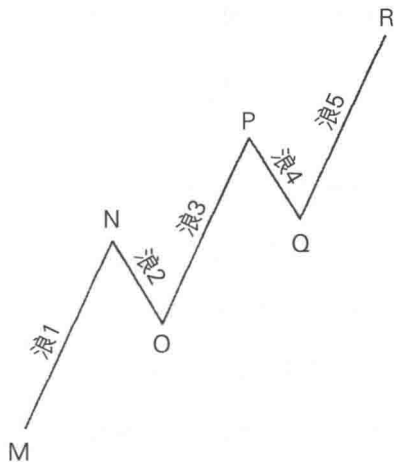


图3

如果M至N点之间的波动可以进一步分解成更小级别的波动，就会如图4所示那样分解。



图4

需要注意的是，在图4中，第二浪（点1至点2）以及第四浪（点3至点4）都是由三个更小级别的波浪组成，而第一浪、第三浪和第五浪都是由五个更小级别的波浪组成。本图中能得出的、对整个波浪理论具有基础作用的规律如下：

(1) 主要波动方向上的波浪，或者说奇数浪由五个更小级别的波浪组成。

(2) 调整浪，或者相反方向的波动（偶数浪）由三个更小级别的波浪组成。

为了进一步对上述规律进行说明，让我们以图4中点1至点2之间的波动为例。从M点到N点是完整的波动，点1至点2是这一完整波动中的第二浪，和所有调整浪一样，它由三个更小级别的波浪组成。当单独观察点1至点2时，这三个波浪形成了一个明显的调整波动，并且按照上述规律，奇数浪（或者a浪和c浪）由于它们处于点1至点2的主要波动方向上，因此由五个更小级别

的波浪组成。而偶数浪（b浪）与主要波动方向相反，是调整浪，因此由三个更小级别的波浪组成。如果将点1到点2之间的波动用更小级别的波浪来展示的话，图形如图5所示。

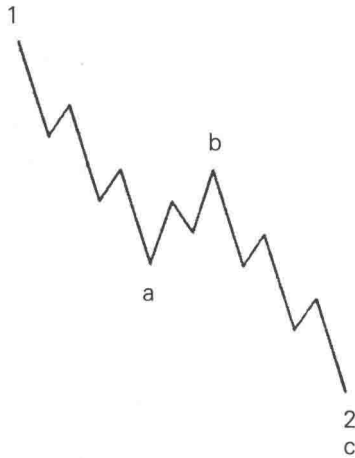


图5

为了便于讲述，我们将波动中的奇数浪定义为大浪，将偶数浪定义为调整浪。需要明确的是，大浪由五个更小级别的波浪组成，而调整浪则包含三个更小级别的波浪。有关波浪的其他规律和要点将在下文继续讨论。

波浪运动既适用于股票价格指数，如道琼斯、标准统计指数、纽约时报指数，也适用于股票板块，例如钢铁板块、铜业板块和纺织板块，还适用于个股。研究个股时，可以发现，有些股票在上涨，有些在下跌或者处在调整阶段。但在任何时间，大多数股票的价格走势都会遵循相同的形态，导致股票价格指数或者整体市场呈现出波浪运动的现象。市场指数中的股票数量越多，波浪形态越完美。

每个波浪的长度或者持续时间不同。整个波动由五浪组成，常受到一个或多个控制因素的影响，但三个上升浪（浪1、浪3和浪5）以及两个调整

浪（浪2、浪4）可以对自身进行调整以适应当前走势。波浪运动背后的基本面因素，在其对整个波浪形态的影响发挥殆尽之前，通常不容易被人们识别出来。但是在波动过程中，时事新闻对于每一浪都有效力，它们会不断修正五浪中每一浪的波动幅度和持续时间。

一般来讲，浪3比浪1到达一个更高的位置，浪5比3浪更高。同理，浪4所达到的低位不能低于浪2。浪2的低点很少会低于浪1的起点，浪4也不会触及浪3的起点。换句话说，一个完整的五浪波动，在走势上通常是斜线形态，如图6所示。

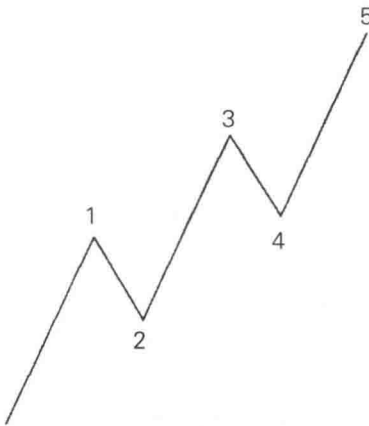


图6

为了准确观测市场波动以及分离出波动中的各段波浪，有必要将市场波动的走势放置于两条平行线相夹的通道。多数文具商店有股票平行标尺出售，使用此标尺可以极大方便对通道进行分析。

在浪1和浪2完成之前，我们无法开始对通道进行定位。如图7所示，浪1和浪2已经结束，留下三个明显的节点，或者是明显凸出的拐点。第一个凸出的拐点是浪1的起点，第二个凸出的拐点是浪1的终点和浪2的起点，第三个凸出的拐点是浪2的终点。为了便于说明，我将这些拐点记为M、N和O点。

准备进行通道分析时，首先连接节点M和O，画出基准线。然后，穿过节点N，画一条与基准线平行的直线，将其定义为“上通道线”。上通道线应延伸到N点右侧一段距离。完成此操作后，通道形态将如图8和图9所示。



图7



图8

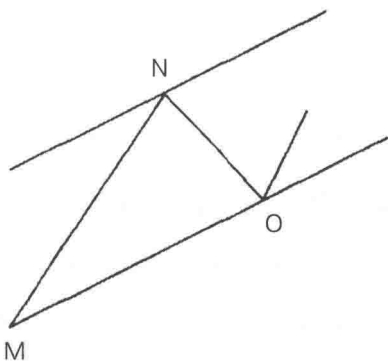


图9

浪3一般会止步于上通道线附近。如果浪3超过了上通道线，上涨动能暂时强劲，而如果浪3停止于上通道线下方，则上涨动能暂时不足。无论出现何种情况，当浪3走完后，就可放弃旧通道，绘制新通道。连接N点和P点或

者说浪1和浪3的终点，画出一条新的上通道线，从而确定一个新的通道。另一条直线，同样定义为基准线，将平行于新的上通道线，穿过拐点O并向右延伸。浪4将终止于此线附近。图10同时显示了旧通道（或废弃通道）和新通道。当然，如果浪3恰好止于穿过N点的上通道线，则旧通道和新通道合而为一。

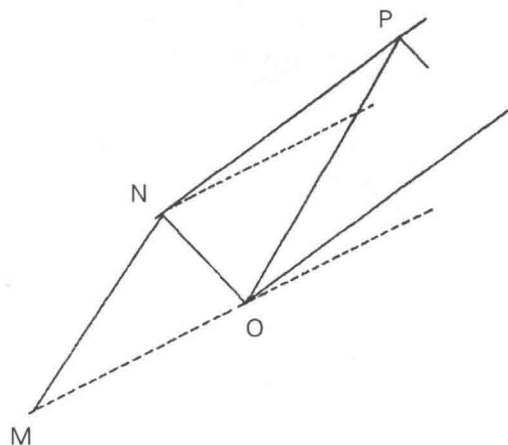


图10

当浪4走完了，不管它是正好踩着新基准线，还是在新基准线上下，都可以绘制出最终通道。由于该通道能够确定浪5（最后一浪）的端点，因此尤为重要。鉴于这是此轮市场运动的终点，无论是投资者还是投机者都必须在这时关注其操作是否是赢利的。连接浪2终点O和浪4终点Q，画条穿过O点和Q点的直线，进而确定最后的通道。穿过浪3终点P，画一条与基准线平行的上通道线。如图11所示，为了清晰展示，上图中废弃的第一个和第二个通道已经去掉。浪5一般会终止于上通道线附近。鉴于此问题的重要性，后面章节将会进行详细讨论。

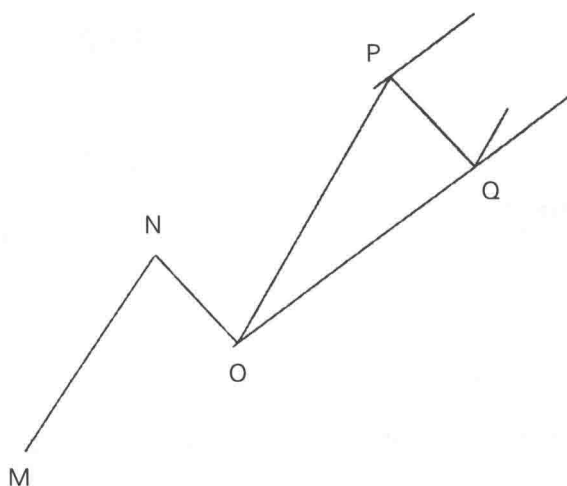


图11

当浪5结束后，市场将会出现下跌或者回调走势，波动幅度比前文讨论的通道中出现的那些调整浪的幅度更大。该波浪成为下一个更高级别波浪运动的浪2，而先前第一轮的五浪，成为下一更高级别波浪中的浪1。按照上述同样的思路，在浪2结束时，可以开始更高级别波浪的通道分析。

第 4 章 波浪命名

为了对股票市场的波浪运动进行分类（对其他人类活动领域进行分析时同样需要进行分类），有必要对不同水平的波浪进行命名，从而任何一个浪级的波浪，才能与更高或更低浪级的波浪加以区分。本章命名的各浪级的波浪名称，将会贯穿于本书的讨论中。所有研究市场趋势的人，在进行股市研究时，也会需要用到这些名称。下列波浪等级顺序从低到高，一个浪级的五浪，组成下一个更高级别波浪的第一浪。举例来讲，五个次微浪（Sub-Minnette）形成微浪（Minnette）波动的第一浪，五个微浪（Minnette）相当于一个细浪（Minute）的第一浪，以此类推。顺序如下：

次微浪（Sub-Minnette）

微浪（Minnette）

细浪（Minute）

小浪（Minor）

中浪（Intermediate）

大浪（Primary）

循环浪（Cycle）

超级循环浪（Super Cycle）

特别超级循环浪（Grand Super Cycle）

为了避免造成混淆，便于对任何等级的波动进行区分，我们使用下列符

号标识对应上述9个波浪等级。

波浪等级	符号标识	描述
次微浪 (Sub-Minnette)	a—e	小写英文字母
微浪 (Minnette)	A—E	大写英文字母
细浪 (Minute)	1—5	阿拉伯数字
小浪 (Minor)	I—V	罗马数字
中浪 (Intermediate)	①—⑤	罗马数字单圈
大浪 (Primary)	Ⓚ—Ⓟ	罗马数字双圈
循环浪 (Cycle)	c I—c V	小写c+罗马数字
超级循环浪 (Super Cycle)	sc I—sc V	小写sc+罗马数字
特别超级循环浪 (Grand Super Cycle)	gsc I—gsc V	小写gsc+罗马数字

到目前阶段，读者尚且不必对上述术语和符号标识过于关注，但随着对股价波动研究的深入，读者将会发现上述术语和符号标识对于分析极为有用。

1857年美国股市迎来一个特别超级循环浪。此波浪运动的浪1从1857年到1928年。浪2（浪1的调整浪）从1928年11月到1932年，浪3始于1932年，并将持续很多年。

1857年到1928年的特别超级循环浪，可被称为第一浪，但也可能是第三浪或者第五浪了。1854年到1857年发生了严重的经济萧条，持续时间与1929年到1932年的情况类似。

特别超级循环浪的浪1为1857年到1928年之间的上升浪。此波浪可以进一步分解成一个完整的超级循环浪。该超级循环浪可以进行如下分解（参见图12）。

1857—1864年：超级循环浪的浪1

1864—1877年：超级循环浪的调整浪（浪2）

1877—1881年：超级循环浪的浪3

1881—1896年：超级循环浪的调整浪（浪4）

1896—1928年：超级循环浪的浪5

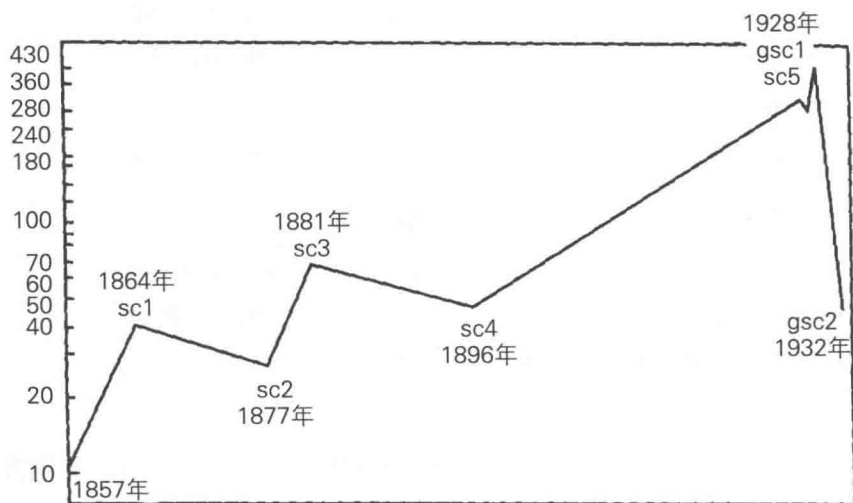


图12 工业股票价格，埃克斯—霍顿指数

唯一可让我们追溯当前特别超级循环波浪开始的股价记录，是埃克斯—霍顿指数，记录了1854年至今的波动情况。

让我们继续进行分析，以超级循环浪的浪5为例，将此浪进一步分解为更低级别的波浪。此波浪持续时间从1896年到1928年，按照本章的命名，此波浪称为循环，由五个浪组成。这五个浪如下所示（参见图13）。

1896—1899年：循环浪的浪1

1899—1907年：循环浪的调整浪（浪2）

1907—1909年：循环浪的浪3

1909—1921年：循环浪的调整浪（浪4）

1921—1928年：循环浪的浪5

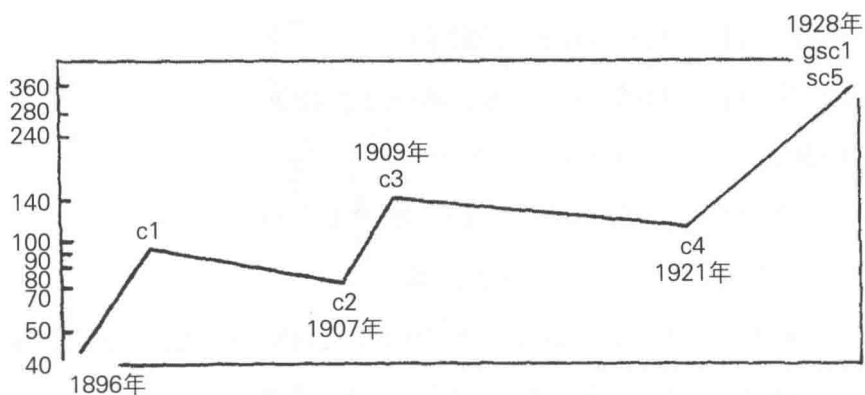


图13 工业股票价格 (E.W.Axe & Co.公司)

如果将循环浪的浪5 (1921年至1928年的波浪) 进一步分解成更低级别的波浪, 可以发现它是由五个大浪所组成, 如下所示 (参见图14)。

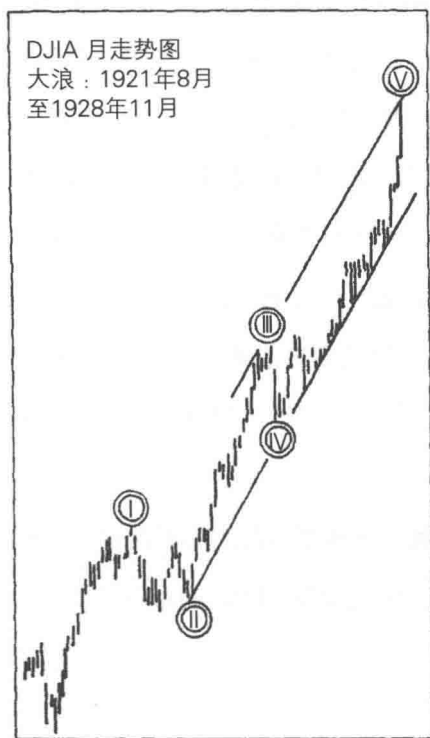


图14

1921年6月—1923年3月：大浪的浪1

1923年3月—1924年5月：大浪的调整浪（浪2）

1924年5月—1925年11月：大浪的浪3

1925年11月—1926年3月：大浪的调整浪（浪4）

1926年3月—1928年11月：大浪的浪5

用同样的分析方法，1921年6月到1928年11月每一个大浪，都可以细分为中浪，每个中浪可以分解为小浪；以此类推，浪级不断降低，直到对最小的波浪进行分析和分类。

1928年11月28日，由30只工业类股票编制而成的道琼斯工业股平均价格指数达到295.62点，这一点位恰是第一个特别超级循环浪的第五个超级循环浪的第五个循环浪的第五个大浪的第五个中浪的第五个小浪的第五个细浪的第五个微浪的终点。换句话说，如果投资者按照每10年、每年、每月、每周、每日、每时波动情况分析股票市场走势，对于过去10年任何一个时间段的走势他都不会感到困惑。投资者不仅能够确定大牛市结束的年和月，甚至还可以确定牛市结束的日期和时点（甚至是分钟）。从超级循环浪开始，波浪级别逐渐分解到更低级别的波动，直到最低级别。市场在达到最终的峰值之前，必须完成每个更低级波浪的第五浪。指数走完1928年11月的延长的小浪5，在1928年12月出现了第一次向下调整，这是市场发出的即将反转的重要信号。

值得注意的一点是，超级循环浪的第五浪走完，止于1928年11月（传统意义上的市场顶部），而不是1929年9月的市场最高点。请注意下列重要拐点（参见图15）。



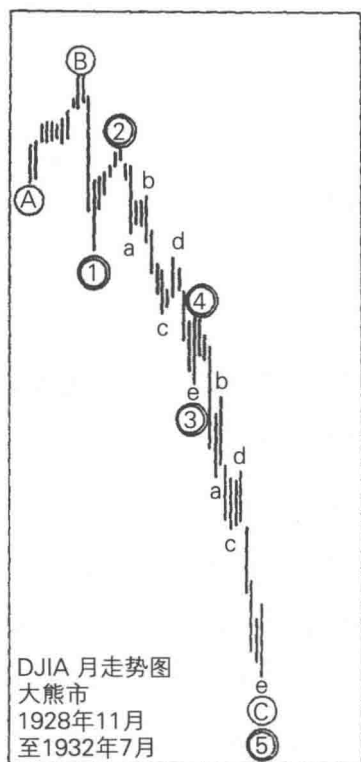


图15

1928年11月到12月之间形成的波浪A（下跌走势）

1928年12月到1929年9月之间，指数走出了不规则调整的波浪B（由三个小浪组成）。

1929年9月至1932年7月之间的波浪C。C浪进一步细分为五个下跌波浪，市场不规则顶部的出现，发出了走势将快速直线下跌的信号。

同样的不规则调整形态出现于1937年8月的顶部。此部分内容将在“调整浪”章节中进行详细说明。

第5章 波浪的特征

在本书前几章中，尽可能简单地阐述了五浪现象。本章的重点将更为具体详细，以便波浪运动的研究者可以完全掌握波浪理论，从而更好地研究价格以及其他人类活动的规律。

股票投资者和投机者都尤其关注第五浪的终点，因为在此之后，市场会朝着相反方向展开类似级别的调整运用。具有重要意义的股票市场波动，比如持续数月的中浪、持续数年的大浪，将在终点处发生剧烈的走势调整。在这些终点处，需要对持有的股票仓位进行减仓调整。同样重要的是，需要识别出调整的终点，这些标志着趋势上涨的开始，此时是建立股票多头头寸的时机。本章将对第五浪以及调整浪进行详细论述。与波浪终点有关的其他因素也将在本章中予以讨论。

第五浪

在确定股票价格波动的终点时，需要牢记于心的一点是，在一轮波动结束之前，市场需要走完它次级的五个波浪，并且次级波浪的第五浪也需要走完更次级波浪的五个波浪，以此类推。举例来说，中浪将终止于中浪波动的第五个小浪的第五个细浪的第五个微浪的第五个次微浪。在图16中，为了对波浪理论进行展示，第五个小浪细分为五个微浪，并且第五个微浪分解为五个次微浪。

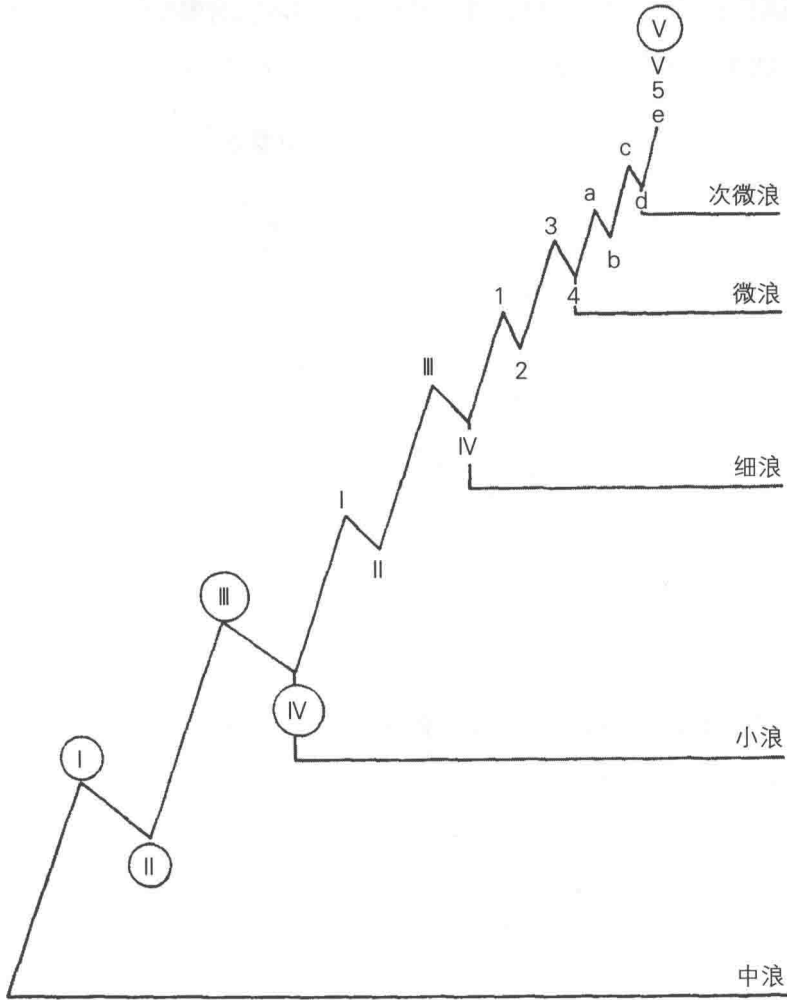


图16

每个波动的第五浪，尤其是中浪以及更高级别的波浪，一般会向上穿过市场的上通道线。这个上通道线在本书前面详细讨论过，连线第二浪、第三浪、第四浪的终点，绘制出两条平行直线，构成一个通道，如图17所示。

在上通道线的击穿点位置，成交量通常会攀升，尤其是赶上大浪的第五个中浪的时候，成交量会非常巨大。如果任何级别的第五浪未能击穿或者越

过上通道线，并且发生下跌，这就是市场即将走软的重要警告。市场走软的程度，取决于波浪的级别。

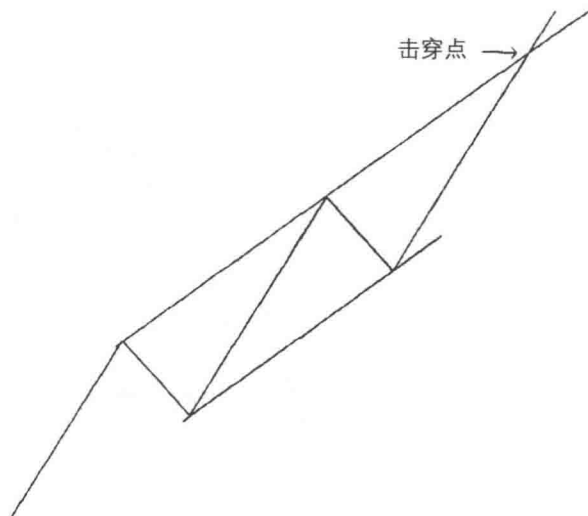


图17

有时在击穿点附近，第五浪不会立即走完。而且，第五浪开始之前，第四浪变得平缓（参见图18）。

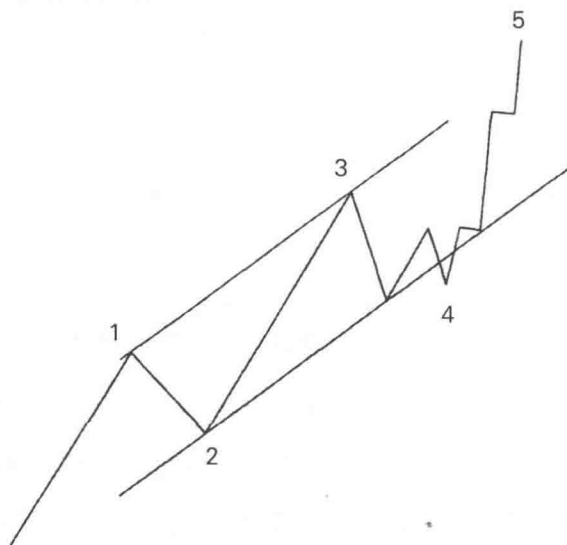


图18

在对击穿点进行定位时，强烈建议在大盘或个股的周K线走势图使用对数刻度，在日K线图或小时K线图使用算术刻度。在大浪以及更高级别的波浪运动的市场顶部，算术刻度图上更容易出现击穿。然而在此类波动的底部，使用对数刻度图更容易出现击穿。在上述两种情况下，算术刻度都具有一定的欺骗性，通常有30点或30点以上的出入。为了更清晰阐述上述观点，我们对1929—1932年道琼斯工业股平均价格指数的月度走势图分别按照两种刻度进行绘制，如图19所示。



图19

第五浪有时候会出现展开或者拉长的走势，此类型称之为“延长浪”。在此情况下，第五浪不是作为最后一浪结束本轮波动，而是后面跟着四个

更小级别的波浪。也就是说，第五浪将被分解成了五个波浪。第五浪延长往往是超强市场的重要特征（相反，向下延长的第五浪是超弱市场的重要特征）。1921—1928年的上升走势即向上伸展，七十二年的上涨行情此时达到了顶点。

调整浪

虽然波浪理论非常简单，在预测上也非常有用，但是该理论仍有一些精细微妙之处令研究者困惑，尤其是当波浪运动正在形成的过程中时。解释什么是精细微妙之处，最好的办法就是将它们绘制成图形。这些图形的例子，在理论上是非常完美的标本，但研究者会发现，现实世界中波浪的实际形态远非如此简单。

调整浪通常由三个波浪组成，一般可分为四种类型。但是在调整浪的形成过程中，有时很难预测其确切的形态和调整程度。一旦调整浪走完，其形态将指示后期波动的强度。图20至图23展示的类型是浪级非常小的调整浪。不同级别的波浪其形态轮廓都是一样的。图24至图26，图形与上述调整浪的形态相同，但浪级更大。

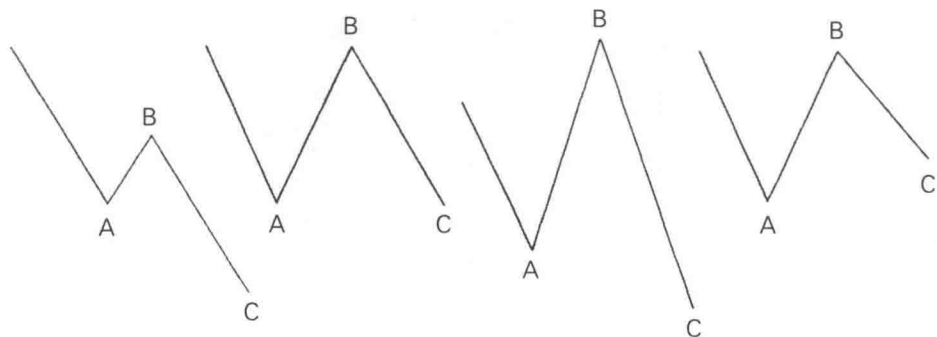


图20
锯齿形态

图21
平台形态

图22
不规则形态类型1

图23
不规则形态类型2

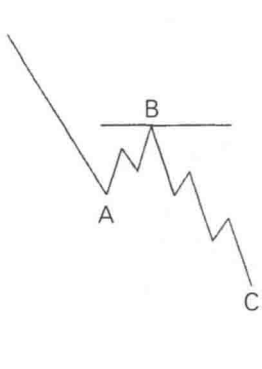


图24
锯齿形态

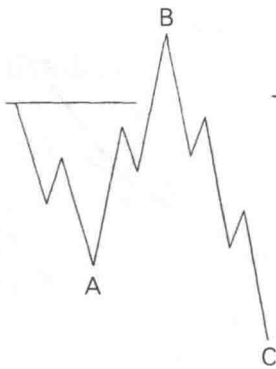


图25
不规则形态

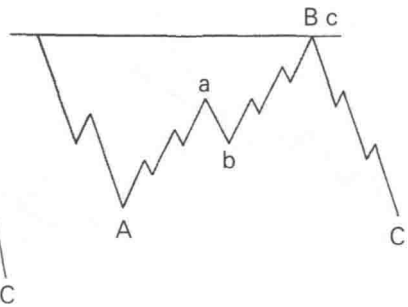


图26
平台形态

图27至图29展示了更高级别的调整浪，与上述调整浪形态相同，出现在中浪和大浪中。

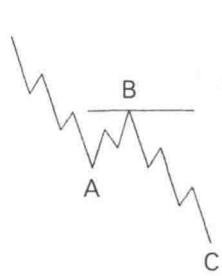


图27
锯齿形态

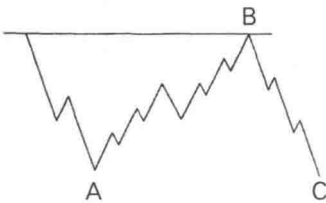


图28
平台形态

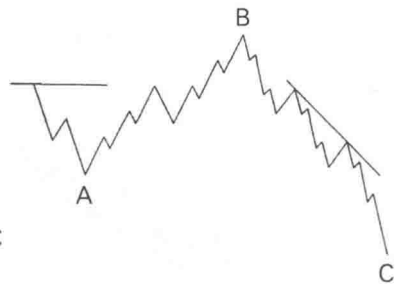


图29
不规则形态

延长浪

延长浪可能出现在浪1、浪3、浪5中的任何一个中，但是很少会在两个及两个以上波浪中同时出现。通常情况下，延长浪会出现在浪5中。如图30所示。

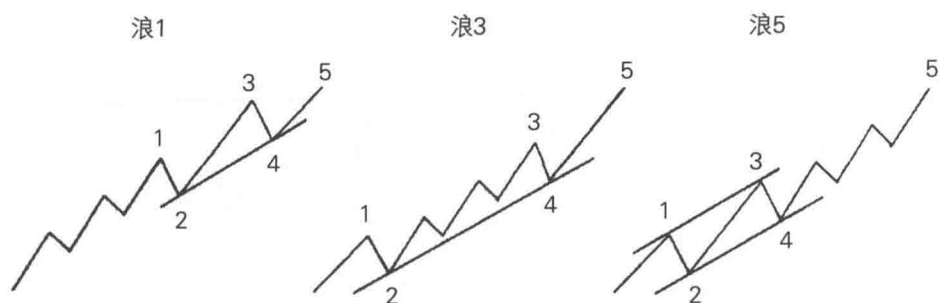


图30

延长浪中的延长浪

延长浪的规则，同样适用于延长浪中的延长浪。图31为延长浪中的延长浪的标准形态，以及三种类型的延长浪中的延长浪。

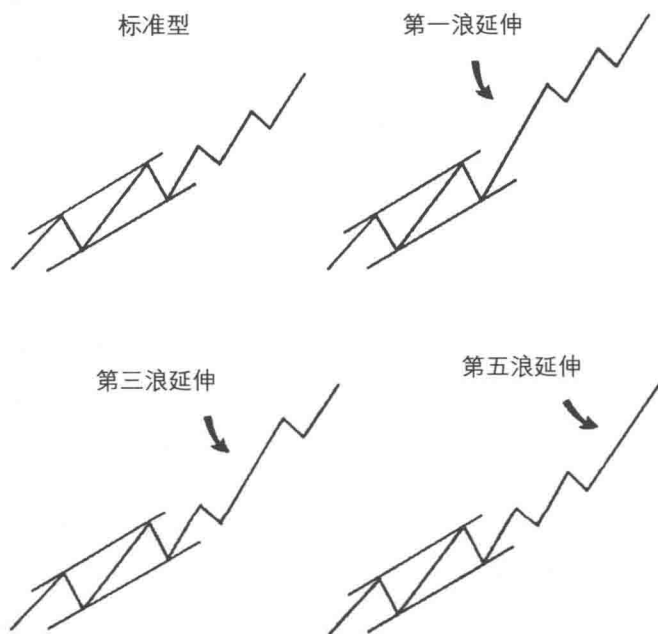


图31

延长浪之后的市场走势

对延长浪的全面理解至关重要。目前我们还没有找到延长浪对市场预测的案例，由于某种原因，它可能并不存在。然而通过了解延长浪之后的市场行为规律，我们可以避免损失，并且获利。这些规律主要有：

(1) 延长浪出现于当前波浪级别中新的领域。

(2) 延长浪过后，市场回撤两次。

(3) 第一次回撤会很快以三浪的方式走出，并运行到延长浪起点附近停步（延长浪的浪2）。

(4) 第二次回撤与延长浪前进方向相同，并且超过延长浪。

(5) 当延长浪发生时，比如第五个大浪结束（市场即将出现重大反转时），第一次和第二次回撤构成了不规则调整浪的A浪和B浪，这符合双重回撤的规律。C浪将由五个下跌浪组成，下跌速度快，并且可能会下跌到先前牛市的第五个大浪的起点附近。此现象的唯一实例是1928年11月开始下跌，随后反弹到1929年9月，然后再次跌至1932年（参见图15）。

(6) 根据同样的规律，有时候延长浪出现在熊市中，例如1937年10月。

(7) 延长浪绝不会是一次波动的终点。这并不意味着只有延长浪，市场才能走出高低点位。

(8) 回撤，是指两个点之间的路线，被市场再一次走过。例如，一段趋势展开回调，继而又恢复反弹，就是一个双重回调。

如果交易者持有多头头寸，当出现下跌延长浪时，他就不应该将多头头寸卖出，这是因为市场会立即以三浪的形式展开回撤，然后继续试探市场低点。

历史上出现过的重要延长浪情况如下：

工业股指数上涨	工业股指数下跌	铁路股指数上涨
1925年7—11月	1929年11月	1936年2月
1928年10—11月	1937年10月	
1933年7月		
1936年3月		

第一次回撤会立即以三浪的方式走出，但第二次回撤可能不会持续较长时间，最终会在当前的波浪循环中结束。图32展示了延长浪和双重回撤。

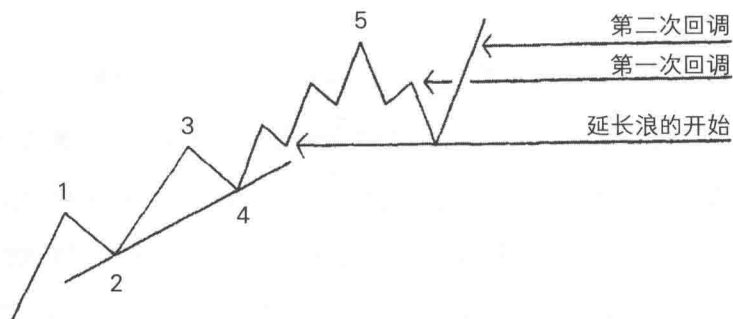


图32

不规则调整浪

前面已经对调整浪进行过描述，但并没有将其与调整浪之前的波浪结合起来讨论。图33和图34展示了相结合的例子。字母A、B、C表示不规则调整波动的浪1、浪2和浪3。需要注意的是，第二浪B浪超过了前一轮波动的顶点（5）。

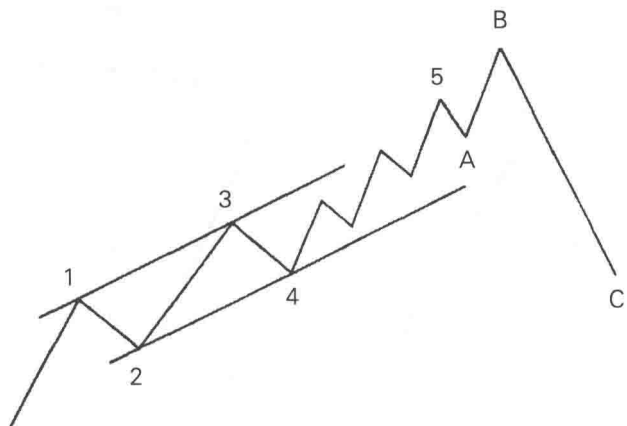


图33 延长浪之上的不规则顶部

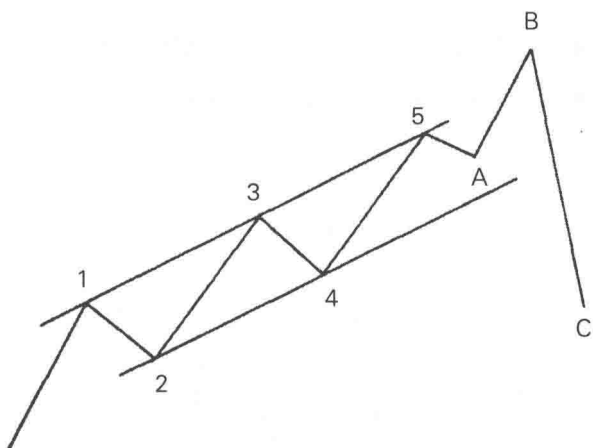


图34 普通上升趋势中的不规则顶部

强调整浪

调整浪对于后市波动的强度有很好的预警作用。图35为规则的锯齿形态，表明了后续波动的普通强度。图36为平台形态，表明了后续强势波动。（参见第四个大浪，从1933年7月到1934年7月）。

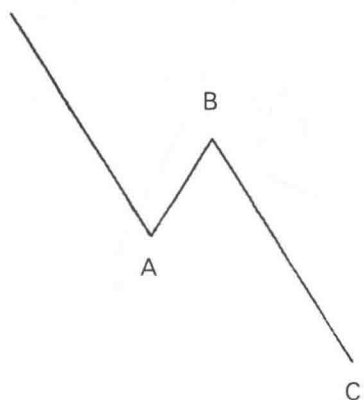


图35 普通

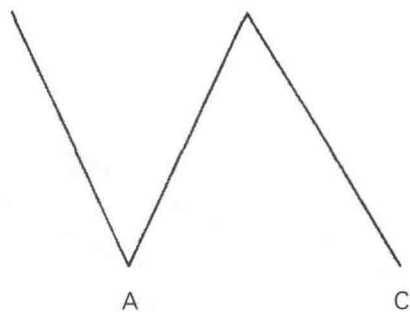


图36 强势

图37中，位于“2”处的调整浪终点高于调整浪a浪的终点，这表明后续波动的异常强势。（图37中的第二个调整浪后续波动的强度更弱。）

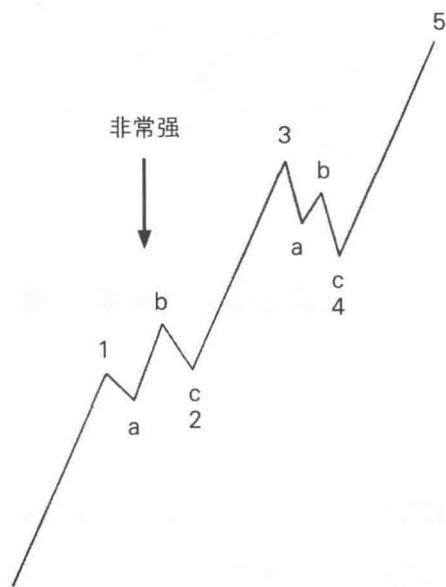


图37

熊市中的调整，即下跌趋势中的调整浪，具有和上升趋势相同的特征，只是方向相反（参见图38至40）。

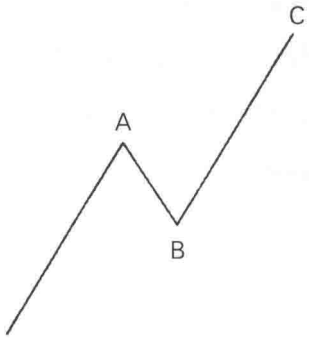


图38 普通

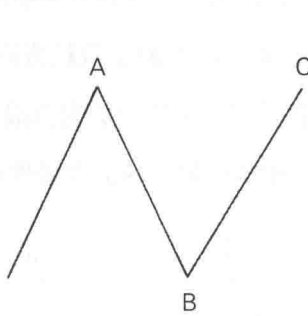


图39 弱势

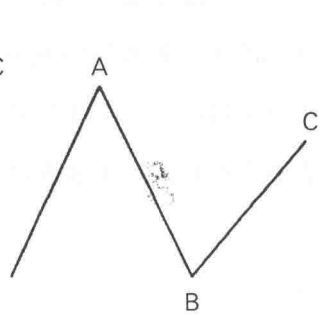


图40 极弱

熊市中也存在不规则调整浪，但非常罕见。需要注意的是，如图41所示，在五浪下跌之后，出现了一个不规则调整浪。

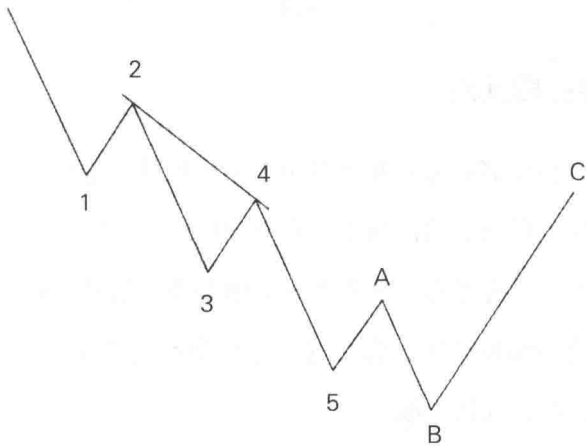


图41

失败浪

在图42所展示的形态中，第五浪并没有如期而至，此时应该在“B”点

将股票卖出。需要注意的是，从顶部“3”开始，有五浪下跌，然而调整浪应由三浪所组成。原因何在？答案是：“B”点是市场真正顶部，从B点开始出现了三浪下跌。就是说下跌趋势从上涨趋势中窃取了两个波浪。换句话说，规则的上涨趋势应由五浪组成，规则的下跌趋势应由三浪组成，总计八浪。在这个情况中，上涨趋势有三浪、下跌趋势有五浪，同样一共是八浪。此形态非常罕见，是非常重要的市场信号，应立即采取行动。

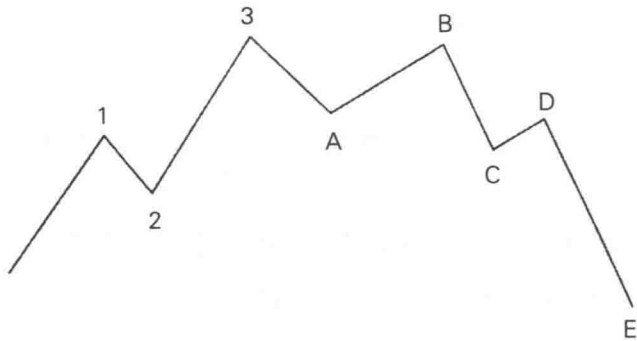


图42

研究者存在疑问时

在图43中，投资者可能不知道接下来会出现什么走势，是延长浪还是不规则调整？成交量可能会给出答案。本书在后续会提到，成交量会在不同调整浪（锯齿形态、平台形态、三角形态）中萎缩。如果在问号之前刚刚走过的波浪中，成交量极度萎缩，那么这就是一个不规则调整浪的B浪。如果成交量相对较大，将出现延长浪。

三角形浪

波浪运动有时候会向某一点集中或者从一个点扩散，形成三角形态。这些三角形态的形成至关重要，因为它们指明了市场在三角形终点或者靠近顶

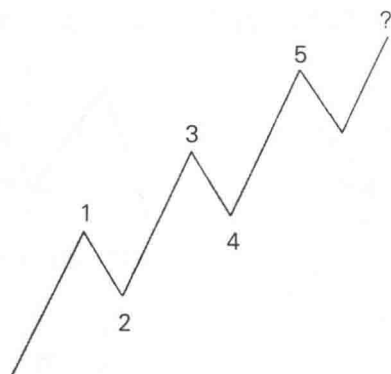


图43

点时的下一步方向。

三角形浪有两种类型——水平形态和倾斜形态。水平形态代表着市场在目前价位上的犹豫不前。水平三角形态结束后，市场将重启三角形态之前市场运动的趋势——上涨或者下跌。水平三角形态只不过是市场的犹豫不前，与平台形调整浪具有同样的意义。如果锯齿形态出现于浪2，平台形调整浪或者三角形调整浪将出现在浪4（参见图44）。如果平台形调整浪或者三角形调整浪出现在浪2，锯齿形调整浪将出现在浪4（参见图45）。

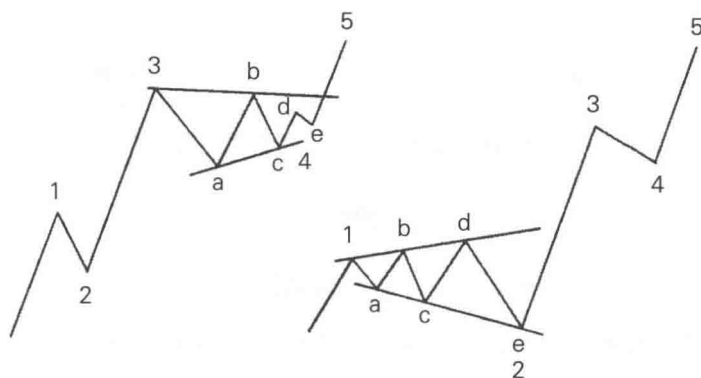


图44

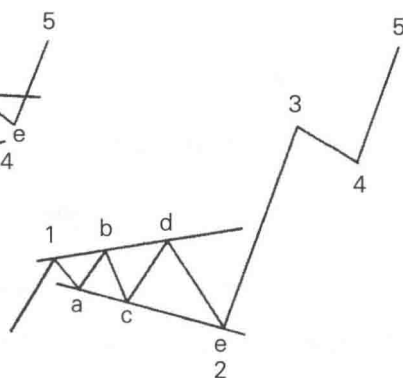


图45

水平三角形形态如图46所示，包括四种类型。

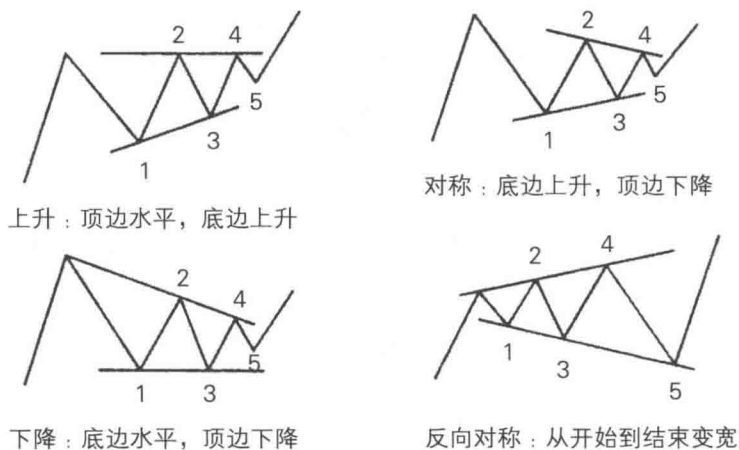


图46

倾斜三角形形态如图47所示，包括两种类型。

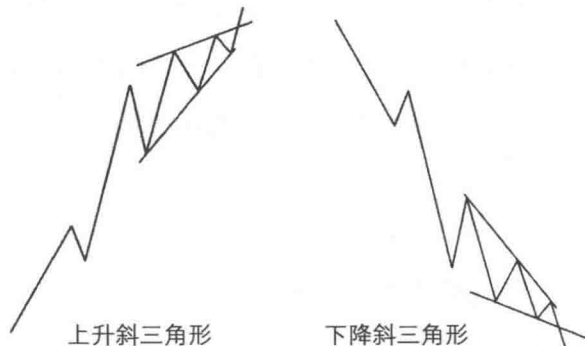


图47

三角形波浪，无论是水平形态还是倾斜形态，如上图所示，包含五个波浪。如果波浪数量不足五浪，三角形形态将成为波浪现象的特例，不在讨论范围之内，应予以忽略。

关于水平三角形浪，非常重要的一点是要弄清楚它的起点在哪儿。这是

因为三角形形态的浪2必须明确，而为了确定浪2，就需要识别浪1。浪2至关重要，因为当三角形形态结束时，市场将按照浪2的方向运动。在图48中，水平三角形形态中的浪2，其波动方向是下跌的。这就预示着使M到N的下涨停滞的那个三角形浪的第五浪结束时，市场将继续下跌走势。

在图49中，三角形波浪的五浪走势是上升的。市场底部出现在M点，向上运动到N点后，因三角形浪走势犹豫不前，之后市场恢复上涨走势。

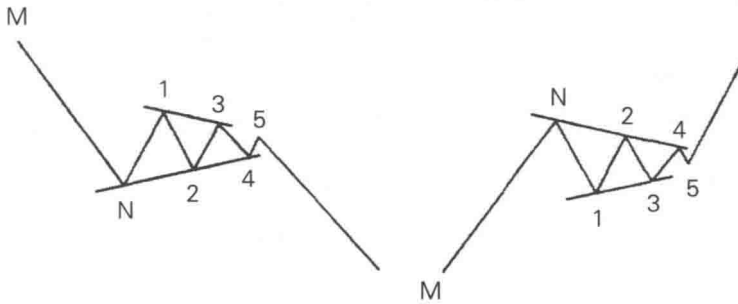


图48

图49

在图50中，上升斜三角形形态的浪2是下跌的。市场在这个倾斜三角形的终点会发生趋势反转（就是当三角形浪的第五浪终止时），并且会一直返回到三角形底部附近，如图所示。

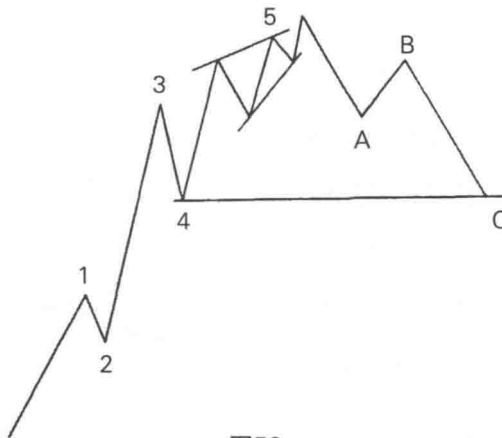


图50

除了反向对称三角形波浪外，所有三角形波浪的第五浪通常不会触及三角形边线。但如上图所示，有时候，第五浪会击穿三角形边线。

如果一个大浪波动的最后一浪（第五个中浪）呈现出三角形态，请做好准备迎接市场快速反转。

三角形态中的所有波浪必须是同一方向上波动的一部分。否则就不会出现三角形态，这种情况仅仅是一个巧合。

倾斜三角形态仅出现在第五浪，也就是说，在它之前，市场须经历四个级别相同的波浪。

当周K线或日K线的波浪充满三角形的整个框架时，阶段走势即将达到终点。需要在第五浪进行确认。击穿边线并不是必然的。

通常情况下，三角形调整形态的规模都很小，导致有些波浪并不容易被人识别。1937年10月至1938年2月，第一次出现了显著大幅度的三角形态，所有五浪由三个小浪组成。并且五浪中的每一个波浪都形态不同。

道琼斯工业股平均价格指数在此阶段并没有呈现出三角形态，但标准统计指数却呈现出三角形态。图51是由348只股票组成的标准统计指数的周走势图，完美展示了有史以来最大的三角形态。因该图为周走势图，并没有详细展示出这五浪之中每一浪的组成，但在第九章的日走势图（图66）中，详细展示出了这一点。

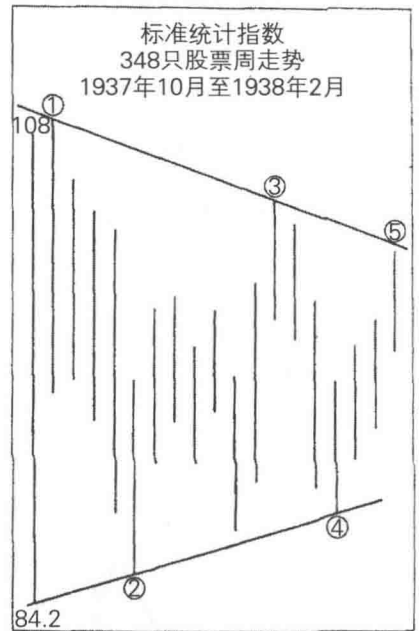


图51

第 6 章 速度、成交量和绘图

市场沿一个方向的快速运行，常常会导致后市反方向的快速运行。比如，1932年仲夏，道琼斯工业股平均价格指数上涨了40点，9周内上涨了100%，相当于每周4.5点。请注意1932年到1937年期间下跌方向的速度，如图52所示。

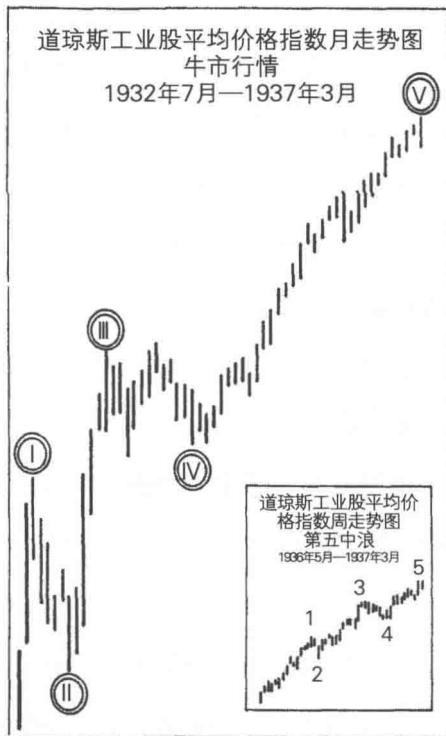


图52

在快速波动市场行情中，如1932年至1933年的上涨，有必要注意市场日K线以及周K线走势。否则重要的市场特征，如三角形浪或者延长浪就容易被忽略。

在第七章，我们将介绍什么是“直线运动”。在平均价格指数市场中，波动速度慢、单一使用日K线可能会掩盖重要的市场形态。以1904年1月最后一周至6月第一周为例，道琼斯工业股平均价格指数5个月内日收盘价的最大波动范围仅为4.09点（50.50点-46.41点）。在日K线走势图上，呈现出来的是一条毫无意义的直线，但如果转换成周K线走势图，则呈现出完美的三角形态，浪2趋势上涨，投资者便可以做出判断，在三角形浪结束后，市场将向上。

成交量

水平三角形态、平台形态或者其他类型的调整波浪，从开始到结束，成交量逐渐出现萎缩。成交量通常有助于我们看清波动的特征。但是，当市场异常地交易清淡时，成交量信号则有时容易产生迷惑性。

结合五浪运动来分析，成交量的特征十分明显。例如在重要的上涨或者下跌行情中，成交量将在浪1放大，浪2萎缩，浪3放大，浪4萎缩，浪5放大，紧随浪5之后，成交量应当能够保持浪5的水平，价格即使有上扬，幅度也很小，这预示着市场将要发生反转。

这里需要解释一下成交量和换手率两个概念。“成交量”是股票的实际交易数量，而“换手率”是股票成交量与上市公司在纽约证券交易所上市股票总数的比率。

纽约证券交易所在1938年7月公布的简报中，以图表形式对成交量和换手率做了有趣的比较。如图53，交易量在1914年开始了一个上升的周期，在走完了五个大浪之后，止于1929年。然后开始了下跌周期，结束于1938年6月18日。

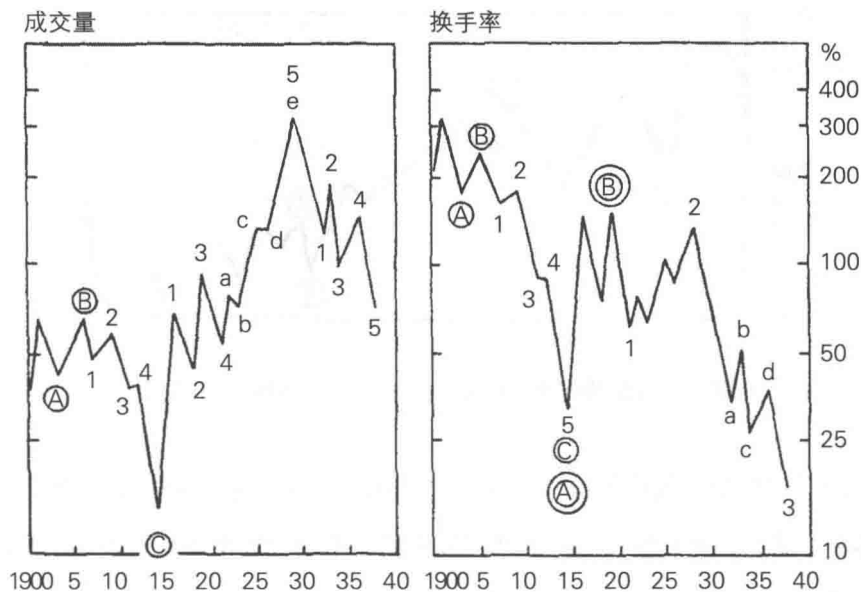


图53 股票市场活动 (纽约证券交易所)

而纽约证券交易所的席位价格变化，也呈现出了同样的走势（见图54和图55）。

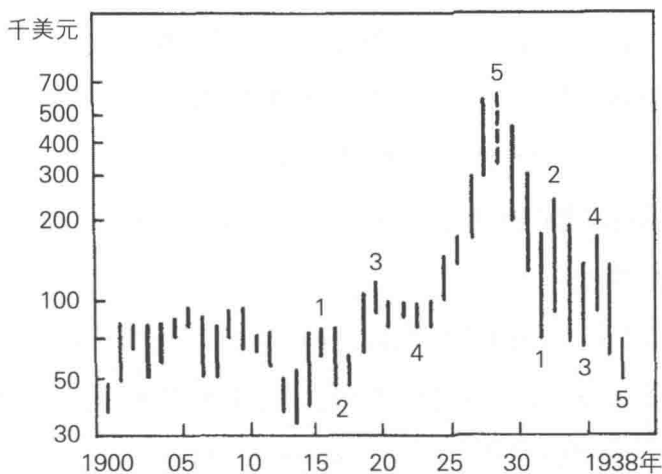


图54 纽约证券交易所的席位价格

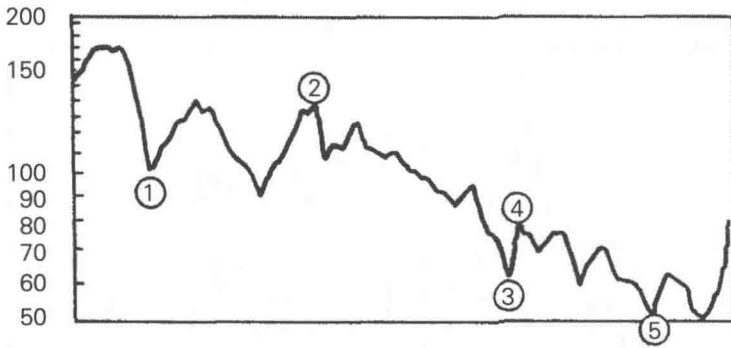


图55 图54中第五浪细节（1936年1月至1938年6月15日）

由于成交量会随市场波动瞬间发生变化，所以追踪换手率波浪的细节并不容易。然而，由于股票交易所席位价格波动不会受到市场瞬时波动的影响，这就成为研究换手率波动规律的有效参考。具体参见第十章，“波浪理论在其他领域的应用”。

根据纽约证券交易所简报第11页的内容，1928年5月的换手率是12.48%，1938年5月换手率是0.98%。我计算得出的1938年6月前18天的换手率为0.65%。1938年6月18日星期六的实际成交量为104000股，相当于5小时内成交了200000股。6月18日之前的数周时间内，成交量非常小，以至于平均价格指数中的重要股票交易经常出现长时间暂停，最终导致的结果是，一些次微浪不能出现在小时波浪图中，而一些不该出现的却出现了。同样，交易量的小时波浪图有时也带有欺骗性。值得庆幸的是，如此低的成交量在随后20年内应该不会再出现了。

在1937年11月发布的月度简报首页上，纽约证券交易所展示了1937年8月14日至10月以及其他7个同样期限内，成交量相对于价格波动的情况。我通过百分比的形式进行分析，发现1937年8月14日至10月这一阶段的市场是最引人注目的。

下面是一些有趣的对比分析：

最近的熊市

顶点（1937年3月10日）：	195.59
底部（1938年3月31日）：	97.46
下跌：	98.13点或50.1%
时间跨度：	一年零三个星期

纽约证券交易所股票交易的资金量

1937年3月：	\$2,612,000,000
1938年5月：	\$499,000,000
1938年6月（估计值）：	\$187,000,000
下降：	92.9%
时间跨度：	一年零4个月

64天的价格—成交量比（1937年8月14日至10月19日的持续下跌行情，
与其他时间段的情况对比如下：）

1937年8月14日—10月19日：	22.2%
1937年3月—5月：	10.9%
1929年末：	11.1%
1934年2月—4月：	6.5%
其他时间：	2.1% ~ 1.0%

纽约证券交易所席位价格

顶点，1929年：	\$625,000
-----------	-----------

底部, 1938年6月15日 : \$51,000

下跌 : 92%

时间跨度 : 9年

从1937年3月到1938年6月, 成交量下降了87.5%。

在图56中, 我们从公共关系部门获得的有关交易资金量的数据。

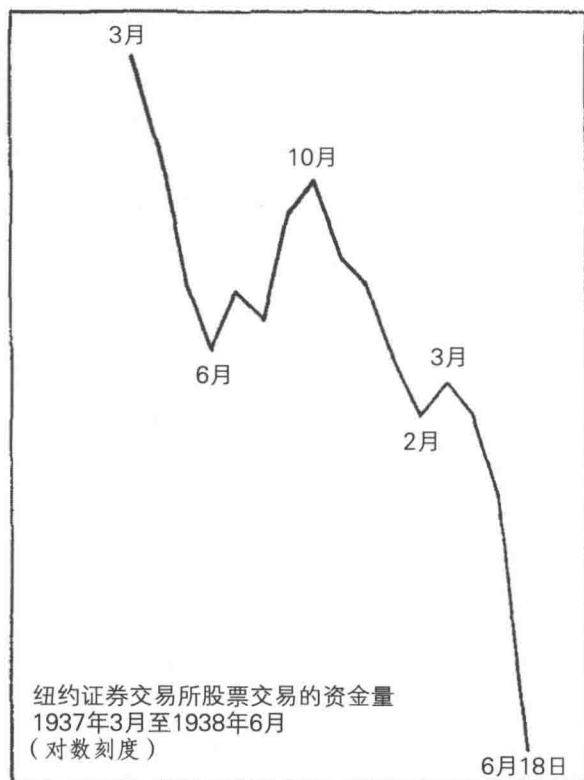


图56

第7章 有关波浪图的其他说明

(1) 对于较大级别的波浪，不同股票指数和股票见顶的时间通常不同。但在构筑底部时，不同股票指数和股票倾向于同时出现底部。例如1932年7月期间，债券、股票、生产总值、保险销售额以及人类活动的其他主要领域，同时见底（参见第十章图69、图79）。1932年7月是特别超级循环浪2的底部，自然得到了特别的关注。

(2) 在波动过程中，如果对波浪的编号感到困惑时，关注波浪的相对幅度有助于区分不同级别的波浪。使用凸出的拐点（即根据它们来绘制通道线）有助于读者清晰了解波浪运动的级别。

(3) 常常连接两个凸出的拐点，根据它们绘制出通道线。

(4) 务必等待第四个拐点出现，并且绘制出最后的通道，从而确定该轮波浪运动的终点（即第五浪结束的大致位置）。

(5) 同一级别的所有波动，通道线应该保持平行，换句话说，同一波动通道的宽度应保持一致，除非浪5没有到达通道顶部。

(6) 波浪级别越高，击穿通道线的概率就越大。

(7) 在绘制通道线时，上涨趋势中，基准线在下；下跌走势中，基准线在上。

(8) 当基准线较为集中时，主要波动动能较大。图14所展示的1927年1月至1928年6月就是一个实例。

(9) 为了更准确、更宏观地展现波浪现象，以下这些绘图方法至关重要：

绘制周K线，采用对数刻度形式，放大两倍到三倍，便于更好观察。

将五个大浪的每个上涨走势以及调整浪绘制在一张纸上。

(10) 以上这些建议适用于三个主要平均价格指数（工业股指数、铁路股指数和公用事业股指数），也适用于股票板块和个股。投资者可能对三个平均价格指数、股票板块以及个股的日K线感兴趣，采用普通的算数刻度即可满足分析要求。

(11) 周K线图分析是有必要的，有以下三个重要原因：

只有采用这种方法，才有可能观察到具有充分历史跨度的市场波动情况，从而判断不同级别的波浪，对于识别较大级别的波浪尤为关键；

日线图如果出现直线运动，通过绘制周线图，就可以将其转化为平台形态或三角形态，分别由三个浪或者五个浪组成（它们有助于确定未来波动方向）；

日波动图上任何可能的误导，通过周线图可以有效排除。

(12) 无论是细浪、小浪、中浪、大浪还是更高级别的波浪，务必将所关注的某一波动绘制在一张波浪图上。否则波浪的数字编号、其相对幅度以及波动的通道将变得混乱。

(13) 大浪以及更低级别的波浪，最好的时间维度为周线、日线和小时线走势图。切勿只采用三个重要时间维度中的一个，在分析波浪数量时，要将三者牢记于心。在快速波动的市场中，小时线和日线最具指导意义；在波动速度慢的市场中，日线和周线最佳。

(14) 自1928年首次出现以来，股票、债券以及成交量换手率在1938年6月18日才开始被人们广泛使用。只有当投资者掌握波浪理论的知识，才能对这些现象进行有效观察和分析。

(15) 某些时候，上攻波浪似乎在第五浪中已经开始下跌。在此情况下，

意味着一个“不规则”顶部已经出现，紧接着C浪由五个浪组成，详细解读参见“调整浪”章节。

(16) 在某些情况下，不可能获得绘制波浪图所需的数据，比如说房地产市场，因为没有中心市场，交易标的并不是标准化的，并且交易价格通常是名义上而非实际的。这种情况的解决方案是“止赎住房抵押贷款额”（编者注：美国人在购买房屋时，多数都是使用按揭的形式。有些购买者由于没有资产可供抵押，所购买的房屋便充当抵押品。房屋所有权归提供贷款的机构。购房者按期还款给放贷的机构，这个过程称为“赎回”。如果出现购买者因故不能按期还贷，超过期限的房屋便被“止赎”，停止赎回）。这类数据是可靠的。当止赎率位于底部时，房地产处于顶部，反之亦然。

(17) 在其他情况下，虽然有了可靠的数据，也很难准确界定小浪。比如成交量，它会随着市场瞬间波动发生小浪级波动。此问题的解决方案是，参照纽约证券交易所席位价格的变动进行分析。

(18) 季节性波动可能给波浪分析带来困难，解决这类困难的办法是，绘制出周、月、季波动值与它十年平均值比率的曲线图，在这个曲线图上进行波浪运动分析，可排除季节性干扰因素。例如，我们拥有车辆货运量的周统计数据，那么当前这一周与它十年均值的比例可通过波浪图的形式绘制出来，这样就能运用波浪理论得出较客观的研究结论。

(19) 当两项并不是一直同步变动的指标突然行动一致时，市场可能会发生不同寻常的事情，如本书第六章中“成交量”这个话题下的论述。

(20) 并非所有的股票表现都很一致。尽管主要的平均价格指数在1937年3月10日达到顶点，一些标准统计板块的股票在1936年11月就出现了头部，在1937年3月走到最高点，随后缓缓下跌至1937年5月。另外，股票筑底的时候往往却会行动一致。

第 8 章 波浪理论的应用

正如上一章内容所介绍的，投资者十分关注第五浪的终点，因为第五浪的终点标志着整个波动即将发生反转。级别较高的波动，尤其是持续数月的中浪和持续数年的大浪，在第五浪终点位置会发生显著的价格调整。当第五浪达到终点时，投资者需要将多头头寸平仓。同样重要的是，要识别出调整浪的终点，在此价格区域再次多头头寸，获利将是最高的。

股票投资者在操作时的首要考虑因素是，确定自己在哪一级别的波浪运动中持有多头头寸。很多投资者喜欢在大浪的波动环境中进行操作，接下来我们也将讨论一下大浪。但要提醒读者的是，波浪理论同样适用于其他更高或更低级别的波浪类型。

让我们假设投资者在1921年6月买进了股票，建立多头头寸。根据投资者对特别超级循环（参见图12）的分析研究，他发现市场于1857年开始了超级循环浪，并且整个超级循环浪的循环浪浪1、浪2、浪3、浪4均已完成，循环浪浪5于1896年开始，目前已经接近尾声，从1896年至1921年四个大浪波动已经走完。大浪5刚刚开始，将进一步由五个中浪组成。中浪5不仅将终结完整的大浪波动，还将结束整个循环和超级循环。换句话说，市场后期的走势，将变得相当戏剧化。

投资者基于对大浪的分析，发现大浪的四个浪已经走完，第五个浪正在形成，该投资者对此轮波动的幅度和持续时间有了一定程度的粗略估计。但



这些都是粗糙的估计。然而通过绘制通道，投资者可以得到更为确定的判断。始于1857年的特别超级循环已经完成了四个较小级别（超级循环浪）的波浪，连接超级循环浪2和浪4的波浪拐点，穿过浪3的终点绘制一条平行线，上通道线得以确定，始于1896年的循环浪的第五浪，将止于上通道线附近，从而走完超级循环浪的第五浪。以此类推，从1896年开始启动的大浪，当它走完四个浪时，可以绘制出最终的上通道线，从而确定目前正在进行的第五个大浪的运行终点。

在这个时候，那位在1921年6月买入股票并决定持仓至大浪走完的投资者，就会发现一些有助于他做出卖出决策的规律。下面这些规律，有些已在前文论述过了，另一些规律在这里是首次介绍。

（1）大浪由五个中浪所组成，除非发现四个中浪已经完成，并且中浪的第五浪正在形成，否则不用考虑卖出头寸。

（2）当第四个中浪已经结束，第五个中浪开始形成，它将进一步由五个级别更小的波浪（小浪）组成，在第五个小浪走出之前，不要考虑卖出头寸。

（3）当第五个中浪的第四个小浪已经结束，第五个小浪正在形成中，直到五个细浪走完，第五个小浪才会结束，所以，在第五个细浪走出之前，不要考虑卖出头寸。

（4）根据每小时平均价格指数进行分析，第五个中浪的第五个小浪的第五个细浪很可能由五个微浪组成。同样第五个微浪由五个次微浪组成。为了达到始于1921年6月大浪的顶部，在市场波动走完第五个中浪的第五个小浪的第五个细浪的第五个微浪的第五个次微浪走完之前，不要考虑卖出股票。

（5）超级循环浪的第五浪、循环浪的第五浪、大浪的第五浪一般都会击穿上通道线。正如前文所述，我们可以绘制出第五个超级循环浪和第五个循环浪的上通道线。由于1921年6月开始的大浪波动将终结一个循环和一个超

级循环波动（参见图13），我们可以预言，这一轮大浪在击穿超级循环浪和循环浪的上通道线前，波动不会结束。同理，这一大浪的第五个中浪也极有可能击穿我们绘制的上通道线。

（6）超级循环浪、循环浪以及大浪的第五浪的终点，通常伴随着巨大的成交量，大于此前相应级别波浪运动中的任何一浪的交易量。正在运行中的大浪的第五个中浪运行到顶部或顶部附近时，成交量将放量。

掌握了上述市场规律，有效解读市场就不再困难。可以绘制周线图和月线图，进而准确跟踪、分析每个中浪。图57至图61都是周线图。如图57所示，中浪波动的浪1结束于1923年3月，由五个小浪组成。中浪波动的浪2，作为偶数浪或者调整浪，由三个浪组成。中浪波动的浪3一直持续到1925年11月，之后便是所熟知的三浪调整波浪。

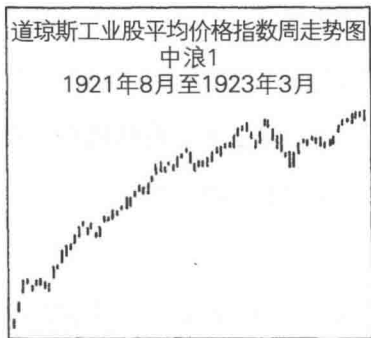


图57

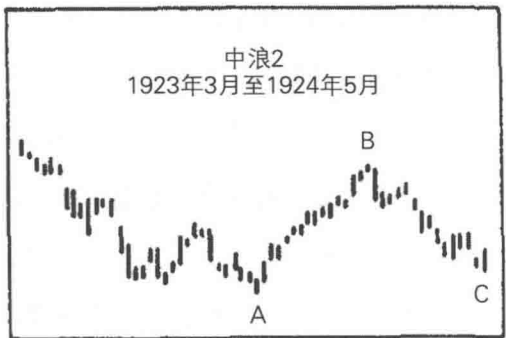


图58

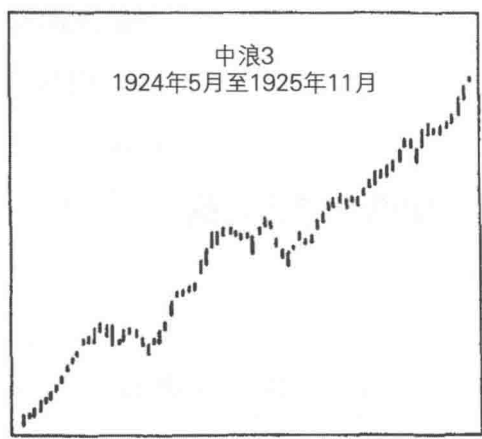


图59

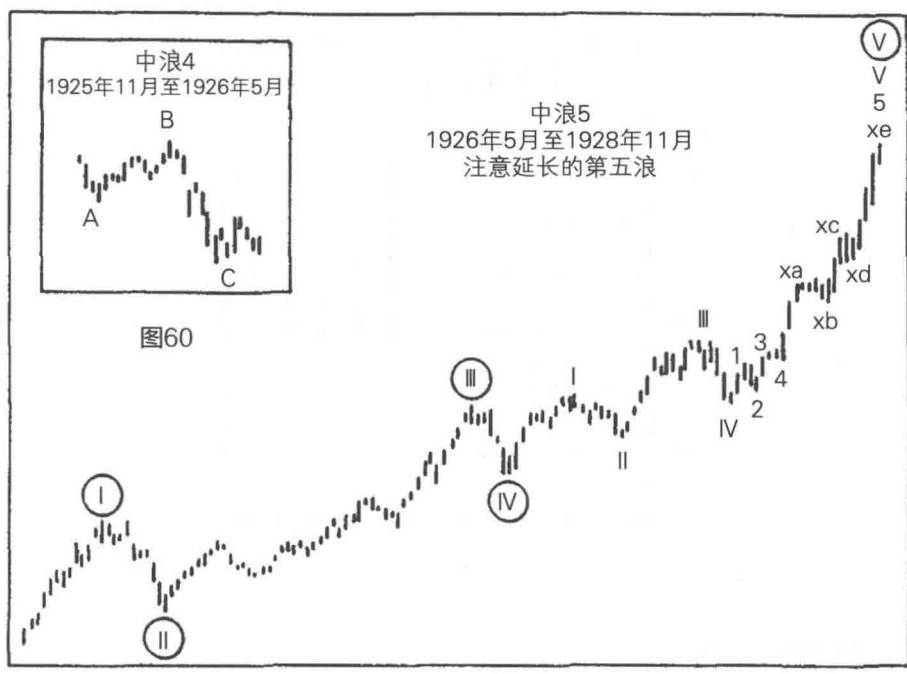


图60

图61

第9章 1937—1938年熊市特例

如图62至图63所示，1937年至1938年的熊市出现了很多新奇的情况，具体分析如下：

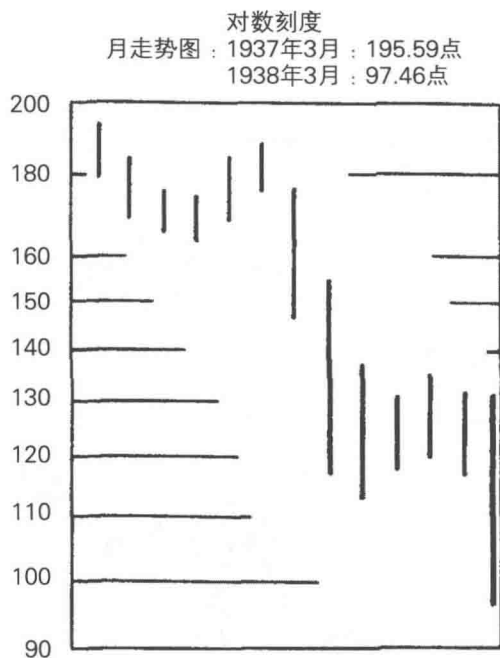


图62

平行四边形形态

1937年8月4日，市场达到187.31点，成为市场反弹的传统高点，之后市场走出三浪下跌，然后三浪上涨，于8月14日达到190.38点。这两个日期

之间，市场形成了不规则调整A浪和B浪（参见图64）。C浪速度极快、持续时间较长，下跌到10月19日的115.82点，形成了一个完美的平行四边形形态。探究该形态背后的原因，并没有特别的意义。一个不规则顶部预示了该形态运行的速度和幅度都非常大，这个不规则顶部与1928—1932年出现过的不规则顶部相同（参见图65）。



图63

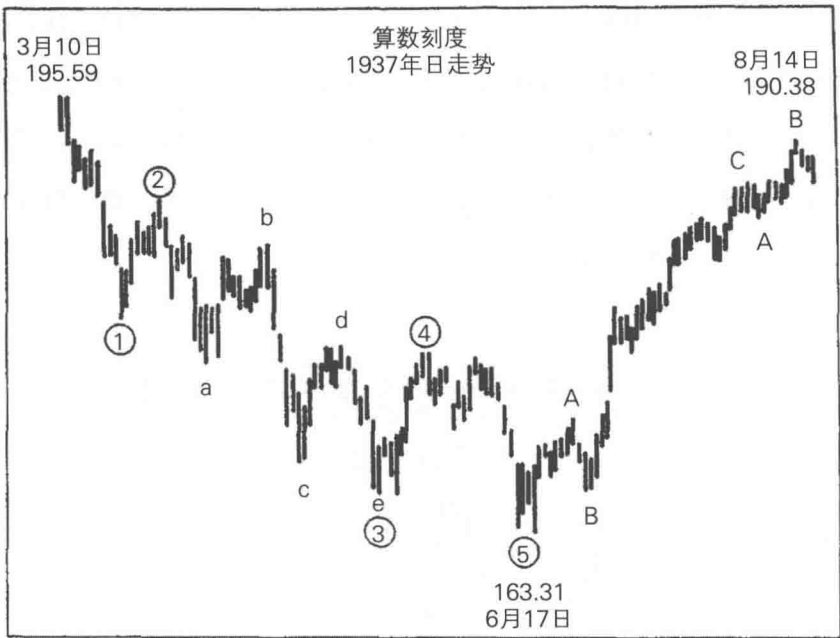


图64

图65展示了很多有趣的市场特征。请注意市场的平行四边形形态。从OT到B，不规则顶部的出现，预示着市场将猛烈下跌。延长浪xa到xe预示了市场将会立即以三浪形式进行回撤至xb，最终价格将继续跌到xe以下。如图66所示，第一次回撤由三浪所组成，这一回撤确认了价格将下探到更低价位。图64中A-B-C的锯齿形态意味着，图65中C浪之后的市场调整形态将为平台形态或者三角形态。正如图51曾展示的，三角形态再一次确认市场会下探到更低价格水平，也就是图66所示的1938年2月至3月的行情。

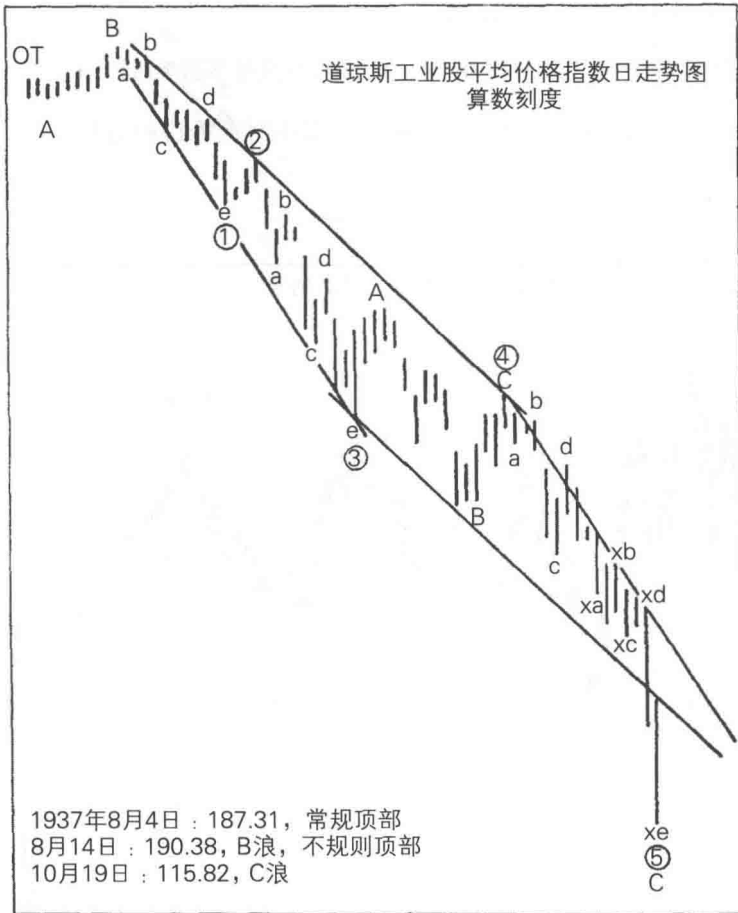


图65

半月形

该形态名称用于定义1938年2月23日至3月31日市场从132点下跌到98点所形成的形态。该形态成弧线下跌走势，底部几乎是垂直的（参见图66至图67）。

在图65中，下跌至115.82点的那段延长浪，预示了市场将创新低。从115.82点开始的首次反弹上涨，由三浪组成，确认了市场将继续下探。后面

的三角形形态再次确认了这一走势。

1936年4月出现了同样的形态，市场从163点下跌到141点。两次都是延长浪的回撤。考虑到速度之快，有必要采取小时走势进行分析，对于后者来讲尤其如此。

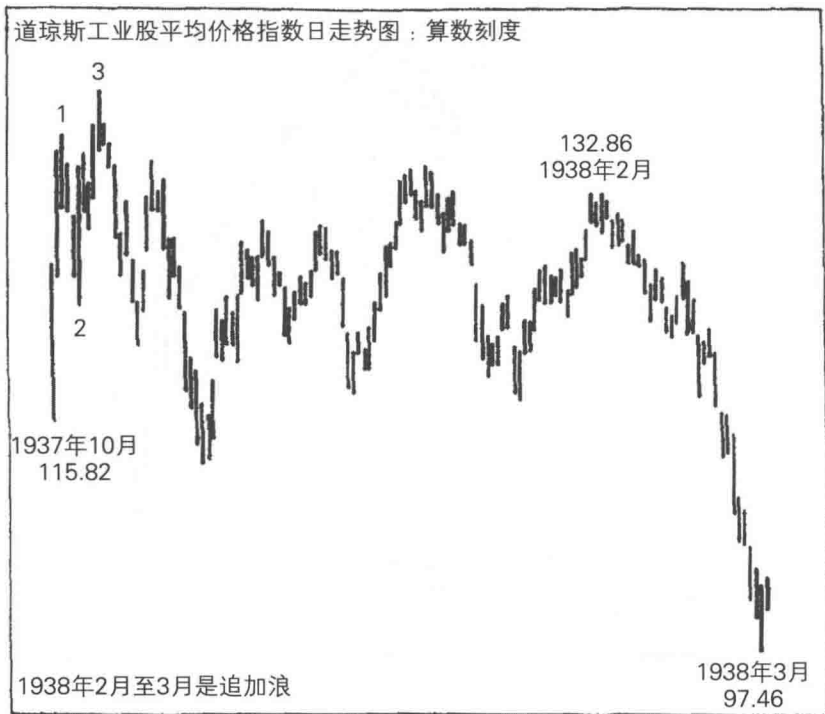


图66

从1929年9月到11月，浪1从381点延伸下跌到195点，浪1出现了延长浪，并在1930年立即回撤。如前文所述，由于浪1出现了延长浪，浪3和浪5都没有再出现延长浪（参见图19，算数刻度）。如果延长浪于1932年出现在第五浪而不是第一浪，那么1929年9月到1932年7月的下跌将和1938年2月至3月的半月形态类似。

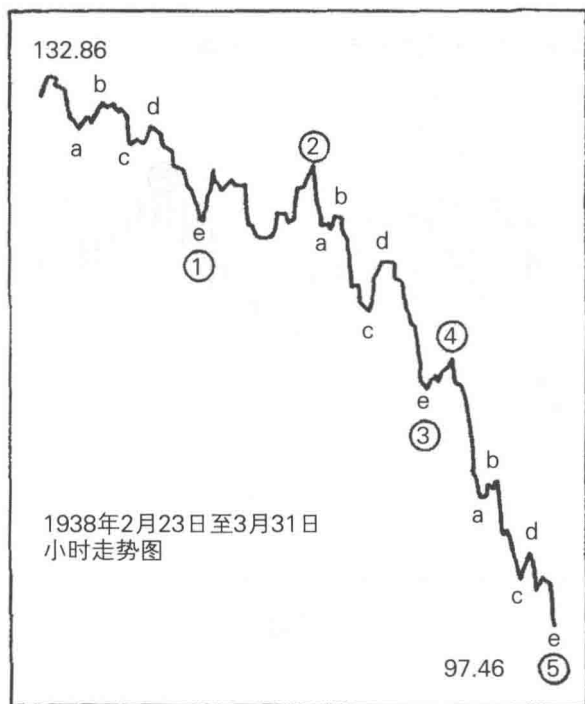


图67

追加浪

1938年，出现了第一次有记载的工业股指数追加浪（参见图66至图67），市场从1938年2月23日的132点下跌到3月31日的98点。至此，C浪在完成五浪走势后，最终达到了调整波动的终点，正如1932年一样。1934年12月至1935年3月铁路和公用事业指数曾出现过同样的现象。

如图68所示，市场从97.46点到121.54点的上升波动，由五浪组成，是自1937年3月以来第一个五浪上升走势，确认了3月31日97.46点为熊市A浪的底部。

5月27日106.44的市场点位成为121.54点开始的典型平台形调整浪的终点。



图68

第 10 章 波浪理论在其他领域的应用

多年以来，“循环”一词已经得到普遍使用，但使用相对宽泛，仅仅用来泛指市场的上涨或者下跌走势。在谈到美国经济的走势时，一些经济学家将1921年至1932年这一阶段视为完整的循环；而其他经济学家，则认为该阶段包含了三个强度或大或小的循环：1921年初至1924年中、1924年至1927年末、1927年至1932年中。总体而言，对循环的认定较为粗略，观察者们并没有发现循环的内在规律。

本书中波浪理论使用股票市场作为实例，讲述了波浪循环的规律，揭示出一次循环如何成为另一个循环或者更大波动的起点，而此循环本身也是由较低级别的波动所组成的。这和自然界每一项研究都是一致的，因为我们知道，自然不会一直朝一个方向发展，而是按照一定的秩序运动。然而自然运动的背后，无论是哪个领域，都存在一个固定和制约原则，或者称为主宰规律。本书的目的首先是介绍此规律，然后展示该规律在最为复杂的分析研究领域的实际应用。

如图69至图78所示，我们随机挑选了一些走势图，作为波浪理论在其他领域的应用的实例，充分说明了只要运动存在，波浪理论就会发挥作用。建议股票市场以外领域的研究者进一步研究波浪理论，因为它将会有助于简化、方便其工作。

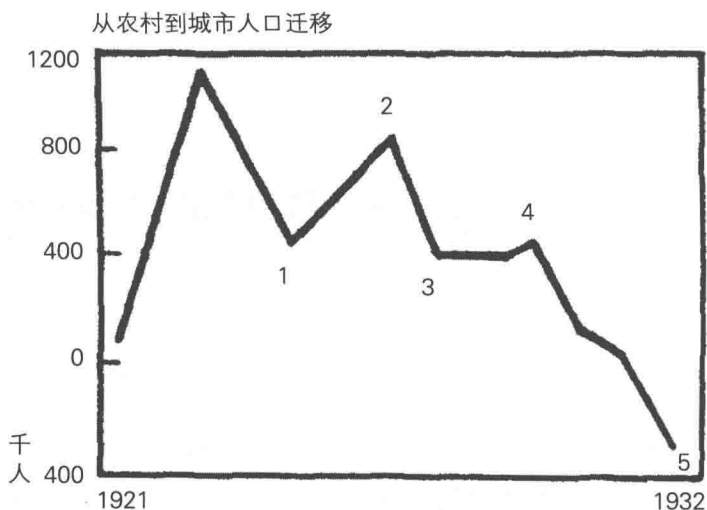


图69

世界工业产量和美国产出 (美国农业部)

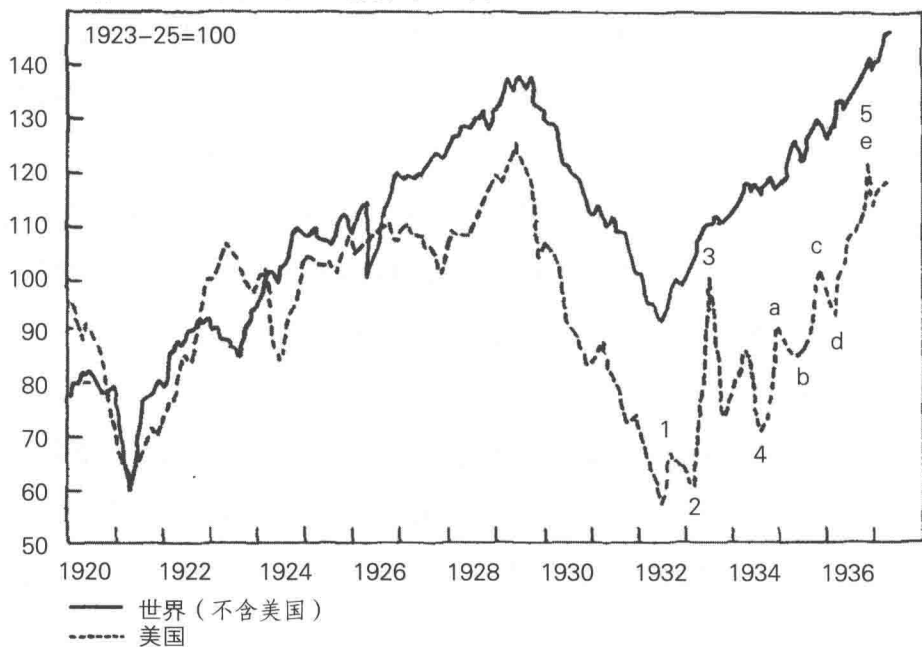


图70

农产品价格 (劳动局)

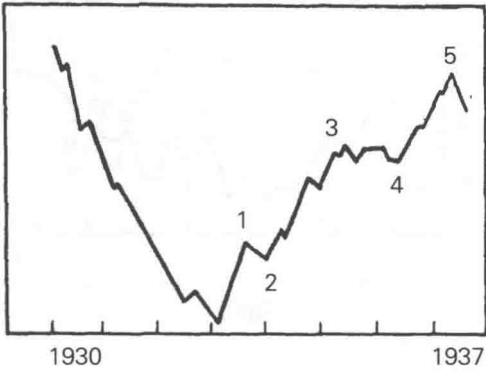


图71

10亿美元 人寿保险新增支付

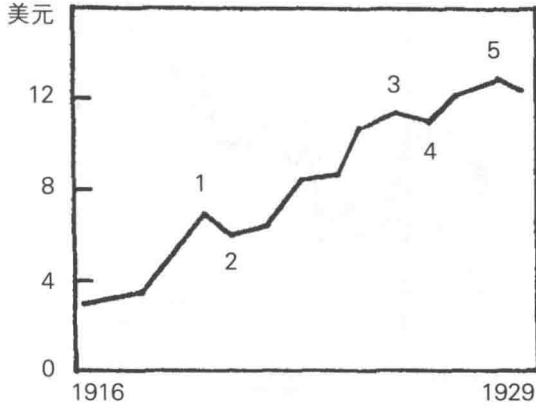


图72

美国汽油消费

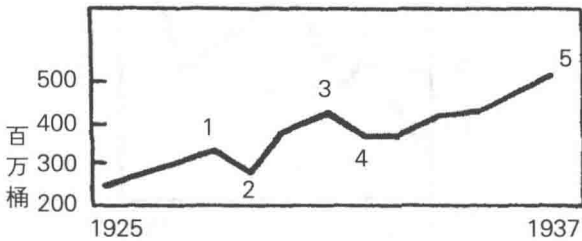


图73

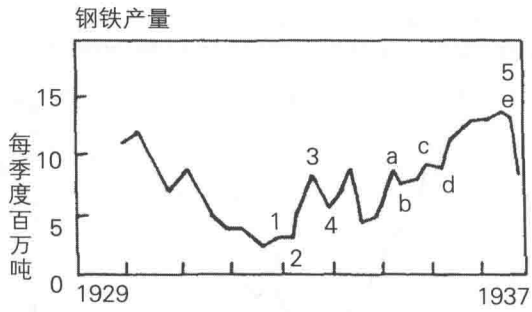


图74

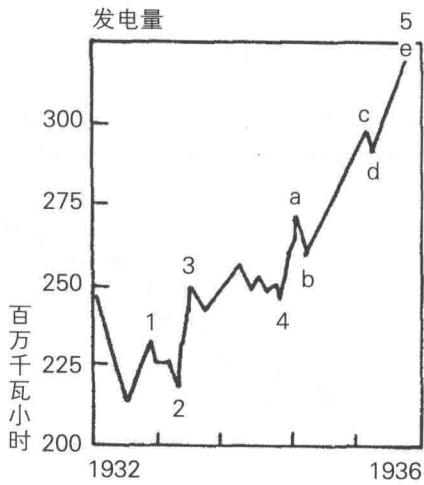


图75

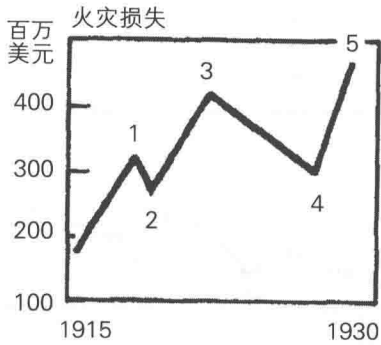


图76

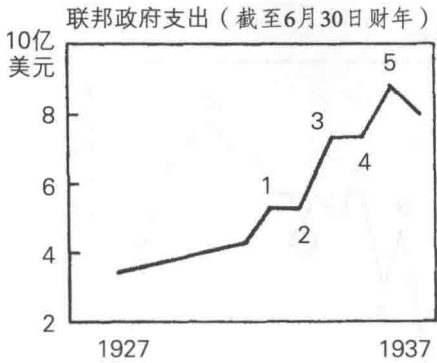


图77

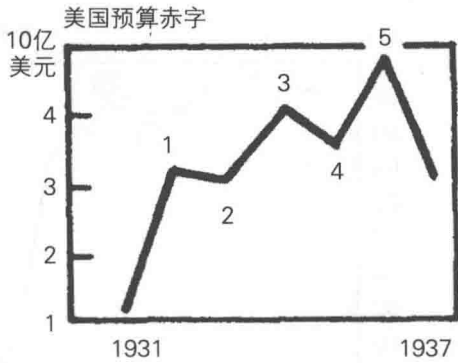


图78

不同事物的波动运动绝不会同时达到顶部和底部。两个或者更多事物可能同时见顶，但见底的时间大不相同，反之亦然。对于一些事物见顶和筑底的时间统计如下：

	常规顶部	传统底部
股票	1928年 (非1929年)	1932年
债券	1928年	1932年
生产总值	1920年	1933年
商品	1920年	1932年/1933年
房地产	1923年	1933年
换手率	1928年	1938年6月18日
纽约证券交易所席位价格	1928年	1938年6月15日

债券市场1932年市场见底之后，于1934年4月形成了常规顶部，如果不是由于《国家复苏工业法案》(N.R.A.)的公布和执行，股票市场很可能在此时与债券市场一起同时见顶。债券市场常规顶部之后，1934年市场出现了规模宏大的不规则调整，调整浪的B浪于1936年12月见顶，然后和股票市场一起，在1938年3月的C浪中见底。

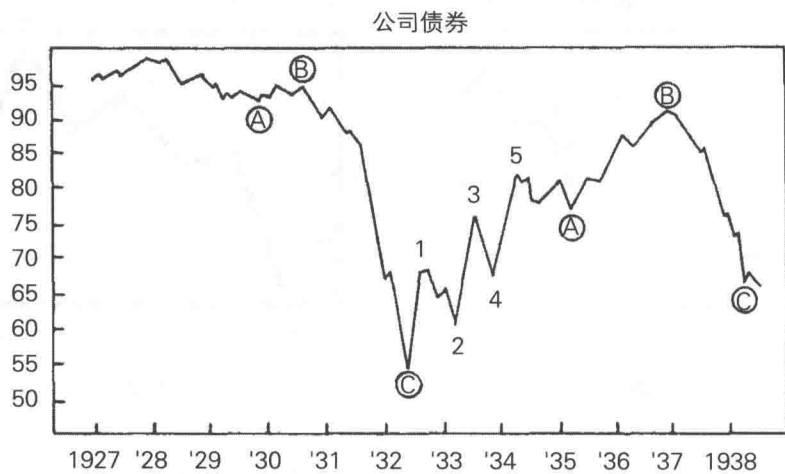


图79

全国最低交易手续费免费办理国内正规商品股指原油期货开户 零佣金 不限资金量和交易量直接申请交易所手续费
任何地方费用比我们低 10倍赔偿差价 客服微信/QQ：958218088 期货开户和书籍下载请进：<http://www.7help.net>

第 1 章 “波浪理论” 简介

自从人类诞生之日起，万事万物就呈现出规律性运动这一自然法则。通过研究这一法则的各种不同表现形式，人们逐渐获得了这一法则的相关知识和能力。这一规律在潮汐、天体、旋风、昼夜，乃至生命中都显而易见。该规律性运动被称为波浪循环。

历史意义

该规律在科学应用上的第一次重大进步是在哥伦布时期，达·芬奇对波浪规律进行了开创性的研究。在他之后，其他几位伟大人物继续进行了研究：哈雷发现了彗星、贝尔发现了声波、爱迪生发现了电波、马可尼发现了无线电波，还有一些科学家发现了心理波、宇宙波和电视波等。它们的共同点是所有这些波、这些不同形式的能量都呈现循环的特点，或者具有不断重复自身波动的能力。这一波浪循环以两种力量为特征：一个是形成，一个是消退。据说希特勒就是按照这一自然规律来决定征服世界的时机，但破坏力量在不断集聚，在适当的时候成为主导力量，从而完成了一个周期循环。

因为这种重复或者规律性再现的现象，人们在其他领域掌握的关于这一规律的经验，是可以应用到更实际且让人获利的领域。股票市场的价格循环波动以及牛市、熊市更替同样受到这一自然法则的控制。大约50年前，经过对股票市场重要变化的仔细研究之后，查尔斯·道逐渐建立了道氏理论，该

理论如今已为广大投资者所接受，具有较高的预测价值。道氏理论之后，市场交易的信息记录逐渐多样化，并且可以从某种特定的市场行为中发现重要、颇有价值的新预测工具。

因长时间患病休息，使得作者有机会充分研究股票市场相关的信息资料。那些杂乱、冷漠、似乎毫不可控的股票价格走势，年复一年、月复一月、日复一日的变化，因为具有共同的波浪规律而彼此产生了联系。这一形态似乎是不断重复自身的轨迹。凭借着对波浪理论这一规律或者现象的了解，投资者可以测量和预测各种趋势和调整（小浪、中浪、大浪以及更高级别的波浪），而这些波浪形成了一个大的循环。

波浪现象如图1所示。一个完整的波浪由五个驱动浪所组成：三个上升浪和两个下跌浪。浪1、浪3和浪5与主趋势的方向一致。浪2对浪1进行调整，浪4对浪3进行调整。通常情况下，三个



图1

上涨浪位置近似平行；浪2和浪4情况也是如此。

形成一个完整波动的三个大浪进一步分解为五个级别更小的中浪。分解过程如图2所示。需要注意的是，大浪1由五个较小的中浪组成，大浪3由五个中浪组成，大浪5由五个中浪组成。大浪2对已经完成的大浪1进行调整。大浪4对组成大浪3的五个中浪进行了调整。

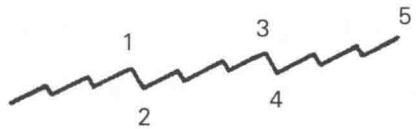


图2

每个中浪又可以进一步分解为五个小浪（如图3所示）。当第五个大浪

的第五个中浪的第五个小浪走完之后，市场将构建顶部。在完成某一级别波动之后，破坏力量将成为市场主导，基本趋势由涨转跌，熊市渐行渐近。往

往熊市启动很长时间之后，导致熊市的经济、政治或者金融因素，才会最终变得明朗。

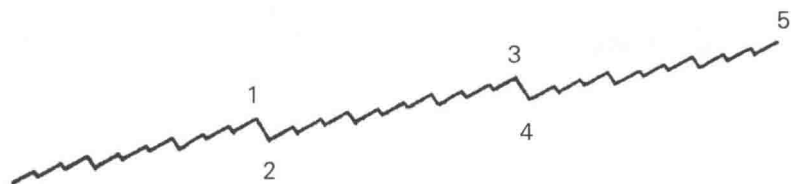


图3

第2章 完整的波动

在上一章有关波浪理论在预测股票市场波动的应用中，曾得出如下结论：一个完整的波动由五个波浪组成，每一组特定级别的五浪组成下一更高级别波浪的浪1。当所有级别波浪的第五浪走完时，在该轮市场波动中就会出现一个比之前任何调整都剧烈的调整浪。

完整的波动

调整浪的波动规律与主趋势方向上的波浪运动不同。这些调整浪，浪2、浪4，每个都是由三个更低级别的波浪组成，而驱动浪1、浪3和浪5是由五浪组成。图4展示了一个完整的波动，除了浪2和浪4的锯齿形态外，该图与图3道理相同。图中浪2和浪4由三个阶段组成，但由于这两个波浪自身也是完整的波浪循环，它们也具有五浪驱动的特征；换句话说，“a”和“c”阶段（调整浪的第一和第三浪）由五个更小级别的浪组成，而“b”（调整浪的调整浪）则由三个更小级别的浪组成。由于调整浪的形态复杂，目前过多讨论可能会令读者困惑，因此有关调整的问题会在后文中进一步讨论。

使用波浪理论预测市场价格波动，并不需要相应的平均指数之间相互确认，因为波浪理论不仅适用于个股、板块（钢铁、铁路、公用事业、铜、石油等），还适用于大宗商品交易和不同的平均指数，如道琼斯指数、标准统计指数、纽约时报指数、纽约先驱论坛报指数、伦敦金融时报指数等。虽然

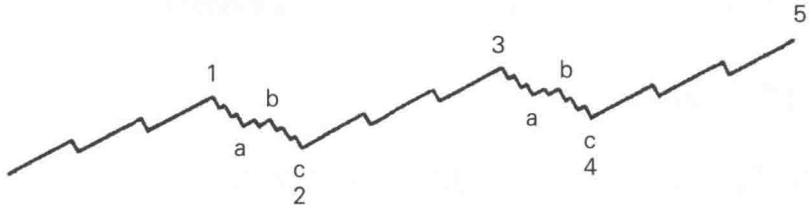


图4

在任一给定时间内，市场都存在或涨或跌的股票，但多数个股走势会同时走出同样的走势。正因为此，平均指数的波浪形态可以准确地反映整个市场波动的状况。平均指数中的股票数量越多，其波浪形态就越发明显。这就意味着，如果股票被大量投资者分散化持有，这与分散度较差的情况比起来，波浪运动规律周期性波动的特征更加清晰。

采用的价格波动区间

对波浪理论的市场分析，不能局限在日或者周收盘价，恰恰是市场的最髙点和最低点之间的波动范围对后续市场周期波动有重要指导意义。事实上，正是由于道琼斯公司在1928年建立并发布日波动图，在1932年建立并发布小时波动图，使我们获得了丰富且可靠的数据，波浪理论这一现象的规律才得以确定。基于市场每小时、每日、每周的实际运行状况，我们揭示出市场波动背后的市场力量变化规律。“收盘价”并不能揭示市场的全部信息，正因为缺少了细节性基础数据，伦敦股票市场走势比纽约市场更难预测。

要预测一轮完整波浪的长度，需要看两个同一级别或者更高级别的调整浪是否走完。最低级别波浪的长度为朝某一方向、未发生任何级别调整的持续波动，即便是小时波动图中也是如此。假如小时波浪图出现了两次调整浪，市场波动将进入第五浪，也就是最后阶段，或是第三个驱动浪。所谓的“阻

力位”和其他技术因素，对于预测这些波动的长度或者持续时间毫无价值。

外部因素的影响

由于波浪理论可以预测市场循环的不同阶段，经验丰富的研究者将发现，当前新闻、事件甚至政府的法令，对波浪循环整体进程的影响微乎其微。的确，有时意外新闻或者突发事件，尤其是引起公众高度情绪化的事件，可能会延长或者缩短两个调整浪之间的长度，但波浪数量或者市场背后的规律保持不变。我们甚至可以得出这样一个结论：市场波浪的运动紊乱，会导致广泛的社会不安定，而这正是战争的原因，而不是战争促成了市场波浪循环。



第3章 通道理论

一轮上升波动的第五浪走完之后，市场调整幅度将比之前所经历的都要猛烈，因此提前判断此波浪的顶部位置就变得至关重要了。一旦投资者掌握了定位市场顶部的技能，就可以提前采取必要措施，建立防守型的操作策略，在最有利的市场环境下将利润落袋为安。投资者也可以在调整完毕后，将卖掉的头寸反手做多。

在本书前一章节中曾提到“要预测一轮完整波浪的长度，需要看两个同一级别或者更高级别的调整浪是否走完”。通过反复测量这些波浪走势的长度，采取我们所熟知的通道法则，我们就有可能在浪4走完的时候大致算出浪5的见顶位置。

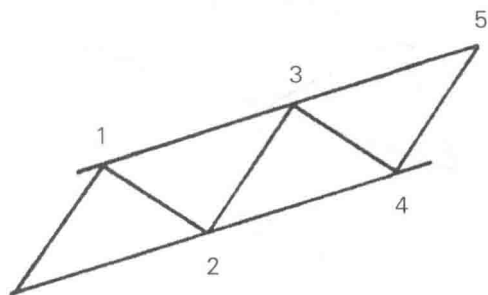


图5

图5给出了一个正常的波动或者循环，浪1、浪3和浪5，每个波浪都具有大致相同的长度。使用通道方法来预测市场运行的顶点位置，必须等到浪

1和浪2都已完成，此时才可以穿过浪1的起点和浪2的终点，画出一条直线，作为下一阶段市场运行的基准线。如图6所示。第三浪，正常情况下与第一浪平行，应结束于上通道线（虚线）的边界附近。

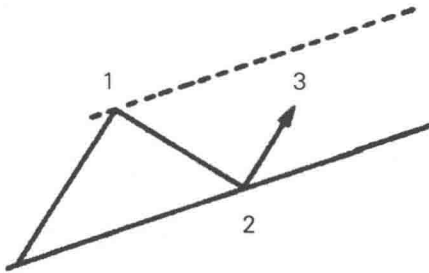


图6

这一假定的上通道线从浪1的顶部穿过并向上延长，平行于底部那条基准线。但市场环境可能非常乐观，以至于浪3获得瞬间的能量，走势超过了正常的理论预期，如图7所示。

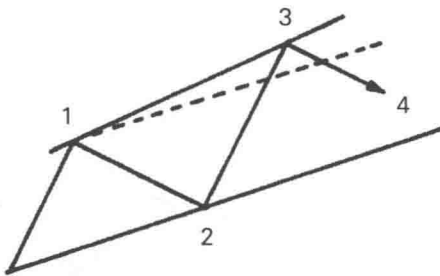


图7

当浪3结束后，实际形成的上通道线为连接浪1顶点和浪3顶点的直线。为了预测浪4调整的底部，需要绘制一条假设的基准线（虚线），连接浪2的底部并平行于上通道线，在图8中，浪4终点的理论预期以及实际终点均在图中给出。

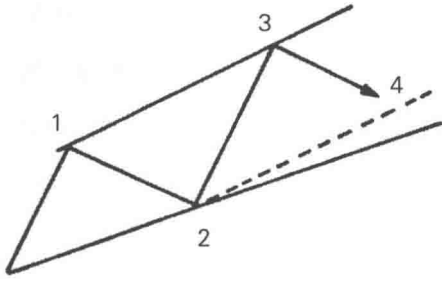


图8

随着第二次调整（第四浪）的结束，最终且最重要的通道就可以绘制出来了。通道的基准线延伸穿过两个调整浪（浪2和浪4）的终点，平行的上通道线穿过浪3的顶点。此时浪1可以完全忽略，除非浪3驱动力异常地强大。当基准线和上通道线绘制完成之后，浪5的大致终点就可以预测出来，如图9所示。

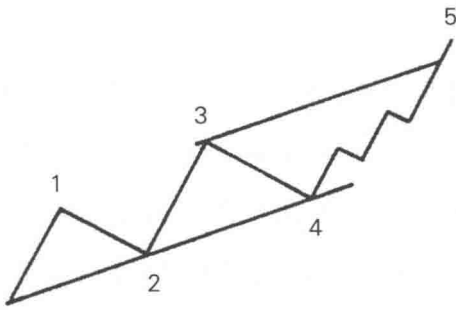


图9

这一通道方法的重要性，自然比不上对完整波浪运动不同阶段规律的分析。浪1、浪3和浪5都由五个更低级别的波浪组成。理论上，第五浪应该结束于与上通道线的相交之处。但有时，第五浪异常强势。我们将在下面章节中详细讨论第五浪击穿上通道线的情况。

第4章 波浪划分

前文已经提到，一个完整的价格波动过程由五个波浪所组成，一个完整波动形成下一更高级别波浪的第一浪。通过识别各个不同阶段的波浪级别，就有可能判断市场的相对位置，并预测后续的市场走势。

迄今为止，关于美国股票价格记录，历史最长且可靠的，可追溯至1854年开始发布的埃克斯—霍顿代表股票指数（发表在纽约时报年鉴上）。根据波浪理论，若要进行长期市场预测，需要从1857年结束的熊市开始。这一始于1857年，结束于1928年11月28日（传统高点）的巨大市场波动代表了最高级别循环的一个波浪。这一波浪究竟是特别超级循环的第一浪、第三浪还是第五浪，主要取决于1857年之前的市场走势。这一波浪可分解成五浪，第五浪可以进一步分解为级别更低的五浪，研究者就可以看到不同浪级市场运动的真实表现。为了避免在划分市场波浪等级上出现混淆，建议按照波浪相应顺序使用下列名称和符号（参见下一页表格）。

这些波浪中，持续时间最长的波浪延续了70多年，而且涵盖了一系列的牛市和熊市。但正是基于小时、日、周的波动情况，才完成并记录下中浪和大浪运动，而中浪与大浪对于每个投资者来说都具有重要的实践意义。

1928年11月28日，道琼斯工业股平均价格指数达到295.62点，此时价格波动完成了特别超级循环浪1、浪3或者浪5的第五超级循环浪的第五循环浪的第五大浪的第五中浪的第五小浪的第五细浪的第五微浪。正因为此，尽管

市场到1929年9月3日达到386.10的实际高点，1928年11月28日达到的高点称为常规顶部。多数读者听起来似乎比较困惑，本书将在后文中详细讨论“不规则顶部”高于“常规顶部”的情况。

波浪级别	波浪标识	持续时间
特别超级循环	gsc I (?)	1857—1928年
超级循环	sc I	1857—1864年
	sc II	1864—1877年
	sc III	1877—1881年
	sc IV	1881—1896年
	sc V	1896—1928年
循环	c I	1896—1899年
	c II	1899—1907年
	c III	1907—1909年
	c IV	1909—1921年
	c V	1921—1928年
大浪	((I))	1921年6月—1923年3月
	((II))	1923年3月—1924年5月
	((III))	1924年5月—1925年11月
	((IV))	1925年11月—1926年3月
	((V))	1926年3月—1928年11月
中浪	(I)—(V)	
小浪	I—V	
细浪	1—5	
微浪	A—E	
次微浪	a—e	

中浪以及更小级别的价格波动将在后面章节中予以讨论。

第5章 熊市波浪

任何价格波动的幅度和持续时间，都受到之前相似或者更高级别波浪循环的影响。开始于1896年的波浪循环，持续33年才完成，于1929年9月3日上涨至386.10点，此次上涨如此强势，以至于后面的熊市下跌波浪也十分强势。

有序下跌

在不到三年的时间里，价格跌到了峰值386.10点的10.5%（1932年7月8日40.56点）。尽管下跌速度极快，但是整个熊市下跌过程遵循着完整的波浪规律。而且波浪的调整范围也在预设的通道范围之内。投资者从而可以提前判断熊市结束、牛市开始的大约时间。考虑到之前波浪运行的波动幅度，新的牛市也将是幅度较大，且持续数年，长线投资者可以一直持有头寸，直到可以估算的第五大浪结束的位置。从那时开始，投资者需要格外谨慎。

前文讨论了波浪理论的基础理论。现在可以进一步讨论理论的实际市场应用。在图10中，1932年7月8日—1937年3月10日道琼斯工业股平均价格指数月价格走势所形成的完整五浪形态，以算数刻度形式绘制出来。微浪、细浪、小浪、中浪各自的月、周、日、时走势形成了五个大浪的每一浪。波浪（(I)）、（(III)）和（(V)）由五个不同阶段组成的，波浪（(II)）、（(IV)）由三个不同阶段组成，如图10中A—B—C所示。每个重要阶段的波动幅度和持



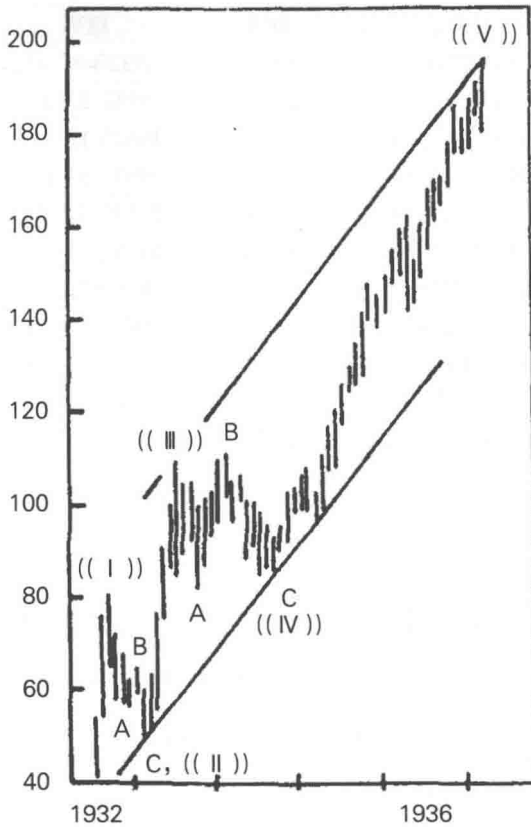


图 10

续时间均在下页的表中列出。

当浪((IV))已经完成,浪((V))正在形成中,此时需要对市场格外关注,相应地对通道进行谨慎分析。从浪((II))底部穿过浪((IV))绘制一条基准线,延长浪((III))顶部平行于基准线绘制上通道线。

1932—1937年大浪波动的各个阶段

开始于波浪((I))1932年7月8日的40.56点,结束于波浪((V))1937年3月10日的195.59点。(道琼斯工业月平均价格指数)

波浪	开始	点位	结束	点位
((I))	1932年7月8日	40.56	1932年9月8日	81.39
((II))	1932年9月8日	81.39	1933年2月27日	49.68
A	1932年9月8日	81.39	1932年12月3日	55.04
B	1932年12月3日	55.04	1933年1月11日	65.28
C	1933年1月11日	65.28	1933年2月27日	49.68
((III))	1933年2月27日	49.68	1933年7月18日	110.53
((IV))	1933年7月18日	110.53	1934年7月26日	84.58
A	1933年7月18日	110.53	1933年10月21日	82.20
B	1933年10月21日	82.20	1934年2月5日	111.93
C	1934年2月5日	111.93	1934年7月26日	84.58
((V))	1934年7月26日	84.58	1937年3月10日	195.59

熊市迹象

1936年11月，就在罗斯福总统以压倒多数投票获得连任之后，外部因素尤为利好牛市，投资者很难想到市场将转跌。但是根据波浪理论，即便此时是牛市，也行将寿终就寝。开始于1932年长时间牛市在1936年11月12日达到185.52的点位，之前53个月的五浪上涨走势正接近大浪的尾声。注意一下此时价格水平是如此接近上通道线。即便如此，市场仍需要4个月的时间来走完这一形态。

最后一浪、相对不重要的波浪，实际上确认了牛市的结束，于1937年3月10日周三结束。在那一星期，工业股和铁路股平均价格指数都放出了巨大的交易量，达到更高的反弹价位，根据人们广泛遵循的市场理论：两种指数相互确认，再次确认了市场主要趋势是上涨的。

工业股平均价格指数在1937年3月10日上攻到了195.59点，这可与1929年11月恐慌性的市场底部195.35点以及1930年2月反弹的市场高位196.96点进行对比。在该周内，不断上涨的股价达到了通道顶部。罗斯福总统有关铜和钢铁价格过高的评论直到4月才出现，而在那时候熊市已经运行一段时间了。

第6章 牛市波浪

在1932年至1937年大浪牛市(参见第五章图10)中,波浪((I))和((III))迅速上涨。自然它们也在很短的时间内停止了上涨。但波浪((V))是如此的缓慢和有序,以至于此波浪的持续时间比前四个波浪加起来还要长。在讨论此波动时,我们曾提到直到1936年11月,牛市上升阶段特征仍比较明显,但还需要4个月的时间来完成整个波浪循环。尽管第五大浪最长的阶段正处尾声,但最小的组成单位(比如微浪等)仍在形成中。

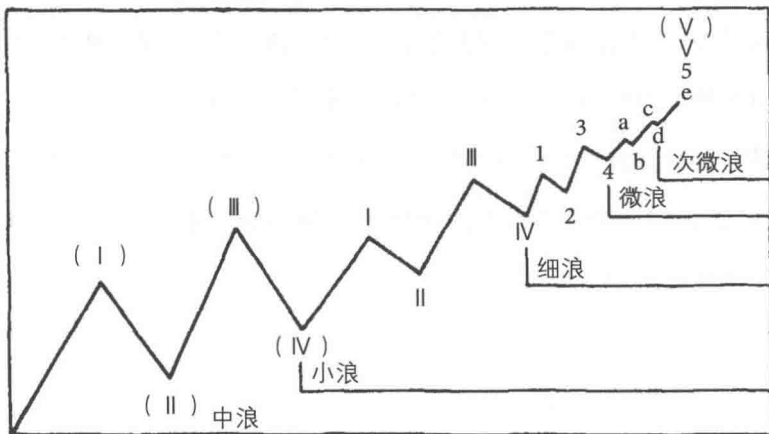


图11 第五浪各个级别的波浪

图11展示了市场第五浪是如何不断细分为五个更小级别的浪,从而使波浪延长的。这样,一轮中浪级别的波动,将止于第五中浪的第五小浪的第五

细浪的第五微浪的第五次微浪。注意随着波浪（V）的上攻，调整浪的幅度变小，持续时间缩短。观察一下1935年至1937年的市场，第五浪的结束标志着相同级别的调整浪即将启动。

有时候，市场走势会出现“击穿”通道线的现象，这可能使得人们在识别第五浪快结束时的更低级别波浪产生困惑。“击穿”通道线是指穿过上通道线的上涨走势（参见第三章），或者穿过下通道线的下跌走势。发生击穿通道线现象时，成交量会放大，如果是遇到大浪波动的第五个中浪，成交量会非常大。任何级别的第五浪若未能击穿通道线，并且伴随着持续下跌的信号，这就是市场乏力的信号。市场乏力的程度取决于波浪的级别。有时候此类市场乏力，也会为第五浪重拾升势奠定基础。击穿现象也可能是波浪图绘制使用的刻度因素造成的，击穿现象在算数刻度上涨走势，以及对数刻度下跌走势出现的概率较大。

有时候第五浪会发生“延长”的现象——即扩张或者拉长。第五浪没有以整个波动相同级别的波浪一浪走完，而是延展或扩张成更低级别的五浪。在规律分析中，这样的延长浪应当从属于第五浪本身，而不单独作为整体市场循环的一部分。此类延伸的市场特征是市场异常强势（下跌走势中，异常弱势）。延长浪的一个实例是发生在1921年至1928年上涨行情中，七十二年的上涨行情此时达到了顶点。

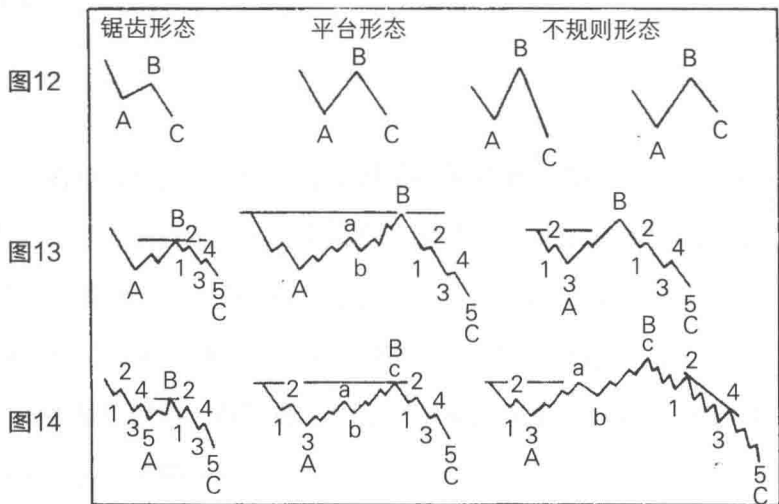
第 7 章 调整浪

调整浪的波动规律是波浪理论中最困难的部分。对调整浪的深入分析对于确定市场所处的位置和未来走势是十分有必要的。掌握调整浪的规律对投资大有裨益。所有的调整浪都是由三个大的波浪组成，但是波浪细节和程度会显著不同，从而导致形成的波浪形态也不相同。影响调整浪形态的因素有很多，包括时间、速度、之前波浪运动幅度、成交量、市场消息等。根据笔者的市场研究和经验来看，调整浪主要有四种类型或者形态。这四种形态分别称为锯齿形态、平台形态、不规则形态和三角形态。由于三角形态形式多样，本书将在专门一章中予以讨论。其他三种形态如图12、13和14所示。

图12展示了持续时间相对较短的小调整浪，图13展示了更高级别的调整浪，图14展示了大浪或者中浪级别的市场调整行为。有些调整浪，尤其是那些不规则形态的调整浪，可能延伸持续数年，所包含的波动常常被误解为牛市行情。

以三浪形态或者A-B-C形态为特征的锯齿形态、平台形态和不规则形态调整波浪在下列图表中清晰给出。锯齿形态在第二章中已经简要论述（图4）。锯齿形态和其他调整波浪的区别在于，第一浪和第三浪（A浪和C浪）由五个更低级别波浪组成，第二浪（B浪）由三个波浪组成。有时候在快速波动时，第一浪（A浪）有可能持续较长时间。因此为了观察此情况，就有必要观察更低浪级或者小时走势，从而更好研究波浪规律。

平台形态和不规则形态的第一浪和第二浪都是由三个更低级别的波浪组成。第二浪或者B浪的三个波浪中，第一浪和第三浪都是由五个更低级别的波浪所组成。在平台形态中，三个波浪具有大致相同的长度。



不规则调整波浪的特征是第二浪或者B浪上涨所达到的顶部，要高于大浪波动中的常规顶部。与第一浪相比，第三浪或者C浪的下跌会更有力度，通常C浪会运动到A浪以下更低的位置，尽管C浪有时候会出现缩短的情况。在一些级别更高的重要调整浪中，例如大浪和中浪，不规则调整波浪的C浪可能会由三组五浪所组成，如图14所示。

通过对调整浪不同类型的分析和区分，研究者便可以掌握判断调整浪波动范围以及后续市场走势的基础知识。通道分析（参见第三章）可用于判断波动幅度。调整浪在特定市场的应用将在本书后面章节中予以讨论和分析。

第 8 章 三角形形态调整浪

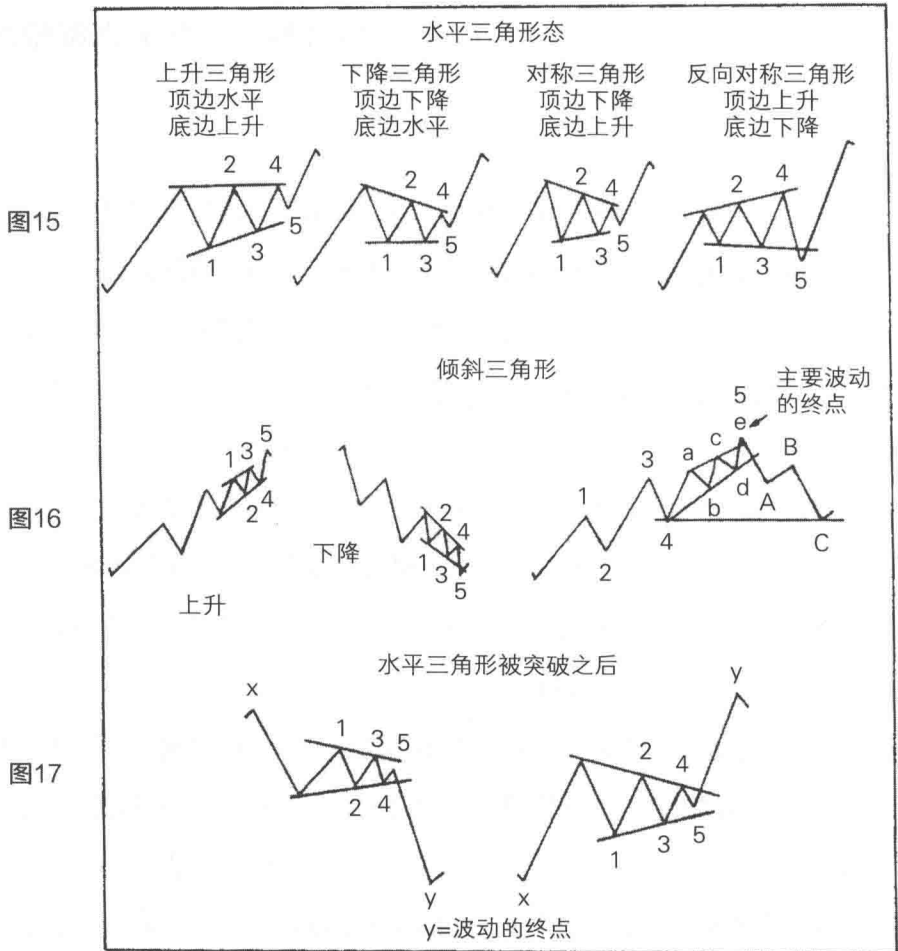
三角形形态调整浪是市场趋势的犹豫不决。相对于经济发展的速度，如果市场步伐走得太快太远了，价格可能就不得不暂缓一下，直到潜在的市场力量再次卷土重来。三角形形态可能持续9个月之久，也可能短至7个小时。市场上有两种三角形形态，分别为水平三角形形态和倾斜三角形形态，如图15和图16所示。

水平三角形形态的四种类型分别为：上升三角形、下降三角形、对称三角形和非常罕见的反向对称三角形。最后一种类型反向对称三角形的顶点是三角形调整浪的起点。在其他三种类型中，三角形的顶点是调整浪的终点，但调整浪可能会在到达顶点前走完。

所有三角形形态包含五浪，每一波浪由不超过三个更低级别波浪组成。不符合此定义的情况不在波浪理论研究范围之内。三角形形态中的所有波浪必须都是同一方向上波动的一部分；否则，这个三角形的出现只是一个巧合。

三角形形态的整个波动轨迹代表了市场主要运动的其中一个波浪。水平三角形形态作为浪2或者浪4出现。如果出现在浪2，那意味着市场主要波动只有三个浪。水平三角形形态结束之时，被三角形形态所打断的市场趋势将得到恢复，趋势的方向与三角形中浪2的方向一致。从水平三角形终点位置开始的突破行为，方向与三角形中浪2方向相同，其速度往往比较迅速，代表了市场主要波动的最后一浪，之后市场将开始反转趋势。上述突破行为的幅度，一般

与三角形中最宽部分之间的距离大致相同。图17中展示了水平三角形终点开始的突破行为。



倾斜三角形上升或者下降都有可能，它们可以作为市场主要运动的浪3或者浪5出现，但通常是作为浪5出现，紧跟在四个主要波浪之后。倾斜三角形形态的结束意味着市场主要运动的结束。倾斜三角形中第二浪方向与此次市场主要波动方向相反，而且指明了三角形结束之后市场反转的方向。倾斜三

角形态第五浪结束时，趋势发生快速反转，一般会导致市场退回到三角形态的起点水平（参见图16中第三个图形）。

三角形态并不是存在于任何分析情况中。有时候该形态会出现在周线走势中，但不会出现在日线走势中。有时候三角形态出现在纽约时报指数中，而没有出现在其他指数中。比如，1937年10月至1938年2月的重要市场走势在标准统计指数周线中出现三角形态，而在其他指数中没有出现。该三角形态的第二浪是下跌的，第五浪终止于2月23日，之后市场在3月出现大跌。

第9章 延长浪

延长浪，尽管并不常见，但它是波浪理论实际运用中最重要的市场现象之一。在延长浪中，波浪的长度与波浪级别比正常情况下要大。延长浪可能出现在浪1或者浪3，但经常是出现在市场主要运动的浪5。延长浪由正常的五浪组成，之后是三浪回撤，然后是三浪再次上攻。正常的五浪中，第五浪的振动通常是最大的、能量最大，从而成为延长浪的延长浪。

当浪1和浪3持续时间较短，且在通道内正常波动时，并且延长浪的第一个调整浪在通道上方附近结束，这传达了一个重要的提醒，市场即将迎来最强劲的第五浪。重要延长浪的长度可能是初始通道宽度的几倍。

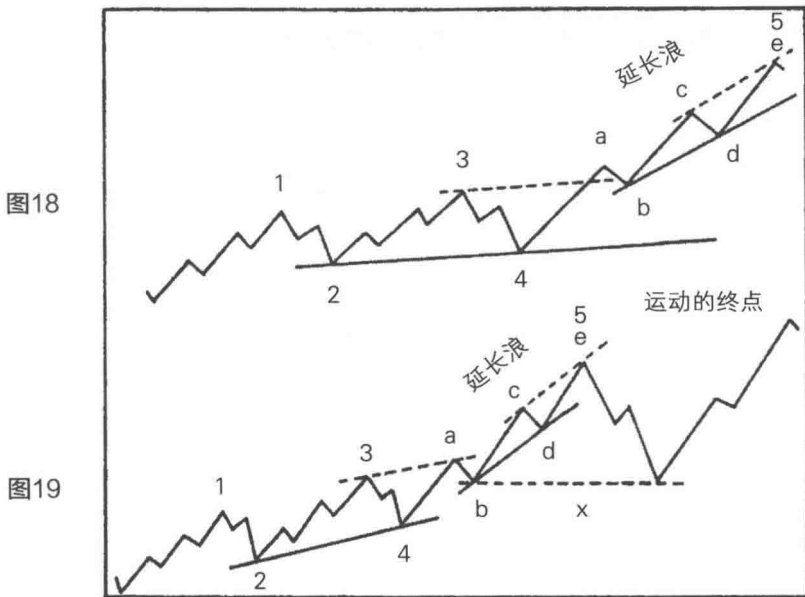
通道分析对于测量延长浪的轨迹也是有效的。在图18和图19中，“b-d”线代表基准线，虚线上通道线“c-e”估算出人们预期中延长浪的第一个顶部。

延长浪五浪走完后，绝不是这轮波浪运动的终点，但此时发出了明确的市场信号，牛市行情即将达到终点。原因在于，市场还剩两浪（一个向下，另一个向上），来彻底释放本轮牛市的最大能量。

在延长浪的五浪完成之后，市场将出现剧烈的调整（通常以三浪的形式出现，也可能是三角形态）。该调整将成为不规则调整浪的A浪。A浪一般市场下跌，突破延长浪通道，把市场带回到延长浪开始的位置附近，尽管回调和反弹会缓解调整阶段的严重程度。图19中标记着“X”的虚线，表示我们

对A浪结束位置的估计。

当A浪走完后，主要运动将会在三个明显的波浪中重拾升势，将市场带到新高，尽管图18和图19中“e”点是牛市主要运动的常规顶部，但新的顶部或者“不规则顶部”，才是牛市最终的高点。这个三浪式上攻浪，构成不规则调整浪的B浪。



B浪的结束，意味着不规则调整浪C浪的开始，C浪是一段极为显著的熊市。C浪中，市场将出现五浪快速杀跌，达到此前牛市大浪第四浪的底部。例如1928年强劲的延长浪之后，A浪从1928年11月下跌到12月；B浪反弹，持续到1929年9月；C浪下跌，持续到1932年7月。

延长浪也可能出现在熊市中。例如，1937年10月19日，延长浪的五浪结束，市场达到115.82点。随后市场出现宽幅三角调整形态（而不是不规则A-B-C形态），持续时间达到4个月，最终于1938年3月31日达到97.46点。

该三角调整的浪2的运动方向，与市场整体向下的波浪运动方向相同。

商品价格波动走势也曾出现巨大的延长浪，最典型的是1937年春季的电解铜商品市场。

个股走势中，国际收割机公司股票在1937年1月达到111至112美元的常规顶部。A浪在反复回调和反弹波动中减缓了调整的严重程度，促使股票在4月下跌到109美元。B浪在8月达到120美元的新的最高点（平均价格指数在3月达到顶点），而到了11月份，C浪迅速杀跌到53美元。

第 10 章 时间和价格

1932—1937年牛市结束之后（参见第五章图10），市场出现了一轮三阶段组成的调整浪。第一阶段由五个大浪组成，与人们预期相符，而事实确实如此。该调整浪的第一个阶段为道琼斯工业股平均价格指数1937年3月10日的195.59点下跌到1938年3月31日的97.46点。图20是市场在该期间的周线走势，以算数刻度显示。尽管特定阶段市场情绪较为浓重，波浪理论的预测功能依然有效。在周线走势中，无法展现日线走势和小时走势的一些细节情况。所以，我们在这里给出第一阶段调整浪的重要五浪的时间和价格：

波浪循环（A）——1937年3月10日的195.59点至1937年6月17日的163.31点。

波浪循环（B）——1937年6月17日的163.31点至1937年8月14日的190.38点。

波浪循环（C）——1937年8月14日的190.38点至1937年10月19日的115.83点。

波浪循环（D）——1937年10月19日的115.83点至1938年2月23日的132.86点。

波浪循环（E）——1938年2月23日的132.86点至1938年3月31日的97.46点。

波浪循环 (A) 由五个小浪组成, 具体为:

- 1——3月10日195.59点至3月22日179.28点。
- 2——3月22日179.28点至3月31日187.99点。
- 3——3月31日187.99点至5月18日166.20点。
- 4——5月18日166.20点至6月5日175.66点。
- 5——6月5日175.66点至6月17日163.31点。

波浪循环 (A) 的第三浪由五个小波浪组成。

波浪循环 (B) 由三个波浪与一个不规则顶部组成:

- A——6月17日163.31点至6月24日170.46点。
- B——6月24日170.46点至6月29日166.11点。
- C——6月29日166.11点至8月4日187.31点。

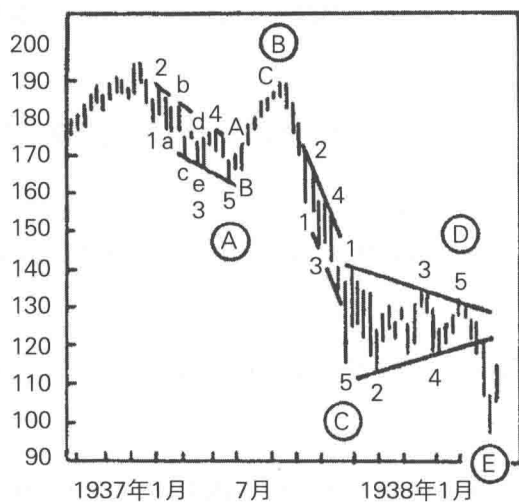


图20

不规则顶部结束于1937年8月14日，预示着严重的下跌行情即将发生。

波浪循环(C)由五个大浪所组成，第五浪出现延长浪。如果没有延长浪，这轮调整浪第一阶段正常情况下很可能在135至140点之间结束。(C)浪的分析情况如下：

- 1——8月14日190.38点至8月27日175.09点。
- 2——8月27日175.09点至8月31日179.10点。
- 3——8月31日179.10点至9月13日154.94点。
- 4——9月13日154.94点至9月30日157.12点。
- 5——9月30日157.12点至10月19日115.83点。

在(C)浪中，有三组下跌趋势的波浪，这三组都包含五个波浪，其中第一、三和五个小浪均由五浪组成。浪4是相对比较重要的上涨调整浪，走势类似A-B-C形态。第五浪的第五小浪出现延长浪，表明市场失地将迅速收复，然后第二次下跌，把市场带到调整浪的新低。第二次下跌之后，市场展开的正常回撤、回补，可能形成一个三角形态，然后市场最后一次向下的冲击完成了这轮调整浪的第一阶段，之后至少会出现五大浪形式的反弹，预示1938年3月至11月牛市的到来。

循环波浪(D)，由巨大三角形态所组成：

三角形态波浪1，以三浪波动形式(A、B和C)出现，波动走势从10月19日的115.83点到10月29日的141.22点。

- A——10月19日的115.83点至10月21日的137.82点。
- B——10月21日的137.82点至10月25日的124.56点。
- C——10月25日的124.56点至10月29日的141.22点。

三角形态波浪2，10月29日的141.22点至11月23日的112.54点。

三角形态波浪3，11月23日的112.54点至1月12日的134.95点。

三角形态波浪4，1月12日的134.95点至2月4日的117.13点。

三角形态波浪5，2月4日的117.13点至2月23日的132.86点。

三角形态的任何一个浪都不会由三个以上的波浪所组成。在三角形态第五浪结束之后，调整浪的下跌走势将恢复。

(E) 浪至少由五个波浪所组成：

1——2月23日的132.86点至3月12日的121.77点。

2——3月12日的121.77点至3月15日的127.44点。

3——3月15日的127.44点至3月23日的112.78点。

4——3月23日的112.78点至3月25日的114.37点。

5——3月25日的114.37点至3月31日的97.46点。

1932年至1937年牛市调整的第一阶段最终结束，市场此时准备好迎接此调整浪的第二个上攻阶段。1932年至1937年的牛市，指数上涨了155.03点，但经过第一阶段的调整后，将这一胜利果实打掉了63.3%。



第 11 章 波浪特征分析

使用波浪理论作为预测市场价格波动工具时，研究者需要了解的是，循环里面有循环，并且对每个循环、次级循环的研究分析，都需要将其放在市场宏观波动之下。这些牛市中的次级循环或者调整波动经常被误认为是熊市。1938年3月31日至1938年11月12日的市场波动非常强势，但属于次级调整波动，具有“牛市形态”，其第一阶段由五个重要波浪所组成，至今仍被很多人认为是真正的牛市。一般来讲，熊市的反弹调整浪由三个阶段组成，牛市的下跌调整浪也是如此。

波浪特征

组成延长浪的各个波浪的特征，受到很多因素影响，对于缺乏经验的研究者，这些因素看似并不相关。对于任何一轮完整波浪的分析，支持了波浪理论的观点：价格波动的幅度或者目标价位都具体有固定性，或者说是事先就确定了的。整个循环的时间很可能也是确定的，但是循环组成部分的运行时间的长短，看起来却是千变万化的。波浪运行时间的长短，受到价格波动的速度或者力度的约束，反之亦然。因此如果市场波动在某一阶段比较剧烈和快速，下一阶段市场很可能呈现出速度放缓的迹象。比如，1932年至1937年牛市中的第一个阶段，在9周内上涨了40点，上涨了100%，平均每周上涨4.4点。牛市第二个阶段，在20周内上涨了60点，上涨了120%，平均每周3点。

第三个也是最后一个阶段，138周的时间内上涨了110点，涨幅达到130%，平均每周0.8点。在一轮长时间的波动快结束时，如果波动速度极高，通常会导致反转行情的第一浪具有相似的运行速度。可对比一下1938年3月下跌运动与随后4月的反转情况。

在某些时候，成交量在价格波动上发挥重要的作用，并且成交量本身会放大和缩小，从而控制和结束价格循环。对时间波浪和成交量波浪进行研究，有时候对于确定价格走势的位置极其有利。在波浪运动的第三浪，成交量倾向于放大，在第五浪也是如此。在成交量波浪陷入低谷时，高价股票或者交易不活跃股票的价格异常波动，会使平均价格指数的运动呈现出暂时的杂乱无章，以至于带来了短期的不确定性。但是，这些成交量的波动，对于确定价格波动的幅度和持续时间，以及后续市场波动的时间、方向甚至是速度，都是大有裨益的。这一情况在快速波动市场中尤为如此，例如1938年的市场走势。我们可以从研究交易量及时间波动与价格波浪之间的关系，得出很有意义的结果，因为价格形态和成交量波浪都精确地受到波浪理论的支配。

为了具备足够的分析能力，研究者应该至少绘制两个或两个以上平均价格指数走势图，使用周线、日线以及小时走势图，注明对应的成交量信息。周走势足以判断趋势的宏观变化情况，但月走势无疑对很多投资者也具有吸引力。日走势让我们可以密切关注更小幅的波动，这对于正确解读波动趋势至关重要，对于判断趋势反转的准确时间极为必要。

关键点

小时走势图展示了波浪的微小变动，为波浪分析提供了非常有价值的信息，更为重要的是，当市场快速波动时，有一些形态无法在更长周期波动图中清楚识别，此时小时波动图的作用就尤其明显。比如，1937年10月小时走



势图中的小规模三角形态，发出了市场下跌波动加速或者延伸的信号，10月18日至19日的“市场恐慌”随之而来。在其他重要的时间点上，小时走势分析同样具有非同寻常的价值，比如确定最终不规则顶部之前的常规顶部，从而选择合适时机在接近顶部的战略位置处清仓。1938年3月，市场突破之后的第一个小时走势呈现出5个细浪时，它发出了一个明显的确认信号，市场的重要趋势已经发生了改变。

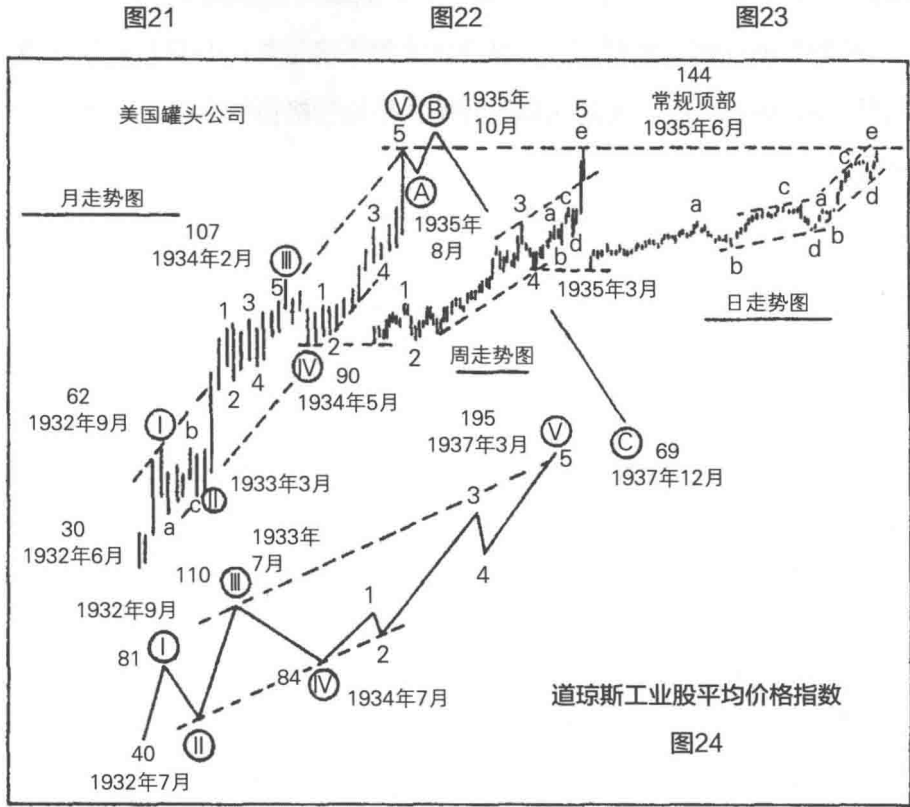
第 12 章 波浪理论的个股分析

前面的章节已经讨论了波浪理论，以及它在市场波动的应用。分类越广，波浪形态越清晰。股票价格指数的波浪形态，例如道琼斯指数、纽约时报指数或者标准统计指数，均能准确反映出市场整体的位置，因此根据指数的波动情况，买卖具有代表性的股票组合就能够获利，因为这些股票的总体市场价值和整个市场的波动相一致。但为了更安全地获得利润最大化，仅仅买卖特定股票组合而不对个股进行分析是远远不够的。这些个股分析可能会揭示出某些公司所处的与整体市场截然不同的波动情况。典型的实例是1935年春季的美国罐头公司股票。

下图展示了用波浪理论对美国罐头公司的分析。图21充分展示出了该公司从1932年6月到1935年6月的月波动情况，1932年6月牛市开始，1935年6月出现常规顶部。从常规顶部一直到1937年12月调整浪的结束，我们画出了“趋势线”。这个月走势图将周、日波动情况浓缩进来，呈现出5个大浪，形成了一个循环浪。这些周期相对较长的走势图，有助于投资者保持好的市场洞察力。

当重要的第五个大浪在1934年开始时，换句话说，当第四个大浪完成后，就有必要更密切研究市场行为。图22展示了第五个大浪的周价格走势情况。在该大浪走完第四个中浪之后，关注日价格走势极为重要，如图23所示。第五个中浪开始于1935年3月，五个小浪结束于1935年6月，标志着美国罐头

公司牛市行情常规顶部的到来，股价达到144美元。



美国罐头公司牛市行情达到常规顶部之后，在1935年8月出现了回撤，下跌至136—137美元，形成A浪。随后该股票于1935年10月回升到149—150美元，形成B浪，这是一个不规则顶部，但也是本轮运动的最终顶部。从此点位开始，该股走势出现了由五个中浪所组成的漫长的C浪，于1937年12月终止于69美元。

美国罐头公司达到常规顶部之时，投资者注意到了该个股与整体市场走势存在显著差异。图24展示了道琼斯工业股平均价格指数重要大浪的趋势线。1935年3月，美国罐头公司正处于牛市行情的最终阶段（第五大浪的第

五中浪)，而整体市场则刚刚开始其第五大浪波动，它将走出五个中浪的上涨行情。到1935年6月，持有美国罐头公司股票 of 长期投资者应该意识到，对这只股票的任何看涨预期，都具有极大的不确定性，并且投资整体市场获利更多，风险更小。正是从那时开始，平均价格指数上涨近80点，涨幅65%。

期货开户和书籍下载请进：<http://www.7help.net>

第三篇

Selected Essays 1940-1942

1940—1942年文章选编

期货开户和书籍下载请进：<http://www.7help.net>

1940年12月10日，在《新中华》杂志创刊十周年纪念会上，毛泽东同志发表了题为《新中华》创刊十周年纪念会的讲话。在这篇讲话中，毛泽东同志高度评价了《新中华》杂志在党的革命斗争中所起的作用，指出它是党的革命斗争的“喉舌”，是党的革命斗争的“旗帜”。毛泽东同志还指出，党的革命斗争是长期的、艰苦的，需要全党同志团结一致，共同奋斗，才能取得胜利。这篇讲话是毛泽东同志在革命斗争中的重要著作，对党的革命斗争产生了深远的影响。

毛泽东同志的这篇讲话，是在党的革命斗争的关键时刻发表的。当时，党的革命斗争正处于最艰苦的时期，面临着许多困难和挑战。毛泽东同志的这篇讲话，不仅鼓舞了全党同志的革命斗志，也指明了党的革命斗争的方向。这篇讲话是毛泽东同志在革命斗争中的重要著作，对党的革命斗争产生了深远的影响。

毛泽东同志的这篇讲话，是党的革命斗争的重要文献。它不仅在当时起到了鼓舞士气、指明方向的作用，而且在今天仍然具有重要的现实意义。这篇讲话是毛泽东同志在革命斗争中的重要著作，对党的革命斗争产生了深远的影响。

全国最低交易手续费免费办理国内正规商品股指原油期货开户 零佣金 不限资金量和交易量直接申请交易所手续费
任何地方费用比我们低 10倍赔偿差价 客服微信/QQ：958218088 期货开户和书籍下载请进：<http://www.7help.net>

第 1 章 波浪理论的基础（1940 年 10 月 1 日）

文明总是建立在变化的基础之上，而变化总是具有周期循环性特点。一系列有规律的变化构成了一个循环周期。当一个循环周期完成，另一个周期即将开始。新周期的规律将与之前周期的规律相同，尽管周期波动的幅度和持续时间可能会有所不同。波浪运动按照某种自然法则运行。

波浪行为曾让众多经济学家、银行家和商人深感迷惑，他们对此进行了广泛的研究。关于这一问题，《伦敦经济学家》杂志在最近一期文章中，对著名的英国经济学家威廉·贝弗里奇爵士的贸易周期波动研究的结果进行了如下评论：

威廉爵士的研究再次强调说明，对贸易周期的研究越多，越发觉得贸易周期似乎遵循着某种力量，如果说这些力量不是完全超过了人类的控制范围，至少可以认为这些力量足以使政府的政策看来好像挣扎在潮汐的鱼一样苍白无力。威廉爵士指出，贸易周期波动无视政治而存在；他还补充到，贸易周期波动凌驾于政府经济政策之上。

这些周期性波动的原因似乎明显有其固有的起源，即不可改变的自然法则支配着一切，包括支配着人类行为的各种情绪。从周期的长期发展进程来看，背后的原因，往往会变得相对不重要。这一基本定律不会被法规或限制条件破坏或打断。当前新闻和政治动向只有短暂影响力，但很快就会被人们遗忘；它们对市场趋势的影响并不像人们通常所认为的那样重要。

这一自然变化法则是不可避免的，适用于四季、潮汐和行星的运动。确实可以说，变化是“生活中唯一不变的东西”。作为一种自然现象，它必然支配所有的人类活动，即使是生物科学这样相对静态的科学。甚至时间和数学似乎都适用于这一规律，从小时到几十年、几百年、几千年的时间跨度。对波浪行为进行分析，不考虑背后的原因，你将能够预测波动，进而获得丰厚的利润。

基于可用的数据，我对市场进行了独立研究，研究的时间范围跨度较大。我观察到波浪运行往往一再重复。很显然，这些一再重复的波浪都遵循着一种自然法则，而这一法则不可避免地影响着公众。最终，我总结出一些规律，这些规律在多年的股市中得到了检验。

到1934年，我就能够将各种股票价格变化的趋势归结于一系列有节奏的波浪运动，我将其称为“波浪循环”。这一波浪循环不仅体现在不同股票交易所的交易记录中，也在商品、工业产出、气温、音乐、颜色变化、发电量、流入流出城市的人口迁徙等方面均有所体现。事实上，它的覆盖范围是如此广泛，以至于不仅能够体现在人类活动中，也体现在自然本身的运动中，我将这一发现称为波浪理论。

掌握波浪规律，能够通过观察市场预测一轮波浪循环的终止时间。波浪理论并非是一个“市场”体系或理论，它所涉及的概念远远超过任何已知的公式。

波浪数量、波动幅度和持续时间似乎清晰地遵循着数学法则，并且随着时间的推移，波浪的数量从未发生变化。波浪的长度可能受到情绪化的新闻的影响，但波浪数量很明显不会受到此类事件的影响。该理论可以让人们在获得任何支持性统计数据之前，预测、测量不同浪级的波动程度、调整和反转。该理论的一个明显优点在于，精通该理论的研究者能够随时准确地对波

浪循环的运行位置进行识别与定位，从而提前预知市场反转的到来。通过这一分析方法，研究者可以知晓一轮波浪循环即将结束，也可以知道下一波动的类型。掌握该理论，投资者可以充满信心地预测一轮牛市已经结束，或者一轮熊市已经开始，反之亦然。

波浪理论目前已经持续多年成功应用于投资基金管理，并对重要的主要和中级趋势进行过成功预测。1939年6月、7月和8月《金融世界》杂志上发表了多篇有关波浪理论的系列文章。

波浪理论的基础以及与数学法则的相关性

斐波那契数列是波浪理论的基础。该数列的数字如下：

1, 2, 3, 5, 8, 13, 21, 34, 55, 89, 144, 等。

任何两个相邻的数据之和等于下一个更大的数字。例如 $3+5=8$ 。任何波浪的浪数，符合该数列。

这些数字中的任何一个都大约是后边更大数字的61.8%。一个波浪和另一个波浪波长的比例大约为61.8%。

图1展示出股票市场一轮波浪循环的3张图，包括一轮牛市和一轮熊市。该波浪循环中的波浪数，与数个世纪之前毕达哥拉斯和斐波那契的数学理论相当契合。

最上边的图形描述了一轮完整波浪循环的大浪，或者最大的波浪。一轮牛市由5个波浪所组成，一轮熊市由3个波浪组成。

中间的图形中，将这8个大浪进行了放大与细分处理，以便于显示其中的子浪，总计34个子浪。注意“5—3”规律的持续性。该图形展示了一个一轮波浪循环之中的中浪的运动情况。

第三张图简单来讲是一张更为详细的分析，对这8个大浪，或34个中浪

进行细分，包括一轮牛市的89个小浪和熊市的55个小浪。总数为144个。同样存在“5—3”形态关系。根据循环类型或者形态情况，调整浪的规律偶尔会略有不同，有时会出现7或者11，这些形态的变异，或者能让我们提前感知市场要发生什么。

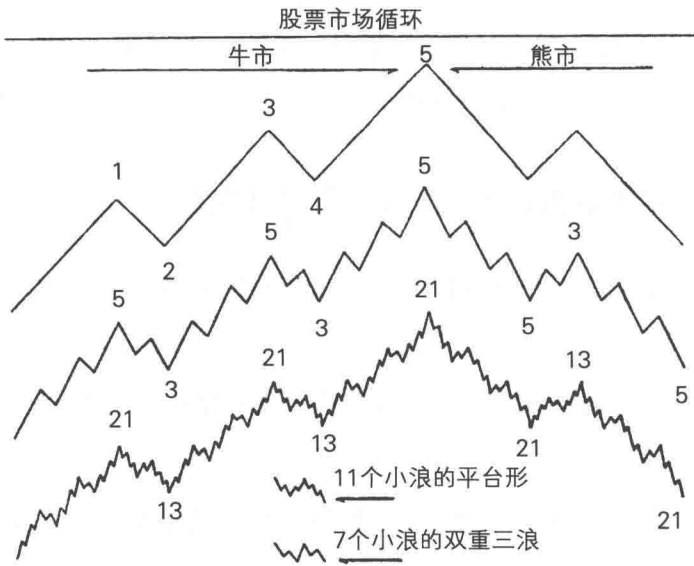


图1

波浪理论的基础非常古老。毕达哥拉斯在公元前六世纪、斐波那契在十三世纪以及其他众多科学家，包括列奥纳多·达芬奇和马可尼，通过他们的研究，都展现出他们对此现象不同程度的了解。斐波那契曾是一位意大利的数学家，别名为列奥纳多·达·比萨。他的“动态对称求和数列”理论与波浪理论的内在规律是一致的，波浪的数量亦是如此。

斐波那契的求和数列显然来自于著名的毕达哥拉斯金字塔图，该金字塔图由十个数字组成，从第一层1个数字开始，以第四层4个数字结束。毕达哥拉斯曾经说过，这张图是“开启宇宙秘密的钥匙”。这个图不仅可以应用于

季节，也可以应用到著名的十年波浪循环子浪的分析。

波浪理论、斐波那契求和数列和毕达哥拉斯金字塔图形的相通之处，在图2中予以展示。

需要注意的是，当我发现波浪理论市场趋势之时，我从来没有听说过斐波那契数列或毕达哥拉斯金字塔图。这些几个世纪以前就已经存在的古老数学原理恰恰证实了波浪理论在今天实际应用过程中的有效性，这令我感到欣慰。

当讲到市场趋势的持续时间也遵循波浪规律时，还有很多巧合之处值得一提。

波浪持续时间

在对波浪理论的基础进行分析讨论时，不同级别的波浪构成，与斐波那契动态对称求和数列的数字不谋而合。这一数列不断重复，具体如下：1, 2, 3, 5, 8, 13, 21, 34, 55, 89, 144, 等。基于这一数列的波浪理论，对于识别和测量每个波动，以及每个波动的幅度是非常有用的，同时，它也可以用于预测不同时间周期（天、周、月或年）的波浪持续时间。

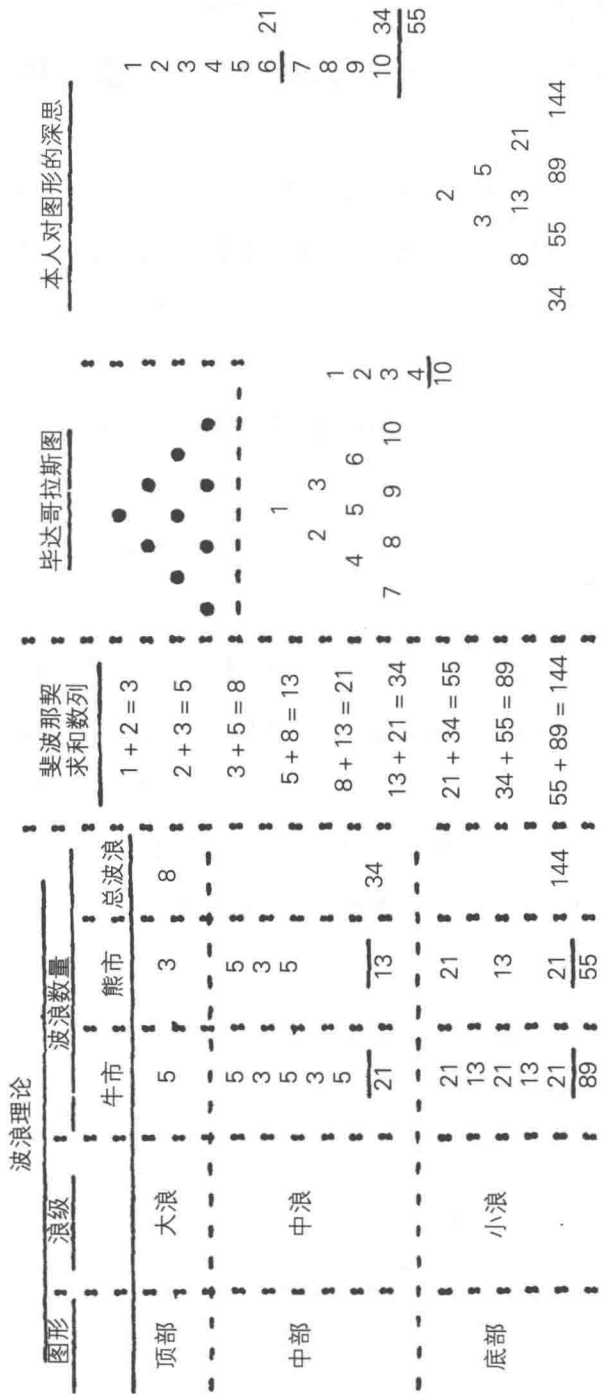


图2



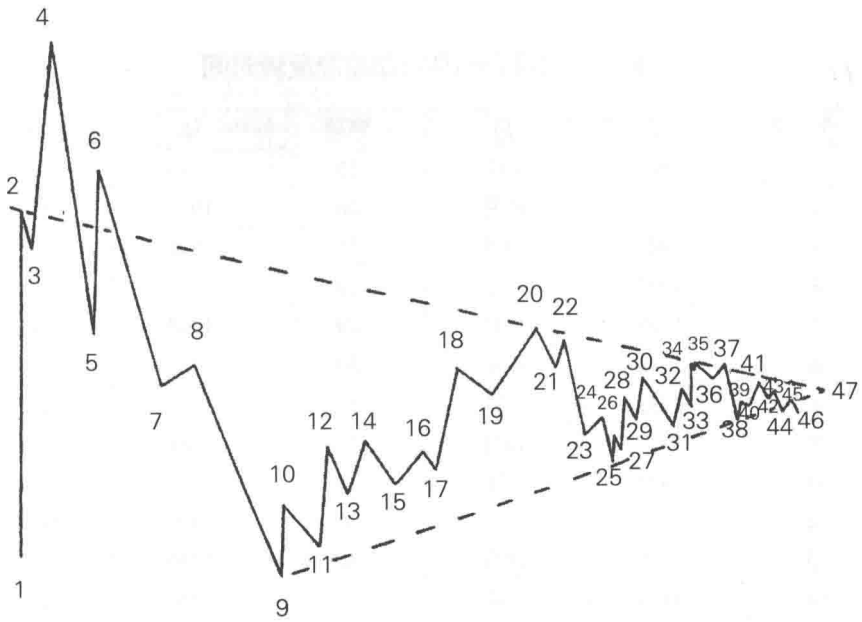


图3

将持续时间与波浪理论结合起来的一个典型案例，是1921年8月至1941年5月纽约时报成分指数（由50种股票构成），我们用算术刻度绘制出这段时间的市场波动图。表一是这二十年期间各波浪的反转时间，表二是拐点之间的持续时间。

波浪持续时间也可以结合波浪分析方法，应用到其他指数，例如图4中的公司债券价格的波动趋势。数字13、21和55代表了波浪的持续月数，如图中箭头所示。（长期政府债券在1932年1月至1939年6月走出了五浪牛市行情走势。）

在研究波浪持续时间的时候，需要注意的是，一轮波浪循环可能会开始和结束于某个月的月初、月中或者月末，所以，当我们使用与月份数列等值的天数或周数来预测波浪的持续时间时，可能会与波浪持续的实际月份时间存在一定的出入。

表一 1921—1941年波浪反转时间

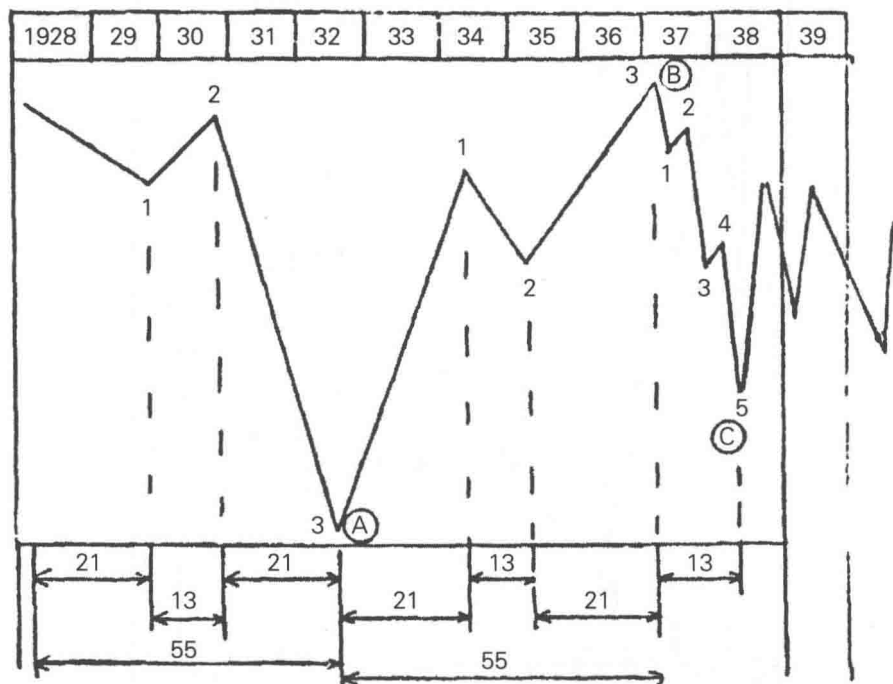
序号	年	月	序号	年	月
1	1921	8月	25	1938	3月
2	1928	11月	26	1938	4月
3	1928	12月	27	1938	5月
4	1929	9月	28	1938	7月
5	1929	11月	29	1938	9月
6	1930	4月	30	1938	11月
9	1932	7月	31	1939	4月
10	1932	10月	32	1939	8月
11	1933	2月	34	1939	9月
12	1933	7月	35	1939	10月
13	1933	10月	36	1940	1月
14	1934	2月	37	1940	4月
15	1934	7月	38	1940	5月
16	1935	6月	39	1940	6月
17	1935	3月	40	1940	8月
18	1935	11月	41	1940	11月
19	1936	4月	42	1940	11月
20	1937	3月	43	1941	1月
21	1937	6月	44	1941	2月
22	1937	8月	45	1941	4月
23	1937	10月	46	1941	5月
24	1938	2月	47	1941	10月

表二 拐点之间的持续时间

起始数字		持续时间		起始数字		持续时间
从	至	月	年	从	至	月
1	2	89		20	23	8
1	4		8	20	24	
2	47		13	20	25	13
3	4	8		20	47	55
4	9	34		23	24	5

续表

起始数字		持续时间		起始数字		持续时间
从	至	月	年	从	至	月
4	47	144		25	30	8
5	6	5		30	31	5
9	12	13		31	34	5
9	20	55		35	36	3
12	15	13		35	47	
20	25	13		36	37	3
20	21	3		37	46	13
20	22	5		41	46	5



(1940年10月1日)

图4

第2章 市场低迷——原因和结束 (1941年8月11日)

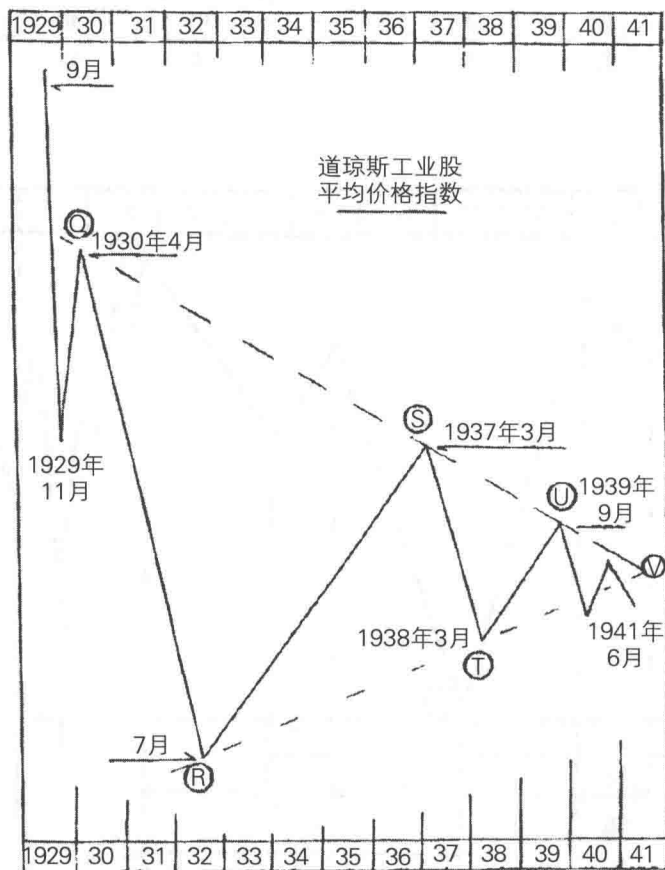


图5

纽约证券交易所的年交易量持续五年出现下滑，从1939年10月开始，市场低迷成为了股市的代名词。造成市场低迷的原因可以追踪到波浪循环运动带来的影响，也可以用量化的方法进行测量。投资者的市场行为随着价格趋势波动的长短出现成交量放大或者收缩走势。价格趋势波动越长，公众对股票的兴趣越高，交易量就越大，反之亦然。最近几年，价格走势的波动趋势变得越来越短，市场呈现出三角形波动形态的特点。

图5展示了道琼斯工业股平均价格指数月线波动走势图，清晰地解释了由于市场缺乏信心，市场反应冷淡的情况。两条虚线分别为Q—V（连接1930年4月、1937年3月和1939年9月的高点所画出的虚线）和R—V（连接1932年7月和1938年3月低点所画出的虚线），它们形成了一个巨型三角形区域。在这个三角形区域内，每次完成的波动按照0.618的比率逐渐收窄，无论是幅度还是持续时间。

三角形轮廓也称为“比例三角形”，与我的著作《波浪理论》中所描述的“三角形波浪”在主要内容方面有所不同。比率0.618以及其倒数1.618，来源于圆周与直径的比率，或者说是3.1416。这一比率同时也是斐波那契求和数列的基本特征，该数列在数字计算上与波浪理论的基础相同。两者之间的相同点在“波浪理论的基础”一章中已经全面阐述了。在斐波那契数列中，每个数字与下一个数字之比以及其倒数数值，在下表中给出：

相对比率表

首项				第二项	比率	倒数比率
2	+	3	=	5	0.60	1.67
3	+	5	=	8	0.625	1.60
5	+	8	=	13	0.615	1.63
8	+	13	=	21	0.619	1.616

续表

首项				第二项	比率	倒数比率
13	+	21	=	34	0.617	1.62
21	+	34	=	55	0.618	1.618
34	+	55	=	89	0.618	1.618
55	+	89	=	144	0.618	1.618

这些比率和数列一直以来都控制并且限制了价格趋势的波动幅度和持续时间，从不受战争、政治、生产指数、货币供给量、总购买力以及其他人们认为决定股票价值因素的影响。下表给出了1930年4月以来重要的市场波动情况，能够充分证明上述结果的准确性。

波浪循环的相对波动

波浪序号	日期		指数点位		变动	比例
	从	至	从	至		
R	1930年4月	1932年7月	296.0	40.5	255.5	
S	1932年7月	1937年3月	40.5	196.0	155.5	$155.5/255.5=60.9\%$
T	1937年3月	1938年3月	196.0	97.0	99.0	$99.0/155.5=63.6\%$
U	1938年3月	1939年9月	97.0	158.0	61.0	$61.0/99.0=61.6\%$
						平均值62.0%

这一特征表明，时事和政治对市场波浪循环没有影响。

这一市场表现的原因，是三角形内各个子浪之间的相关性，我们可以这样认为，当市场快速运行到三角形顶点附近的时候，意味着未来相对长的时间内，股票市场将更加活跃。

借助于波浪理论，我们通过五个测量方式（波浪循环趋势比率、波浪运动的相对持续时间、波浪的波动幅度、三角形的数学性质以及斐波那契求和数列），可以发现长达13年的调整浪的走势即将达到顶点。

第3章 美国历史上的两大波浪循环（1941年8月25日）

1776—1857年，持续81年

1857—1941年，持续84年

现存最早的股票记录数据为埃克斯—霍顿指数，可以追溯到1854年。从1854年到1929年9月的长期市场波动期间，最重要的“变化”特点都在下页的图中呈现出来。1857年至1929年的波浪可能是循环浪的浪1、浪3或者浪5，这要看1854年之前的国家发展情况。然而，有足够的理由相信，1857年至1929年走势属于浪3。第一，这一近80年的时间内，连接了美国革命、内战和第二次世界大战（过去十年正在进行中）。第二，市场从1929年开始形成了一个巨大的13年的三角形形态走势，波动幅度如此之大，以至于这些行情糟糕年份完全可以被归到循环浪的浪4。第三，我观察到的情况是，标准的三角形态仅出现在一个循环中的第四浪。

为了了解这个三角形态被视为浪4的原因，有必要对过去几年，尤其是1921年至1929年那段强有力的波浪运动进行回顾。因此，我们把关注点放在第五浪上。正如埃克斯—霍顿指数图所示的，这一波浪从1906年运行到1929年。第五浪或者也称为e浪，从1921年持续到1928年11月的常规顶部，该浪可以进一步细分。在我之前的文章里这种形态被称为“半月形形态”。这轮波动是极具动能的，伴随着快速、成交量放大和剧烈波动。此外，它也是1857年以来长期波浪循环的冲顶阶段。

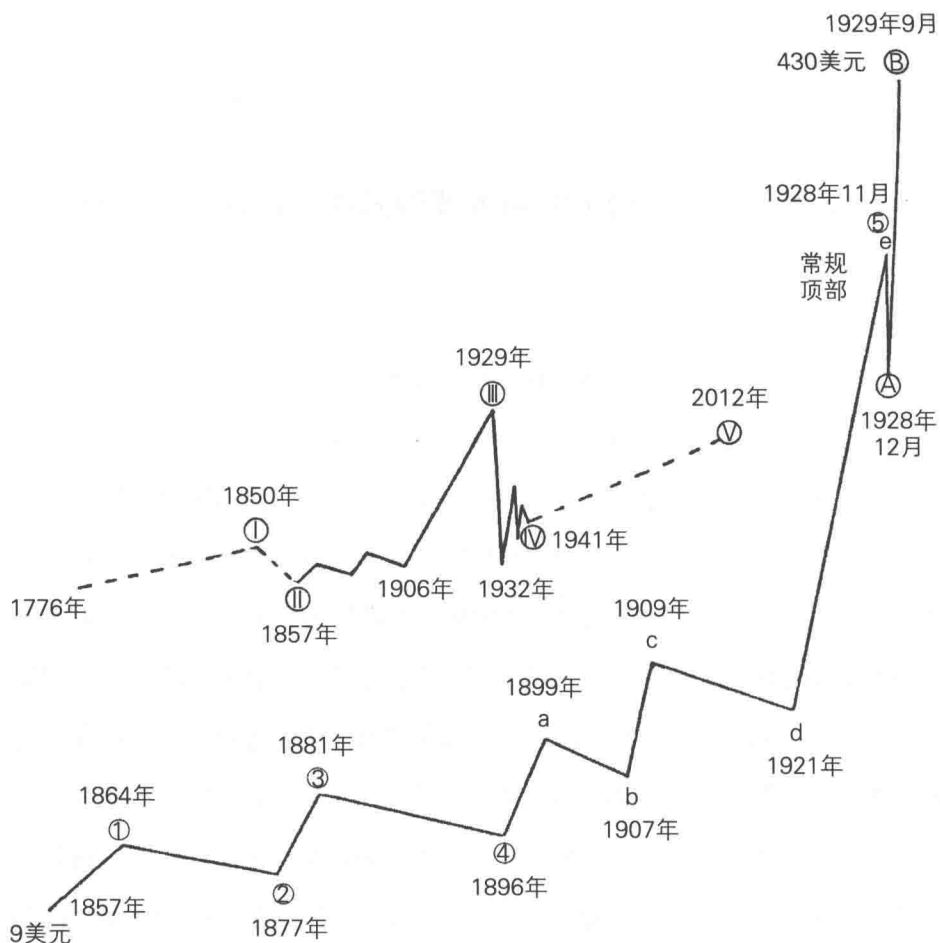


图6

诸如1857年至1929年的循环，其中包含了1921年至1929年如此狂热的波动阶段，必然要求进行大级别的修正，不仅从价格波动的角度，而且从广度或者持续时间角度都是如此。某一方向上的快速波动走势往往会导致随之而来相反方向的快速波动。波浪运动的内在能量，将延伸到后续波动中。类似的，波动幅度、持续时间和交易量特征，在一轮又一轮的市场波浪循环中都是相互呼应的。综上所述，1857年至1929年这轮运动必然发生的大级别调

整浪，波动幅度会越来越短，波动速度和成交量会逐渐放缓。大自然颠簸不破的比例，使得波浪与波浪之间0.618的比率不断在市场重演。从1928年（以及从1930年4月）开始的整个波动形成了一个巨型三角形走势，该三角形可以被认定为从1776年以来一轮波浪循环的第四浪。

三角形形态之中的波浪⑤不断推进，它的终点无论是落在三角形内还是在三角形之外，都标志着13年糟糕市场的三角形调整浪最终结束了。三角形形态的结束同时也标志着一轮新的循环浪V浪走势的开始（由一系列更低级别的波浪循环所组成），循环浪V浪的走势在很多方面可以与1857年至1929年那段长期波浪循环进行对比。循环浪V浪预期将在2012年达到顶点。（参见图6中的虚线。）

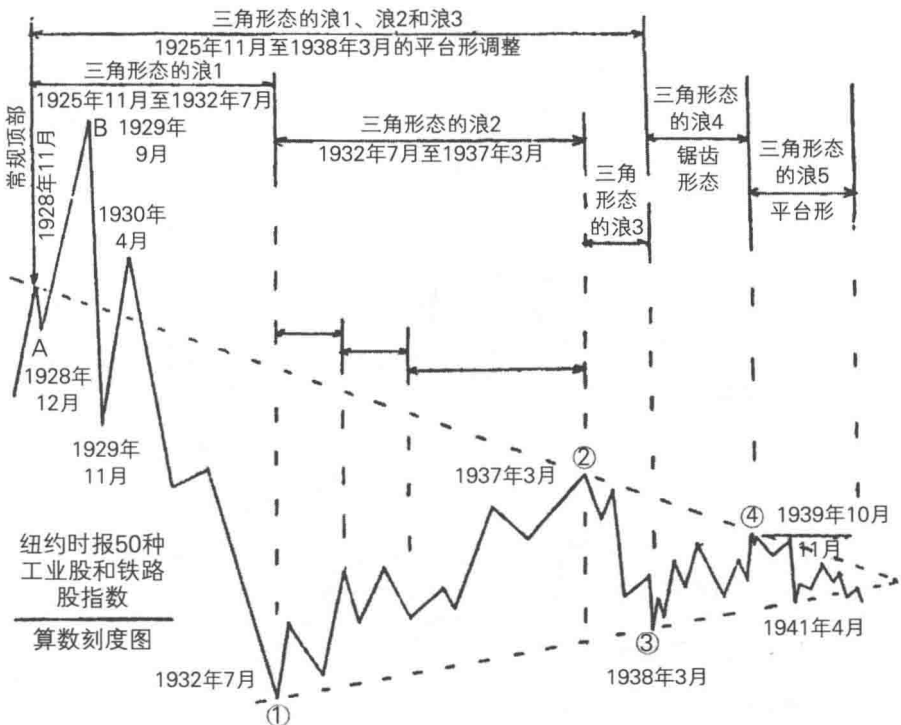


图7

第4章 市场未来走势（1942年10月26日）

过去21年的形态走势（1921—1942年）可用作预测未来70年走势的基础，也可以用于预测1776年至1850年的走势。

下面第1个图涵盖了1776年至2012年整个期间，呈现出不同级别的五浪走势。一个波浪循环总是由五个上升浪和三个下跌浪所组成，无论波浪级别或者规模如何。

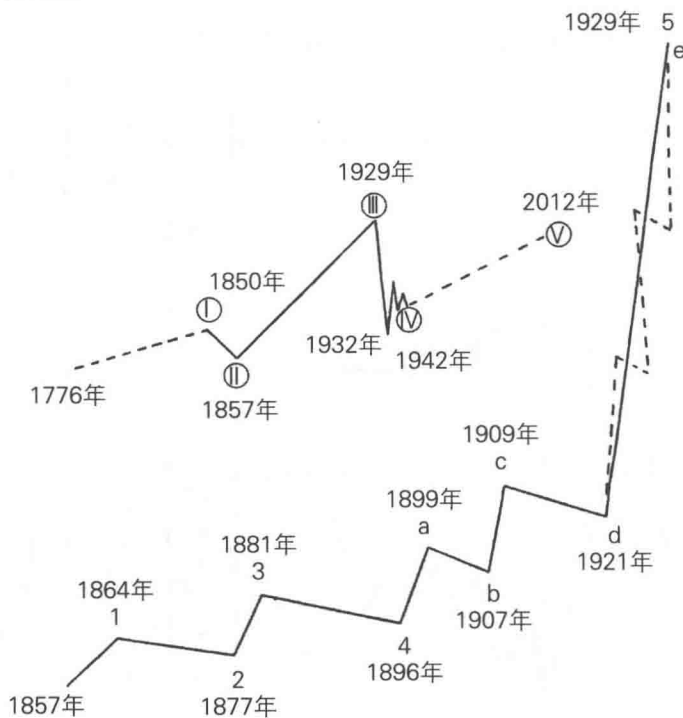


图8

第二浪和第四浪都是调整浪。三角形走势形态可以作为第四浪出现，但是据我所观察，三角形走势形态从来不会在第二浪出现。因此，从1929年到1942年的走势形态为超级循环的⑩浪。⑤浪即将开始，并且根据⑩浪的持续时间（1857年至1929年），将于2012年结束。

既然已经确立了⑩浪开始于1929年，那么⑩浪显然也会结束于同一年。第1个图中的⑩浪，从1857年持续到1929年，这一段波浪在第2个图中详细呈现出来，图中使用的是埃克斯—霍顿指数。

图8中偏下方那幅图，第五浪开始于1896年。第五浪进一步细分为五浪走势，细分的第五浪，开始于1921年，呈现出延长浪的走势。延长浪在一个循环内不会出现两次。因此从1942年至2012年，此类等级的延长浪不能出现。毫无疑问的是，1850年之前的①浪中并没有出现延长浪，该期间没有任何数据记录。正是综合考虑了上述因素，图8中偏上方那幅图中的两条虚线，1850年之前和1942年之后的市场判断，都是合理的结论。

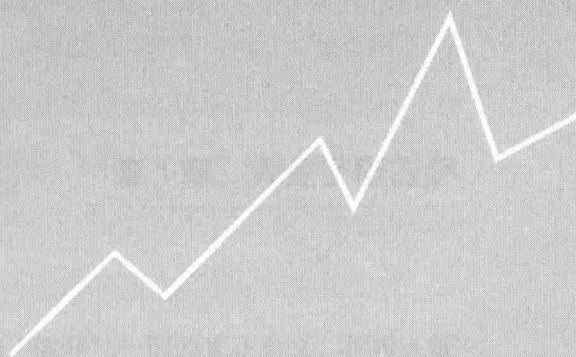
图8中偏上方那幅图，⑤浪将走出三个牛市行情和中间两个熊市行情。若从百分比来看各个子浪的波动幅度，以及交易量情况，将与1857年至1909年的波浪走势及其相似。当前在世的人，恐怕是见不到新世纪像1920年代那样规模的牛市了。

全国最低交易手续费免费办理国内正规商品股指原油期货开户 零佣金 不限资金量和交易量直接申请交易所手续费
任何地方费用比我们低 10倍赔偿差价 客服微信/QQ：958218088 期货开户和书籍下载请进：<http://www.7help.net>

第四篇

Nature's Law
—The Secret of the Universe

自然法则
——宇宙的奥秘



在《自然法则》中，作者以通俗易懂的语言，深入浅出地阐述了自然法则的奥秘。作者指出，自然法则是一种普遍存在的规律，它贯穿于宇宙的每一个角落。作者通过大量的实例，证明了自然法则在自然界、人类社会以及金融市场中的广泛应用。作者认为，掌握自然法则，可以帮助我们更好地理解世界，把握机遇，实现财富的增值。

作者指出，自然法则是一种普遍存在的规律，它贯穿于宇宙的每一个角落。作者通过大量的实例，证明了自然法则在自然界、人类社会以及金融市场中的广泛应用。作者认为，掌握自然法则，可以帮助我们更好地理解世界，把握机遇，实现财富的增值。

全国最低交易手续费免费办理国内正规商品股指原油期货开户 零佣金 不限资金量和交易量直接申请交易所手续费
任何地方费用比我们低 10倍赔偿差价 客服微信/QQ：958218088 期货开户和书籍下载请进：<http://www.7help.net>

第 1 章 大金字塔吉萨

很多年以前，我就已经致力于探究“循环”一词的真正含义，但没人能给出确切定义。在好奇心的驱动下，我开始研究图形，发现了价格波动存在某种特定的规律（正如1938年我所出版的《波浪理论》中所揭示出来的）。后来我发现我的理论基础正好是大金字塔吉萨设计者所熟悉的自然法则，大金字塔吉萨建造于5000年前。

在埃及和其他地区有很多金字塔，但吉萨是历史最为悠久的一座，是唯一一座蕴藏符号的金字塔。其他后续建造的金字塔都是用做王室及家属遗体的地穴。早在公元前820年，土耳其的哈里发（伊斯兰政治、宗教领袖的称谓）阿卜杜拉·马蒙，曾经错误地猜测金字塔吉萨安放了埃及前法老遗体，塔内可能存放大量金银财富。这证明即便是在那么早的年代，吉萨的符号也是不为人知的。吉萨的建筑时间不仅是在文字出现之前，还是在象形文字出现之前。象形文字出现在其他金字塔内，但未在吉萨内发现。

大量资金投入到了研究吉萨符号的含义上，尤其是在过去的50年内。在当今人们掌握的知识范围内，这些研究对它们的定义无疑都是正确的。对吉萨的多数研究都是相对较新的研究，这些研究表明吉萨所蕴含的科学符号具有某种超自然的含义，预示着历史上可能存在过一种文明，与当今人类文明相媲美甚至超越当今人类文明。很可能在西半球国家存在一种高度文明，尤其是墨西哥到阿根廷一带。《圣经》中曾经提到巨人的存在，最近发掘出来

的巨人，其下颞骨重达400—500磅。

据我所知，埃及考古学家忽略了大金字塔中所蕴含的某些特别重要的符号，例如金字塔高度与底边长度比为61.8%，金字塔高度为5813英寸。（注意斐波那契数和数列中的数字5、8和13）。埃及的长度计量单位就是我们今天所熟知的“英寸”。

金字塔的侧面轮廓看起来像是一个循环，由3条线组成的循环；在金字塔中，有5个平面，4个平面分布于金字塔周围，1个平面位于金字塔底部；从顶部可以看到8条线；平面和直线之和为13。

13世纪意大利数学家斐波那契在到访埃及之后，写出了如下数字序列：1, 2, 3, 5, 8, 13, 21, 34, 55, 89, 144……在这个数列中，任何相邻两项的和都是下一个更大的数，例如 $5+8=13$ 。任何一个数字与下一个更大数字的比率都是61.8%（数字较小时，比率结果略有偏差）。金字塔高度与底边长度的比率，揭示了一种支配整个数列变化的比率。

向日葵葵花籽排列在一系列曲线上，曲线之间彼此交叉，最多的交叉数量是144。144这一数字同样是股票市场（牛市和熊市）一个完整循环小浪的总数。这个数列还存在于人体、植物、生产活动、动物、音乐和人类活动的波浪中，包括股票市场。

公元前5世纪，希腊哲学家毕达哥拉斯在到访埃及之后，揭示了第二章将要展示的图表。

第2章 自然法则

自然法则至少在5000年前就为人所知晓。埃及在公元前1500年就已经非常繁荣了，是当今世界上最为古老的国家之一。埃及金字塔的修建时间至今不为人知。大金字塔吉萨至少修建于5000年之前。一些学者提出证据，证实大金字塔吉萨可能存在于挪亚修建方舟抵御洪水之前。也有其他学者坚信吉萨至今已有30000年的历史。

1945年12月3日出版的《生活》杂志上，有一篇有趣的文章，题目为“金字塔的建造”。贝尔·戈迪斯给出了金字塔在它不同建造阶段的模型，并展示了它们的图形。该报告被大英百科全书收录。报告称建造金字塔所使用的材料总重量为3277000吨，而世界上最高的建筑美国帝国大厦所使用的材料总重量也不过305000吨。

金字塔的设计者和建造者，运用他们惊人的智慧、技巧、时间和劳动，塑造了一个永恒的建筑符号，彰显出想要传递给后人的深刻含义。那一时代还没有出现文字和象形文字，因此这些符号是唯一的记录方式。

几个世纪以来，尤其是最近几年来，人们对金字塔进行了广泛而深入的研究。据我所知，埃及考古学家可能忽略了一个极为重要，或许是最为重要的符号。我指的是金字塔吉萨的外部线条轮廓。

毕达哥拉斯是公元前5世纪著名的希腊哲学家。早期百科全书对他的活动有过翔实的记载。大英百科全书展示了一个图形和神秘的标题，或许这是

他所留下的仅有的记录。这一记录完成于毕达哥拉斯回到希腊之后。图形和标题如图1所示。一个合理的推断是，该图形指代的是一个金字塔。

大金字塔吉萨最早的测量结果为：底边长度783.3英尺，高度484.4英尺，比例为61.8%。高度484.4英尺，相当于5813英寸。

从金字塔的任何一个侧面来研究它，都能够看到3条线。图2中的图形为完整的循环。从金字塔四个角的任何一角观察，都能够看到5条线。一个金字塔具有5个平面——4个位于地面之上，一个在底部。从顶部俯视，金字塔具有8条线，如图4所示。

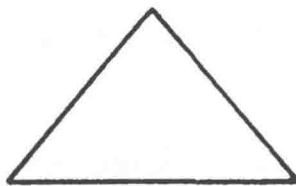


图1 宇宙的奥秘

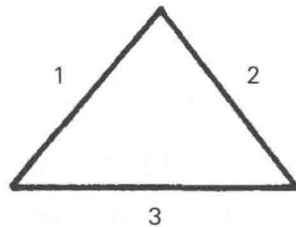


图2

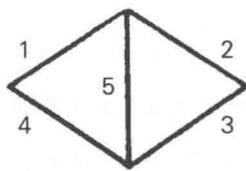


图3

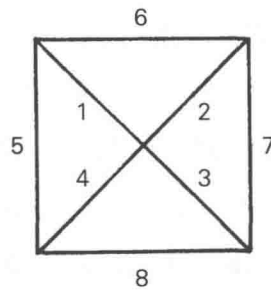


图4

斐波那契是公元13世纪著名的意大利数学家。在当时，斐波那契以另外一个名字列奥纳多·达·比萨而闻名。他曾游历过埃及和希腊，在回到意

大利之后，写出了著名的数列。该数列为：1, 2, 3, 5, 8, 13, 21, 34, 55, 89, 144……

在这个数列中，任何相邻两项之和都是下一个更大的数字，例如 $5+8=13$ 。任何一个数字与下一个更大数字的比例都是0.618，例如 $8/13=0.618$ 。任何一个数字除以前面更小数字的结果都是1.618。数字较小时，比值略有误差，但接近该结果。为了简化小数点位数，在下文我将0.618简化为0.62，将1.618简化为1.62。

注意该数列开始的5个数字，1, 2, 3, 5和8在金字塔图形中得到了完美的展示。

已故美国艺术家杰伊·汉比奇（Jay Hambidge）在到访埃及、希腊和意大利之后，创作了十分重要和有趣的著作。在得到耶鲁大学出版社授权许可之后，我引用了杰伊·汉比奇著作《动态对称的实际应用》的27至28页。

植物学家使用向日葵花盘，作为叶子排列规律的一般解释。它在二维空间中展示出此现象。葵花籽在向日葵花盘中分布在菱形的孔内，这些孔构造形成了有趣的曲线结构，形态类似于手表上老式装饰雕花。这一曲线形态是葵花籽排列的有趣特征。

首先，弯曲结构是一个曲线类型。事实上，它与贝壳生长纹路十分相似。它的形态规则，具有特定的数学特性。这些特性是向日葵自然生长的必然结果，将在本文中得到详细解释。

其次，测算这些曲线的数量，可以发现，一个正常的5—6英寸直径的向日葵花盘曲线数量为89。向一个方向发散生长的曲线是55条，另一方向是34条。就是说，正常的向日葵花盘是55条曲线和34条曲线交叉。这些数字被标记为 $34+55$ 。在茎部顶部的第一朵朵朵之下，一般是尺寸较小的第二朵花，曲线交叉数量一般为 $21+34$ 。茎的更低部分可能会有后期生长出的第三朵花，

这些曲线交叉数量为13+21。

在英国牛津，人们已经培育出不规则花盘的向日葵，曲线交叉数量从34+55增加到55+89。此研究课题上著名的权威教授，阿瑟·H·丘奇（Arthur H. Church），告诉我们牛津已经培育出来一个巨型花盘，其曲线交叉数量为89+144。

在向日葵花盘葵花籽的周围，长着小花，均匀排列。和葵花籽一样，这些小花的排列也呈现出曲线的交叉状态，它们的曲线数量一般是5+8。

如果我们从向日葵的茎的最底部开始，向上数一数其叶子的数量，直到花盘截止。我们很可能发现，沿着茎弯曲而上，某片与第一片叶子相重叠的叶子之间，其叶片数量与花柄的旋转数量在每片叠加叶子之间保持不变。这一数量表明，叶子曲线交叉的数量与葵花籽和小花同处于相同的数列之中。

我们上面所提到的数字属于求和数列的研究范围，之所以称之为求和数列是因为数列的每个数字都是前两个数字之和。这一数列为1, 2, 3, 5, 8, 13, 21, 34, 55, 89, 144等，数列每个数字都可以通过前两个数字相加得到。

如果我们任取该数列中的两个相邻的数字，用其中一个数字除以另外一个，例如34除以55，我们可以得到一个比率，这一比率在整个数列中都是固定不变的。换句话说，任何一个较小数字与相邻较大数字的比率都是一个固定的值。该比值为0.618，是个无限不循环小数。如果我们用大数除以小数，用55除以34，我们将得到1.618。需要注意的是，这两个结果的差异是1，这通常被人们称为单位数字。

另外需要注意的是，当我们进行这些计算时，会出现微小误差。原因在于该数列在用整数表示时不是十分精确。可能会出现很小的误差。但由于该误差在植物生长过程中处于可观测的范围之内，因此整数也是可以经过反复验证的。

极为巧合的是，1.618或者0.618这一比例正是让古希腊人着迷的比率，因为他们从不怀疑这一比率与植物的生长结构密切相关。古希腊人将其称为“极端”或者中值比率。

在中世纪时代，这一比率被称为神圣分割，近代被命名为黄金分割。

根据我的经验，数字144是最具实用价值的数字。在股票市场完整的循环中，小浪的总数是144，如下表和第四章图7所示。

波浪数量	牛市	熊市	合计（完整循环）
大浪	5	3	8
中浪	21	13	34
小浪	89	55	144

这些数字都是斐波那契数字，整个数列得到了应用。波浪的长度可能会有所不同，但波浪数量保持不变。注意下列数列中的斐波那契数字：

——人类身体遵循数字3和5的规律。从躯干开始，有五个突出部位——头、两只手臂和两条腿。每条腿和每只手臂可以进一步细分为三个部分。腿和手臂分别有五个脚趾和五个手指。脚趾和手指（除了大拇指和大脚趾外），可分为3个部分。我们人类具有五个感观。

——猴子和人类情况基本相同。有一点稍微不同，猴子的手脚，就是说猴子的大脚趾和大拇指相同。大多数动物从躯干开始都有五个突出部位——头和四条腿，合计数量为5。鸟类躯干有五个突出部位——头、两脚和两个翅膀。

——音乐：最好的实例是钢琴的键盘。“八度音阶”代表数字8。每个八度音阶由8个白键和5个黑键所组成，总数合计为13。

——化学元素：世界上大约存在着89种元素。

——颜色：有3原色。3原色混合可以呈现出其他所有颜色。

各种观察到的现象

——西半球由三大洲所组成，北美洲、中美洲和南美洲。

——西半球有21个共和国，所有这些国家都是泛美联盟成员国。北美洲由三个国家所组成，分别为加拿大、墨西哥和美国。南美洲由10个共和国和3个欧洲殖民地所组成，总数为13。中美洲曾经达到巴拿马运河，由5个共和国所组成。

——美国最初由13个州所组成。今天美国由55个分支组成，分别为：48个州、哥伦比亚地区、菲律宾、巴拿马运河区域、波多黎各、阿拉斯加、夏威夷群岛和维京群岛。

——在独立宣言中，有56个签名。最初的总数是55，最后一个是后来添加进去的。

——联邦政府的主要分支机构：3个。

——军队的最高礼仪：21响礼炮。

——投票选举年龄限制：21岁。

——美国人权法案包括：13个要点。

——国旗的颜色：3个。

——华盛顿特区的华盛顿纪念碑（奠基石安放时间为1848年7月4日）：

总成本 1,300,000美元	13
纪念碑碑身高度500英尺	5
拱顶石高度55英尺	55
底部面积，55平方英尺	55
顶部长度，34英尺	34
底座台阶：	8

窗户（每侧两扇）

8

拱顶石呈金字塔形式，底部为34平方英尺，高55英尺（比率为0.618）。

——轴心国由3个成员国组成。德国先后迅速占领了13个国家，在征战第14个国家俄国时受阻。墨索里尼作为独裁者统治了21年。

——在1852年，美国海军准将佩里对日本进了友好访问，并约请日本天皇放弃闭关锁国。55年后的1907年，日本对美国构成了严重的威胁。34年后的1941年，距离1852年过了89年，日本袭击了珍珠港。

第3章 人类活动

“人类活动”这一说法包括的项目有：股票价格、债券价格、专利、黄金价格、人口、城市和农村之间的人口流动、商品价格、政府支出、生产活动、人寿保险、发电量、汽油消费、火灾损失、股票交易所席位价格、流行病以及房地产等。人们最感兴趣的是证券的价格，每个人至少都要有所了解。

未雨绸缪是理所当然的。一些改进措施，如建筑施工、保护项目、道路、桥梁、工程和住房等，应在循环周期的底部介入，从而保证雇主和劳动力的低成本。经济领域的波动，如地球旋转一样，是永无止境的。

第4章 人类活动特性

所有的人类活动都具有三个显著特征——形态、时间和比率——所有这三个特征都遵守斐波那契数列。一旦能够对波浪进行解读，此知识就可以应用到任何波动中，相同的规则可以应用到股票、债券、谷物、棉花、咖啡价格以及所有其他上文提及的活动中。

三个特征要素中最为重要的要素是形态。一种形态总是在形成的过程中。通常情况下，研究者能够提前判断出形态的类型，这往往需要知道先前的形态是什么，关于这点，参见第8章中的交替规则。

图5至图7展示了股票市场中一轮完美的波浪循环。股市主要分为牛市和熊市。图5将牛市进一步细分为5个大浪，将熊市细分为3个大浪。图6所示的牛市图形将大浪1、大浪3和大浪5分解成5个中浪。图7将中浪①、③和⑤分解为5个小浪。

在图5中，熊市被分解为用字母A、B、C表示的3个大浪。在图6中，下跌浪A和C被分解为5个中浪，上涨的波浪B被分解为3个中浪。在图7中，中浪分解为5个小浪。

换句话说，熊市反过来就是牛市，只不过熊市里有3个逐渐走低的大浪，牛市中有5个逐渐走高的大浪。牛市和熊市中的调整浪是学习难点。

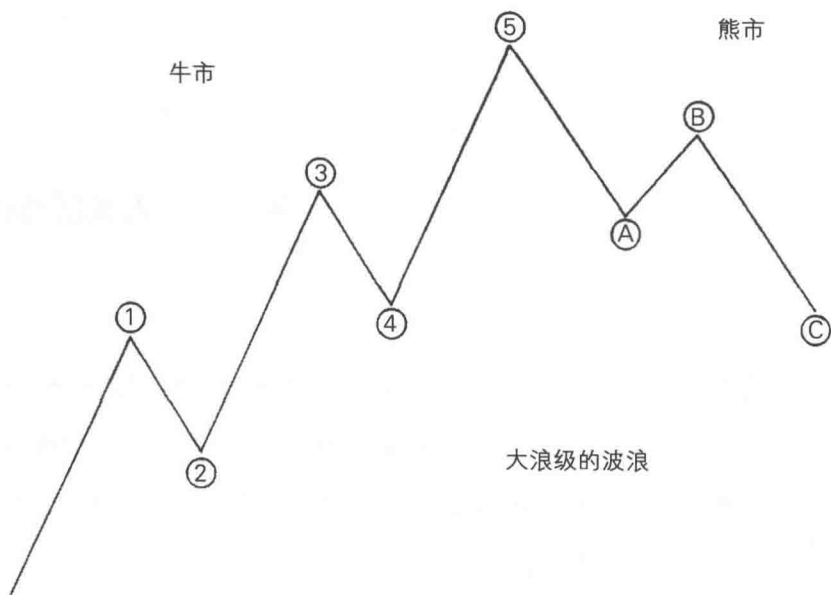


图5

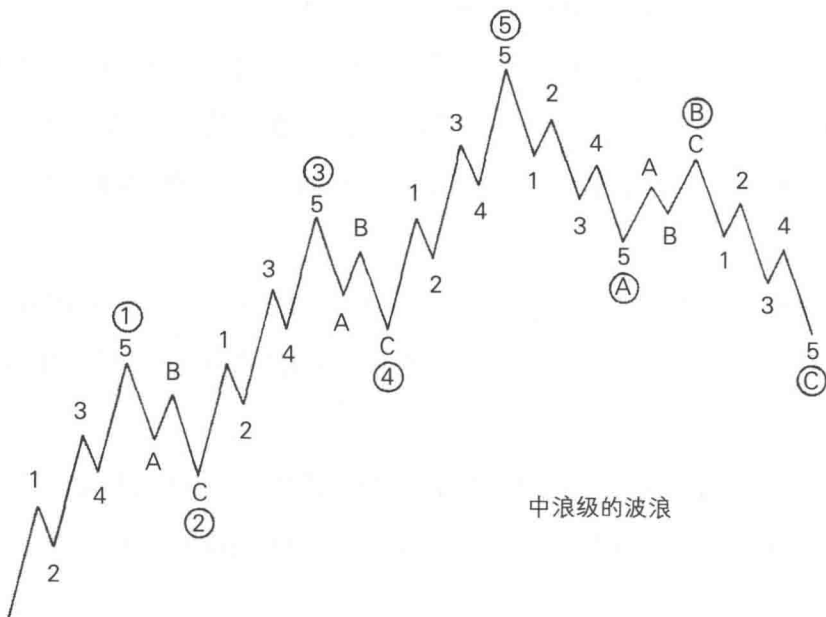


图6

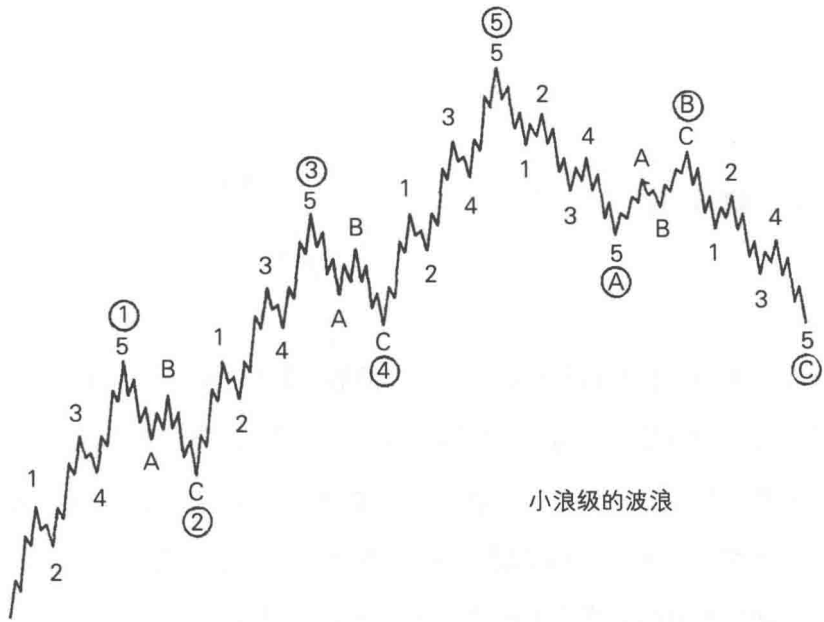


图7

由于波浪理论具有原创性，因此有必要提出新的概念来定义它们。为了解释不同的波浪形态，我们画出了不同波浪级别的图形，“波浪级别”表达出了波浪的相对重要性。例如，“大浪”级别指的是图5中的这些波浪。“中浪”级别指的是图6所示的波浪。“小浪”级别指的是图7所示的波浪。参见第2章所提到过的，大浪、中浪、小浪的波浪数量。

第5章 调整浪

不论调整的方向和规模如何，调整浪的形态都是相同的。在牛市行情中，调整浪是下跌或者是横盘运动。在熊市行情中，调整浪是向上或者横盘运动。在牛市和熊市中，我们都可以绘制调整浪图形。本章的前面几幅图形属于上攻行情的调整浪。随后几幅图属于下跌行情的调整浪，图形发生了“倒置”。因此，只要在本书后面章节出现“倒置”一词，它都是指下跌行情的调整浪。

在图5、图6和图7中，需要注意的是，图形中存在着3个级别的波浪：大浪、中浪和小浪。同理，调整浪自然也有三个级别。

调整浪有三个类型：锯齿形、平台形和三角形。

锯齿形态

图8、图9和图10展示的是牛市上攻行情的调整浪。

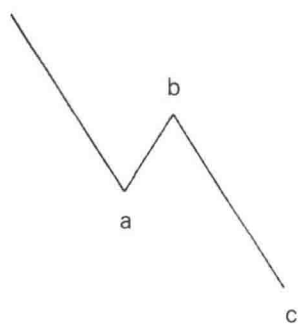


图8 小浪

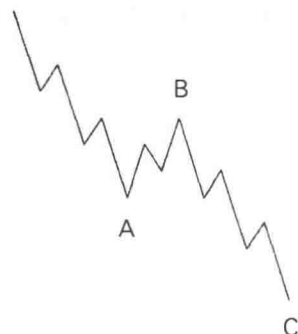


图9 中浪

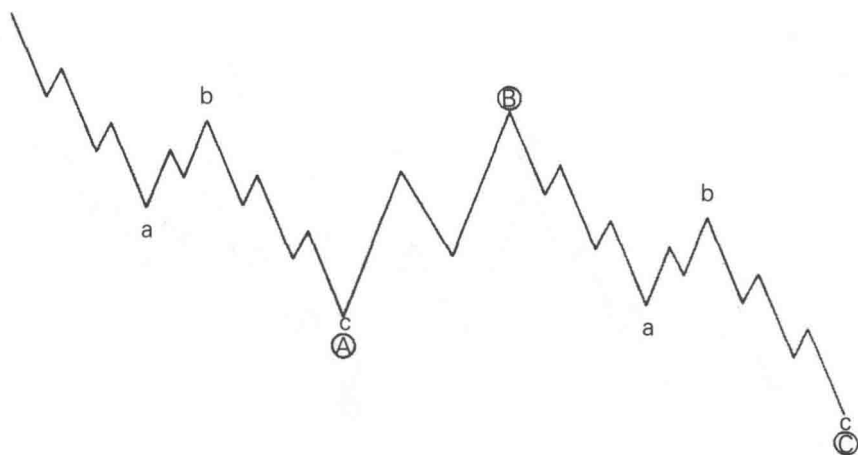


图10 大浪

图11、图12、图13，展示的是倒置（熊市下挫行情的调整浪）。

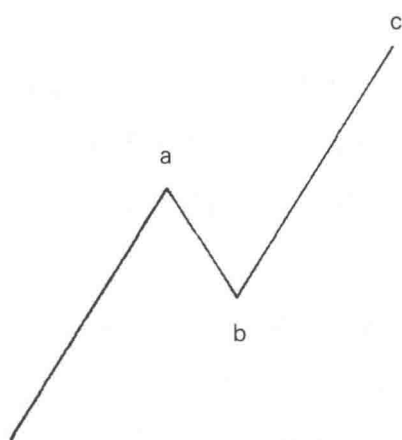


图11 小浪

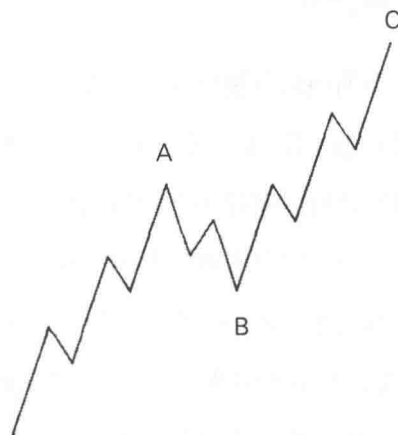


图12 中浪

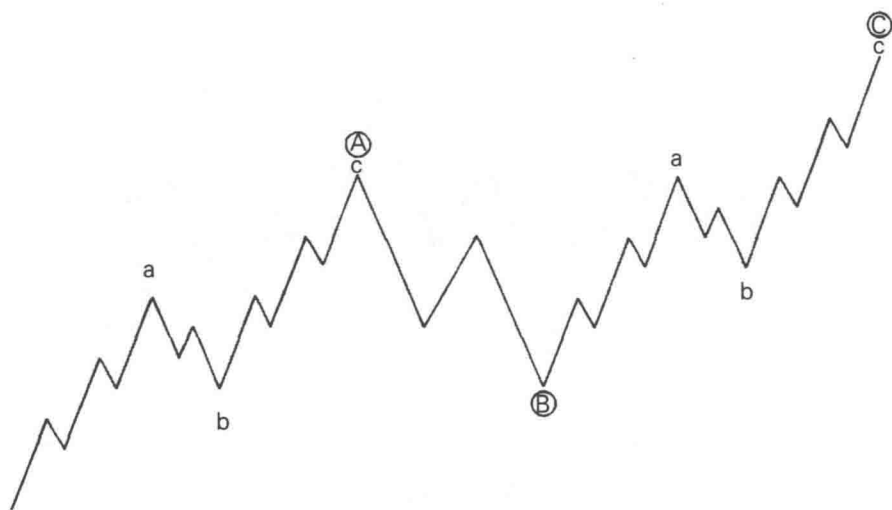


图13 大浪

平台形

下列图形分别展示了小浪、中浪和大浪三个级别的平台形调整浪，既有普通形态（图14、图15和图16），也有倒置形态（图17、图18和图19）。这些图形之所以被称为平台形调整浪，是因为它们的足迹通常比较平缓。有时候，会出现向上或者向下的倾斜。

事实上，我们可以将其称为“3-3-5”形态，是一个三浪形态，即A、B和C浪，而牛市中波浪1、2、3、4、5的形态是“5-3-5-3-5”。

人体结构呈现出的形态是“5-3-5-3”。躯干有5个突出部位（头、两个手臂和两条腿），手臂和腿可以分为3个部分；手臂和腿的终点可以分为5个手指、5个脚趾；每个手指和脚趾可以再次分为3个部分。

倒置的平台形调整浪，无论C浪是否出现延长浪，它都属于调整浪。可以仔细阅读本书第8章“交替规则”，从而了解什么时候C浪会出现延长浪。

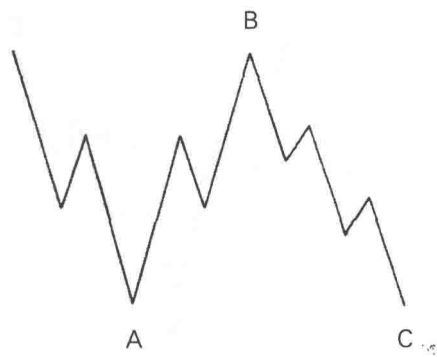


图14 小浪

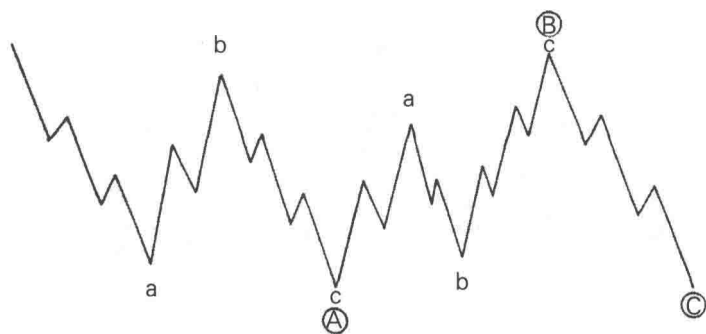


图15 中浪

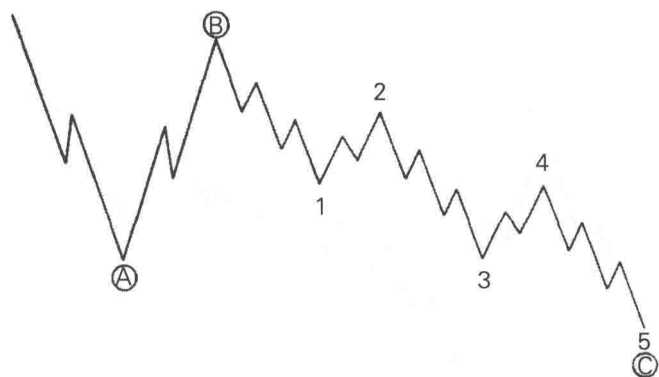


图16 大浪

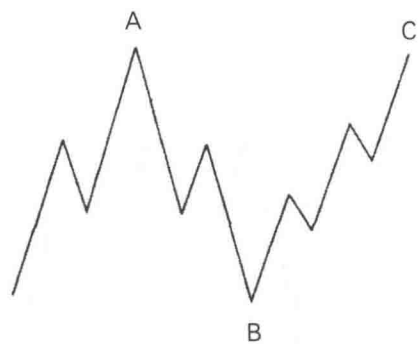


图17 小浪

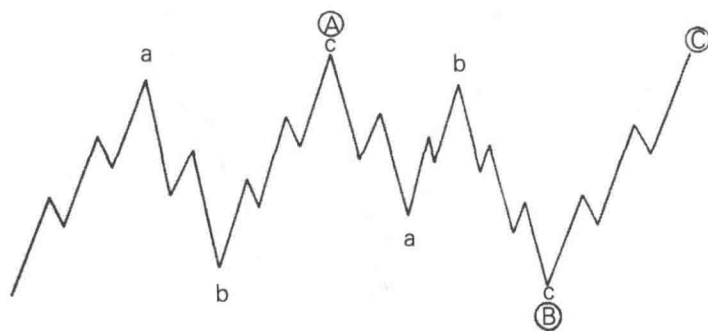


图18 中浪

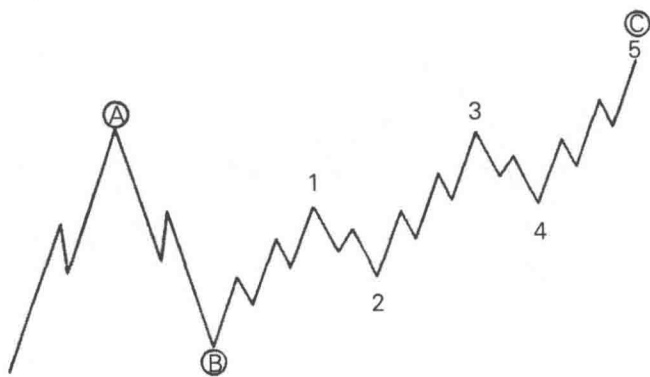


图19 大浪

复杂调整浪

小浪调整波动由3个下跌波所组成，如图20和图21所示。

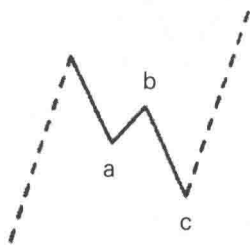


图20

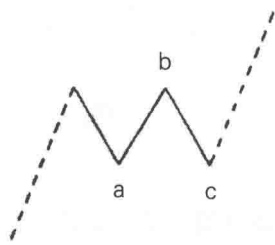


图21

双重横盘波动调整浪由7个波浪所组成，如图22所示。三重横盘波动调整浪由11个波浪组成，如图23所示。

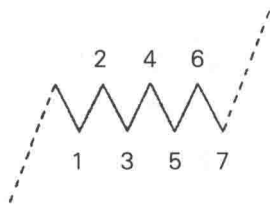


图22

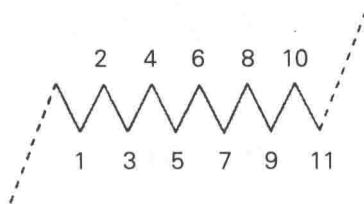


图23

换句话说，对于一段上涨走势的横盘调整浪总会以一个下跌波浪结束，不论它是由1个、3个、7个还是11个波浪组成。这些波浪的命名分别为：3个波浪为单个横盘调整浪（Single Three），7个波浪是双重横盘调整浪（Double Three），11浪是三重横盘调整浪（Triple Three）。

趋势向上的调整浪，其波浪数目与前述相同，如图24、25、26所示。

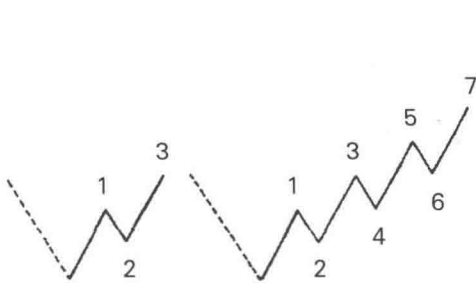


图24

图25

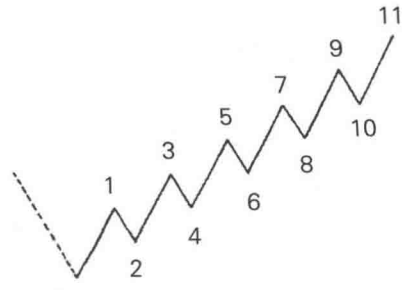


图26

有时候，调整浪会出现混合状态，即向上调整与横盘调整混合，或向下调整与横盘调整混合，如图27、28所示（双重横盘混合调整浪），图29、30所示（双重横盘调整向上浪）。

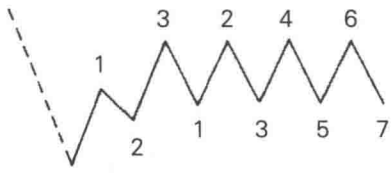


图27 向上

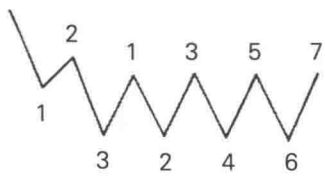


图28 向下

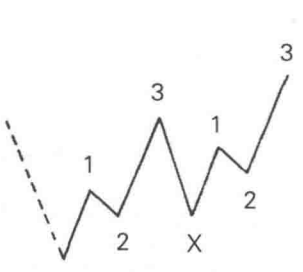


图29 向上

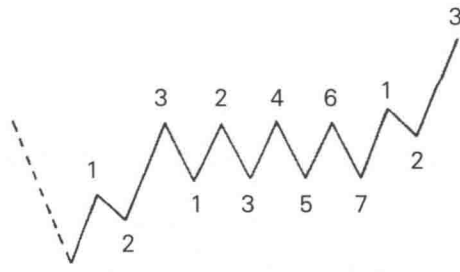


图30 混合

三角形态

三角形态由五个浪所组成，或者更准确地说，由五条腿所组成。在较大级别的波浪图中，每条腿由三个子浪所组成，如图31、32所示。

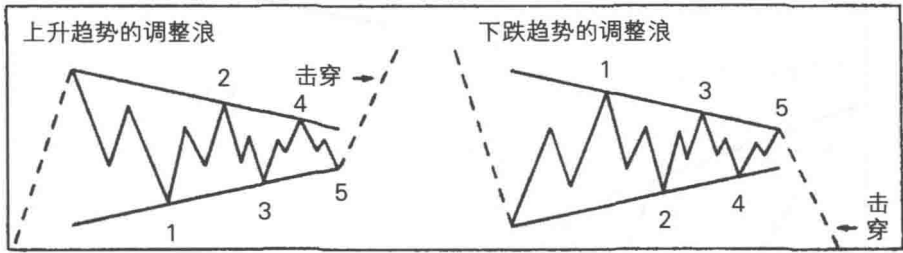


图31

图32

在中等级别的市场波浪情况下，第四条腿和第五条腿可能都会由一个波浪所组成，如图33所示。在较小级别的波动中，这些腿仅由一个波浪所组成。识别三角形调整浪的主要参考依据是它的轮廓，即连接高点和低点描绘出该轮廓的那两条直线。在第五浪开始之前，研究者往往不能确定一个三角形态正在形成当中。

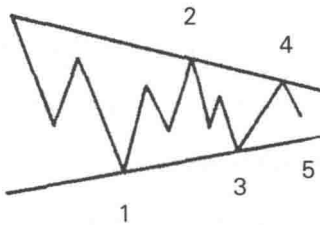


图33

三角形态有以下三种类型，如图34所示。

第5条腿可能止于三角形态之内或者形态之外，如图35和图36所示。

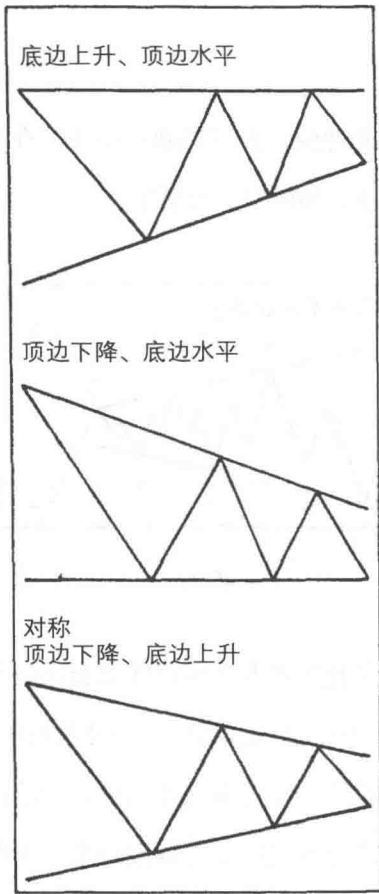


图34

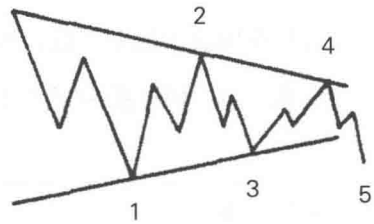


图35

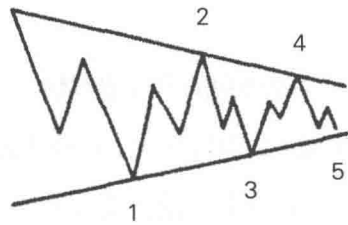


图36

第五浪应该由三个波浪组成，除非三角形规模很小。有时候一轮三角形态仅持续7个小时。最大的三角形态出现于1928年11月至1942年4月之间，持续13年。这一波动情况将在其他章节中予以讨论。

三角形态第五条腿之后的市场行为，被称为“击穿”，由五个波浪所组成，而且与三角形态浪2和浪4的方向相同。

三角形态出现的概率较小。当出现三角形态时，其位置通常是任何级别波浪的浪4（无论是上升浪还是下跌浪），如图37和图38所示。

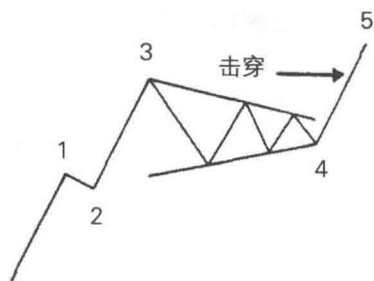


图37

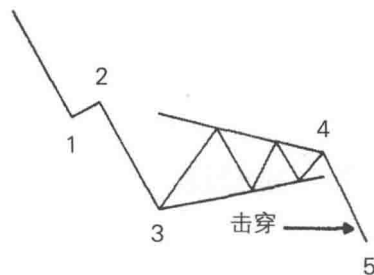


图38

三角形形态之后出现的第五浪，即我称之为“击穿”动作的那一浪，由五个波浪所组成，与浪1和浪3的波浪结构相似。如上图所示，第五浪超过了浪3的顶部（如图37所示），或者穿过浪3的底部（如图38所示）。

第6章 延长浪

延长浪可能现于三个驱动浪，即浪1、浪3、浪5中的任何一个，但永远只在一个驱动浪中出现，如图39、图40和图41所示（上攻行情）以及图42、图43和图44所示（下挫行情）。

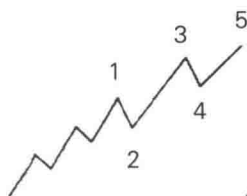


图39

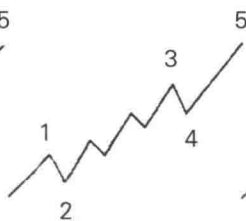


图40

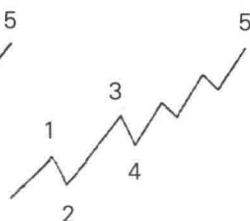


图41

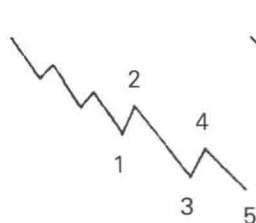


图42

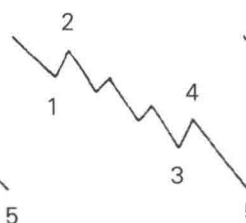


图43

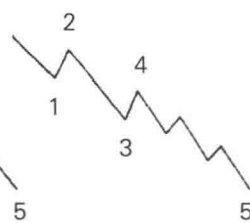


图44

需要注意的是，在以上每个图中，总计有九个波浪，延长浪应被算为五个波浪，而不是一个波浪。在很罕见的情况下，一个延长波动由九个规模相

同的波浪所组成的，如图45和图46所示。

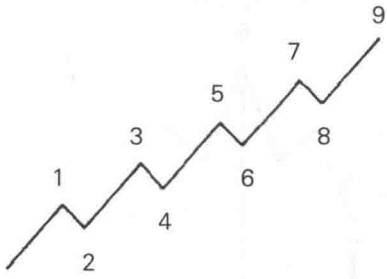


图45

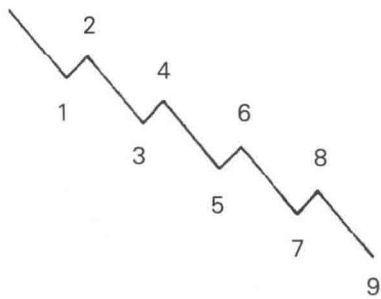


图46

延长浪仅仅出现在当前循环的新领域中。也就是说，延长浪不会作为调整浪而出现。

延长浪的延长浪

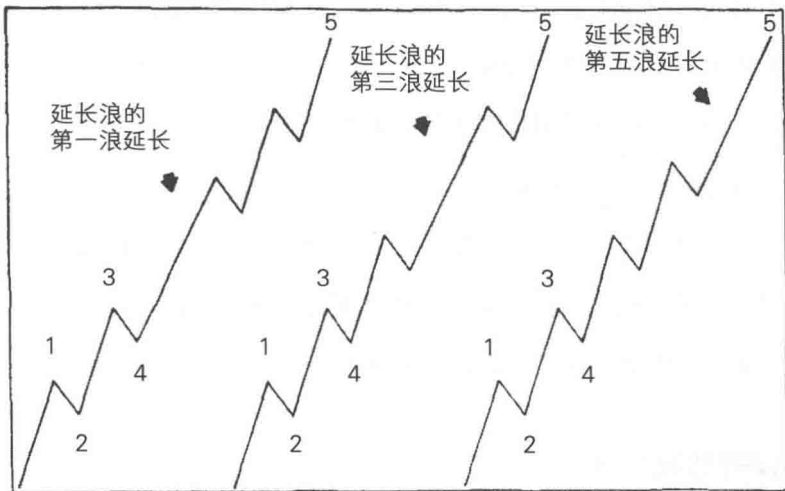


图47

第五浪延长与双重回撤

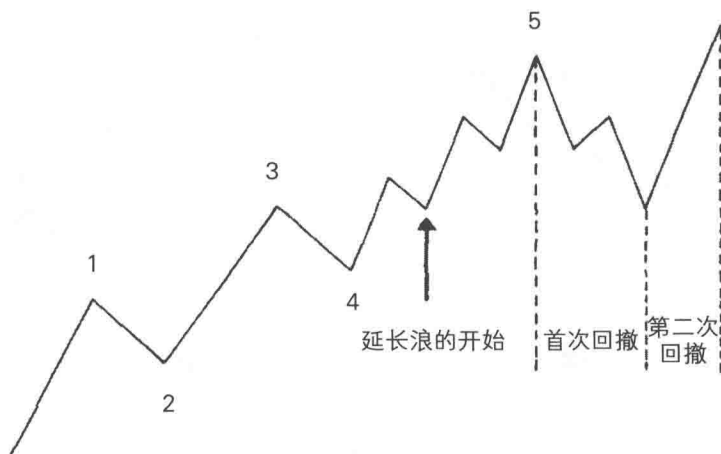


图48

延长浪之后，一般都会出现双重回撤，也就是说，调整浪会连续两次经过相同的价格区域，一次下跌，一次上升。当延长浪出现于第一浪或者第三浪时，不必对此过于关注，但如果出现在第五浪，则需要格外关注。如果延长浪出现于第一浪中，第二浪和第三浪可能会出现双重回撤。如果延长浪出现于第三浪中，双重回撤则出现于第四浪和第五浪。如图48所示，第五浪为延长浪，后续出现了双重回撤。

如果延长浪的级别较小，回撤将会立即出现。但如果延长浪为中浪或者大浪，双重回撤可能直到整个上升走势结束之时才会出现。当一轮波浪运动以极高的速度前进时，几乎会以相同的速度在同一个领域内出现回撤。

错误的数浪方法

三个驱动浪，浪1、浪3和浪5很少会出现长度相同的情况。其中某一个波浪的长度一般会显著长于其他两个。重要的一点是，要注意第三浪绝不会

比第一浪和第五浪短。例如，如图49所示，浪3比浪1或者浪5短，这是错误的数浪法，正确的数浪方法如图50所示。

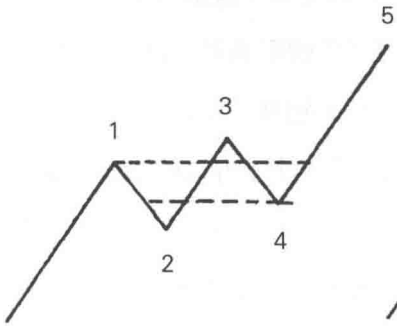


图49 错误的数浪法

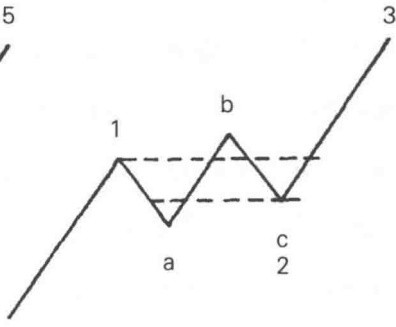


图50 正确的数浪法

还需要注意的一点是，图49中浪4与浪1出现重叠，实际不应该出现此情况。重叠意味着浪4的终点低于浪1的顶部。我们在图51和图52展示了倒置（下挫行情）的波浪情况。

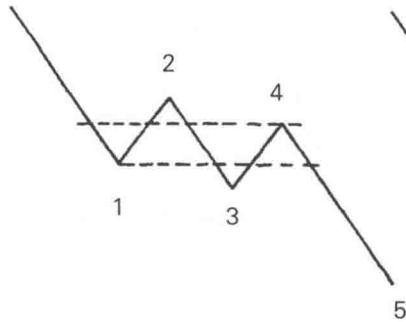


图51

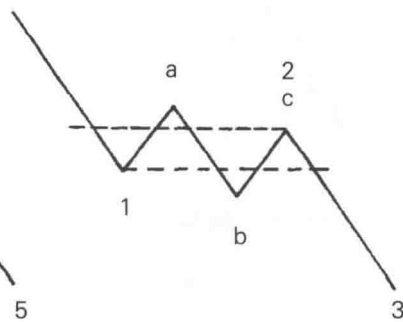


图52

复杂波浪中的重叠情况值得仔细研究。有时候复杂波浪可能会演变为“双重横盘调整浪”或者“三重横盘调整浪”，如第5章图形所示。

调整浪的放大

为了确定首个上攻波动是由三个波浪还是五个波浪所组成，很重要的一点是绘制出日波动走势图，周波动走势图可能不能揭示出这个情况。例如，在图53和图54中，一个倒置的平台形运动分别展示在日走势图和周走势中。要注意的是，在周走势图中，未能揭示出第一个上升浪的构成，并且研究者可能错误地认为在日间变动中它或许由五个波浪组成。一个倒置平台形态的周走势看上去似乎由七浪所组成，而实际上是倒置平台形态，即A浪、B浪、C浪（1、2、3、4、5），如图53所示。

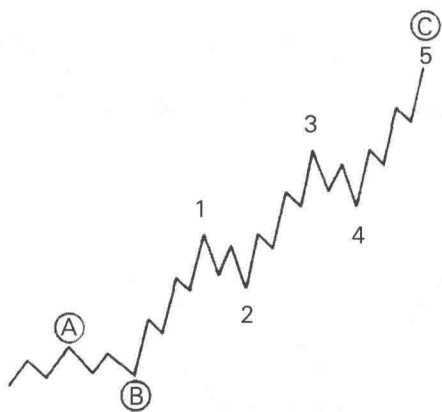


图53 日走势

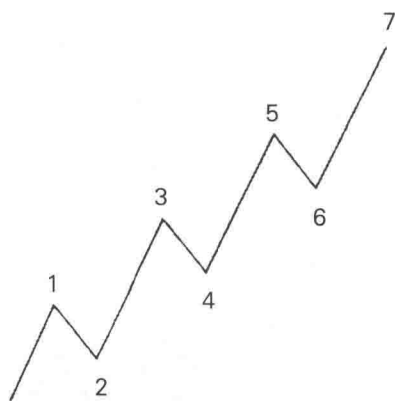


图54 周走势

锯齿形态中也可能会出现类似的情况。锯齿形态调整浪不会延长，但可能会扩大或者变成双重，如图56和图57所示。无论锯齿形态是单一的还是双重形态，其调整浪的特征保持不变。

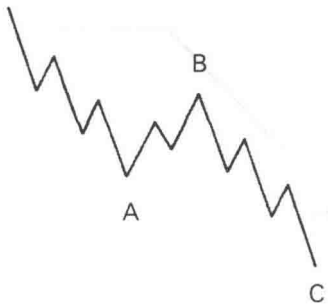


图55 日走势——单锯齿形

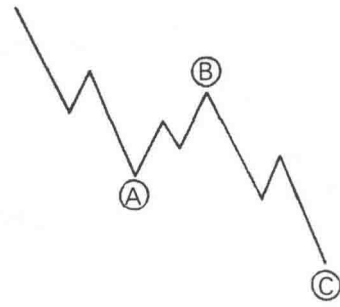


图56 周走势——双重锯齿形

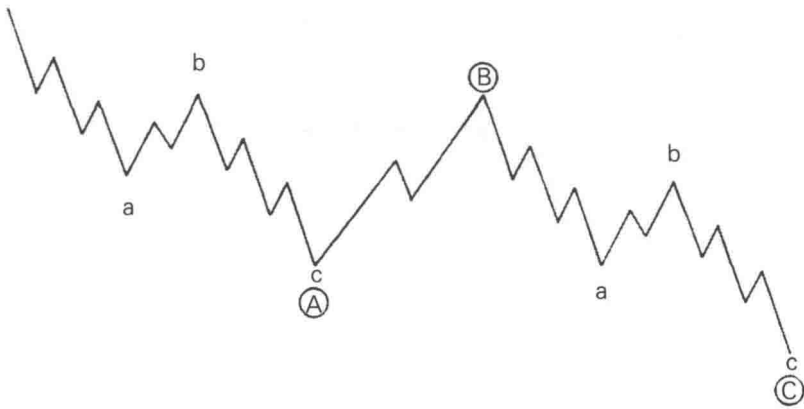


图57 日走势——双重锯齿形

横盘波动

正如所观察到的那样，所有调整波动，无论波浪级别如何，均由三个波浪所组成，横盘波动的情况同样如此，具有类似的调整波浪特征。图58展示了一轮上攻趋势之后的两种类型的横盘波动。在图59中，展示了一轮下挫行情之后的横盘运动。



图58 主趋势上升



图59 主趋势下降

第 7 章 不规则顶部

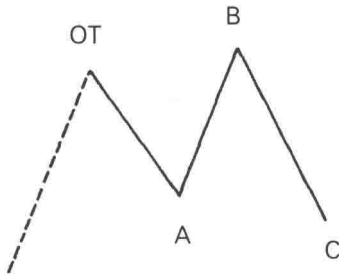


图60

如图60所示，如果某个波动超过了第五浪的顶部（常规顶部），此时形成不规则顶部。假设图61中，五浪上攻属于大浪级别的波浪循环，第五浪的顶部即常规的市场顶部（Orthodox Top）。从数字“5”开始的首个波动“A”由三个波浪所组成，第二轮波浪向上，超过数字5代表的顶部，这轮波动由“B”标示。和A浪类似，B浪也由3浪所组成。B浪之后的波动将由五个下跌浪所组成，这轮波动标识为“C”。

A浪、B浪和C浪共同形成一个调整浪，尽管B浪的终点会高于浪5。这种现象曾经出现在1928年11月至1932年7月，对此波浪特征的充分理解至关重要。

如果A浪是一个简单的锯齿形态，那么B浪将成为一个倒置的平台形态。这种情况是交替规则所启示的。“交替规则”是下一章的讨论要点。

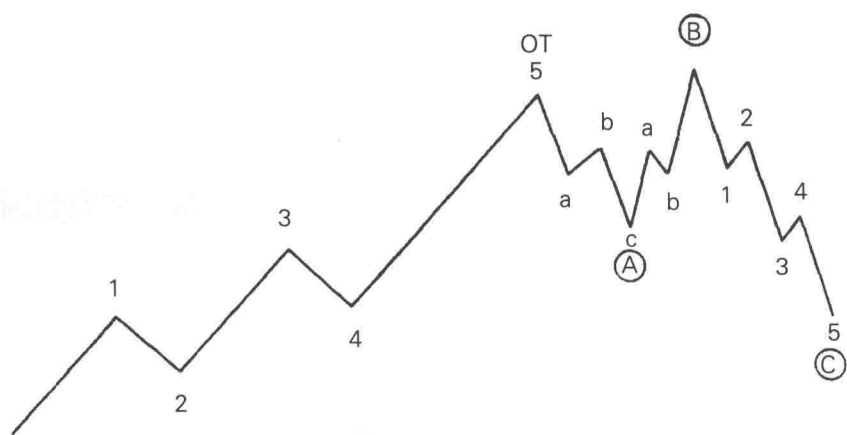


图61

第8章 交替规则

根据字典的解释，“交替”一词的意思是“两件事或者一系列事件轮流出现或者发挥作用”。交替是一种自然法则。例如。树叶或者树枝通常先出现在树干的一侧，然后出现在另一侧，位置相互交替。人体的结构遵循相同的法则：5-3-5-3，这样的实例举不胜举，但本书讨论的目标是人类活动中的交替规律。

牛市和熊市更替。牛市由五浪所组成，而熊市由三浪组成。因此称为五浪和三浪交替。同样的法则对于所有级别的波浪均有效。

牛市波动由五浪所组成。浪1、浪3和浪5为上升浪。浪2和浪4为下跌浪或者横盘波动。因此奇数和偶数交替出现。

浪2和浪4为调整浪，这两浪在形态上呈现交替规律。如果浪2为简单类型波浪，那么浪4将为复杂波浪，反之亦然。简单调整浪由一个下跌的浪所组成。而复杂调整浪是指由三个向下或者横向的波浪所组成，参见图62和图63所示。

较大级别波浪中，例如完整的牛市和熊市中，调整浪的级别也相应比较大。等待市场最终的杀跌，通常是一个漫长的过程。首先，市场将出现一轮重要的下跌波动，我用字母A来表示。之后出现上升，称为B浪，最后一浪为C浪。A浪可能会出现锯齿形态，此情况下，B浪将会出现倒置的平台形态。如果A浪是平台形态，那么B浪将会是倒置的锯齿形态。（不论出现何种情况，

C浪都将由五浪下跌所组成，波动可能非常剧烈，并且运动到接近先前牛市的起点。) 在此之中，A浪和B浪呈现交替规律。

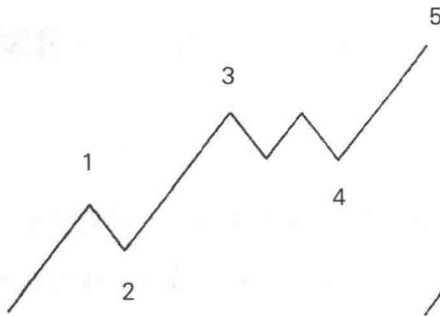


图62

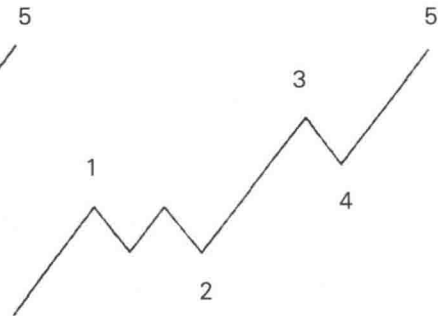


图63

长达13年的三角形调整，是交替规律的一个生动案例。从1928年11月到1938年3月31日是一个平台形态波浪。从1938年3月31日到1939年10月是一个倒置锯齿形态。从1939年10月到1942年5月是一个平台形态。

如果B浪超过了先前牛市第五浪的顶部，就会形成不规则顶部，如第7章所述。即便是这些不规则顶部，也会出现交替情况，1916年出现的顶部是一个不规则顶部，1919年的市场顶部是规则的，1929年出现了不规则顶部，1937年的市场顶部是规则的。

一直到1906年，铁路股票带动市场上涨。在1906年至1940年的34年间，工业股带领市场上涨。从1940年开始，铁路股又开始带领市场上涨。可见其中的交替规律。

第9章 刻度选择

只采用半对数刻度方式，或只采取算数刻度方法，实践当中这种只采用一种刻度的方式是错误的，会损害波浪理论的价值与效用。我们应当经常使用算术刻度，必要时使用对数刻度。

在一轮五浪上升的波动中，连接浪2和浪4的终点绘制“基准线”，然后穿过浪3终点绘制一条平行线。具体如图64所示。

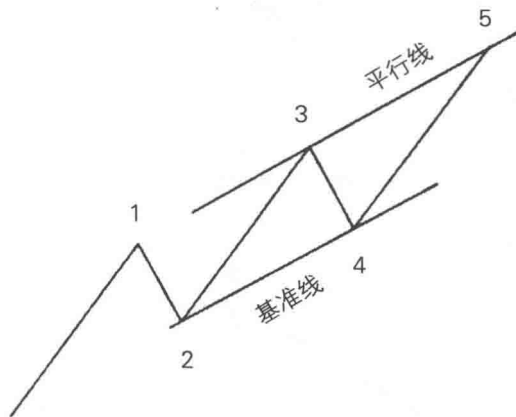


图64

使用算数刻度绘图时，浪5一般会结束于平行线附近。但是，如果浪5远远超过此平行线，并且浪5的结构显示该浪尚未走完，那么从浪1开始的整个波动都应该重新绘制在半对数刻度上。浪5的终点可能会达到平行线，但不会超过。例如，如果采用两种刻度方式绘制同样的图形，那么就会出现图65

和图66所示的情况。

如果必须使用半对数刻度形式时,就会出现市场膨胀。如果使用了半对数刻度形式,但没有出现膨胀情况,那么浪5将远不会到达平行线,如图67所示。

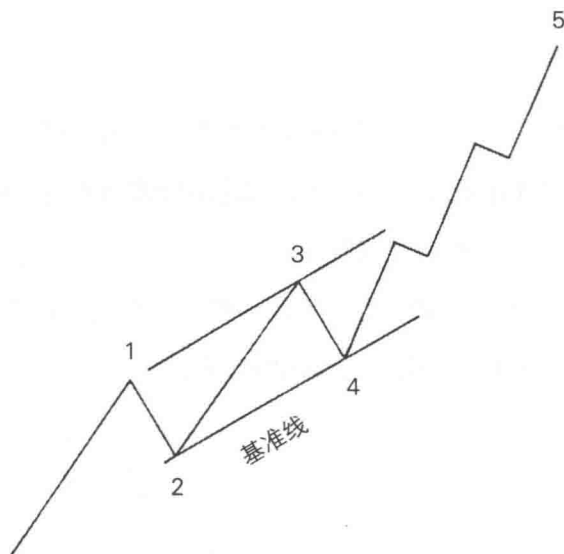


图65 算数刻度

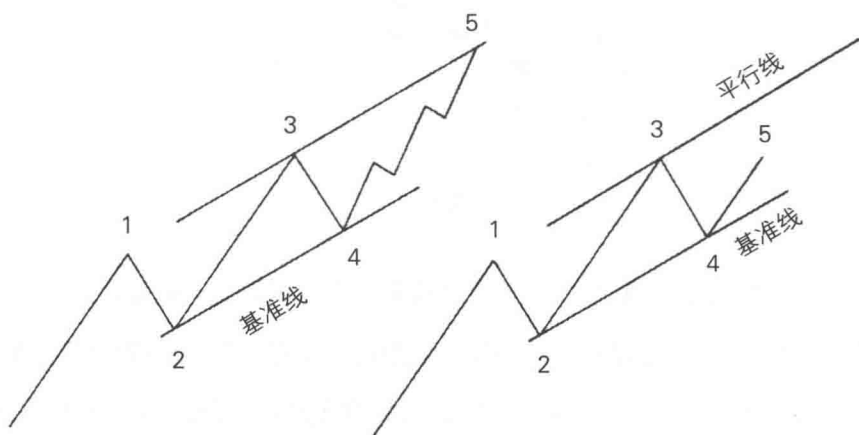


图66 对数刻度

图67

第 10 章 实例

前面章节中介绍的自然法则，是为了读者能理解下面的这些图。

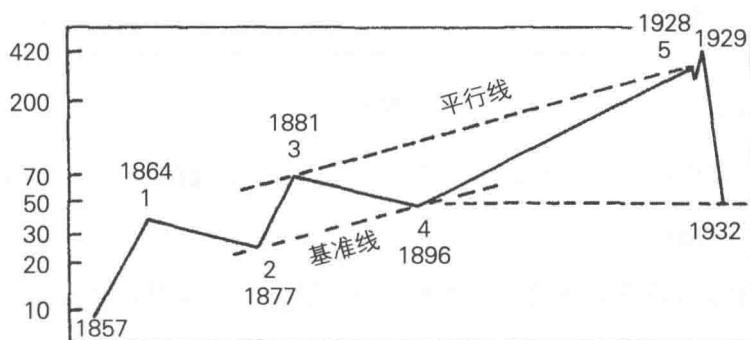


图68

图68展示了1857年到1932年埃克斯—霍顿指数的情况，刻度采用半对数刻度形式。这是股票市场有明确记录以来，股市出现的最大级别的波浪。注意1857年至1928年11月的五个波浪。连接浪2和浪4绘制基准线，经过浪3绘制一条平行线。浪5的终点于1928年11月触及到平行线。

这一波动整体上看是膨胀的，因此采用半对数刻度十分必要。然而，在绘制某些单个牛市图形时，算数刻度至关重要。

需要注意的是，1932年的下跌行情达到了1896年的第五浪的起始点。正是在1896年这个历史低点，1929年至1932年的下跌才得以停止——换句话说，这是一轮正常的调整浪。缺乏对历史走势的了解，导致人们错误地使

用“大萧条”这一说法。因此，了解历史，对于理解这一段行情以及其他人类活动，都是至关重要的。

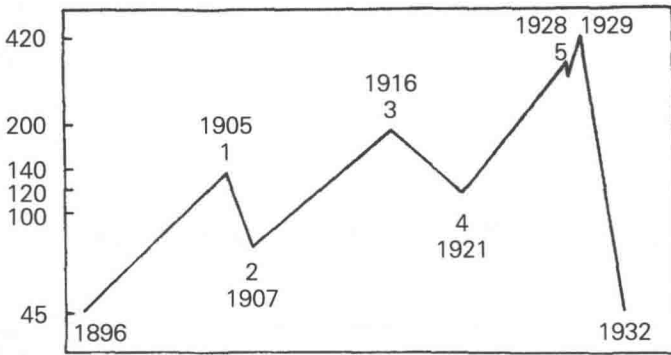


图69

图69是图68中第五浪的详细展示，绘制在半对数刻度上。它将第五浪分为五个更小级别的子浪。

图70是采用半对数刻度绘制出来的，是1921年至1928年道琼斯工业股平均价格指数图形。需要注意的是，穿过浪2和浪4画出了基准线，穿过浪3绘制出来平行线，而浪5恰好触及到了该平行线。

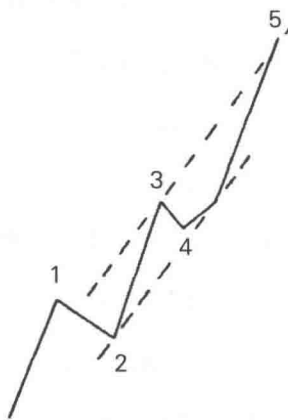


图70

1857年至1928年11月的市场波动由五浪所组成，如图68所示。始于1896年的第五浪进一步分解为五个波浪，如图69所示。此轮波动的第五浪，开始于1921年，再次细分为五个波浪，如图70所示。换句话说，始于1857年的整轮波动细分了三次。

在图71中，道琼斯工业股平均价格指数采用算数刻度形式绘制，浪1至浪3的波动幅度是浪5的62%（斐波那契数列）。

1857年至1928年，市场出现七个牛市和六个熊市，总计13个。1857年至1928年的所有牛市在波动幅度上都是正常形态。记住1921年至1928年，市场出现三个牛市和两个熊市，不是一次牛市。两次熊市都是亚常态的。

时间因素至关重要，因为时间会对形态进行确认，时间也会服从形态。例如，1928年至1942年的13年（斐波那契数列）。1937年至1942年为5年（斐波那契数列）。波浪持续时间以斐波那契数列同时结束。1928年至1942年的整个波动是一个三角形态。三角形态中每一浪的波动幅度，都是它前一浪的62%。波浪理论所有这三个因素——形态、时间和比率，都很完美地符合斐波那契求和数列。参见图71。

到此为止，我们对自然法则已经做出了详细阐释。斐波那契求和数列具体应用存在于三个维度：波浪数量、持续时间（天数、周数、月数、年数）以及波动幅度比率（62%）。

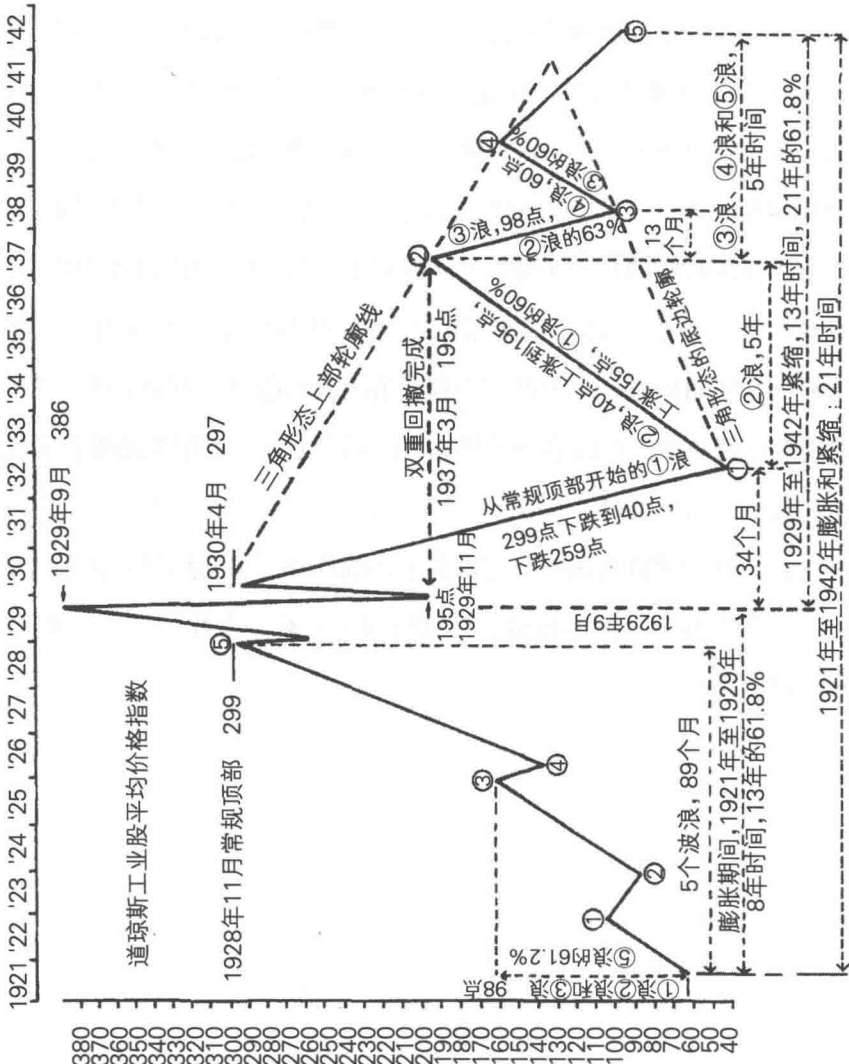


图71

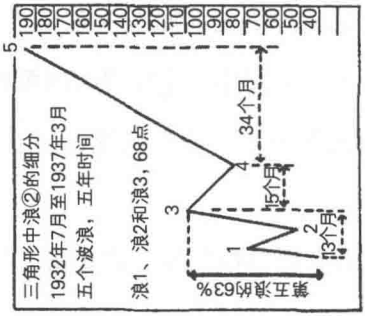


图72

第 11 章 持续 13 年的三角形态

1928年11月市场的常规顶部为299点，1932年的底部为40点，净波动幅度为259点。1932年至1937年，市场从40点涨到195点，净波动幅度是155点。155与259的比值为60%。

如图71所示，1928年11月常规顶部到1932年7月为13年三角形态的浪①。1932年7月到1937年3月是三角形态的浪②，从1937年3月到1938年3月是三角形的浪③。

由于形态、比率和时间之外因素的存在，指数在1937年3月达到195点。1921年至1928年的上攻行情，是始于1896年第五浪的延长浪。正如第六章所示，延长浪之后市场会走出双重回撤。1929年9月至11月，下跌至195点，成为首次回撤的一部分。1932年至1937年，从40点到195点的上涨完成了双重回撤。注意1929年11月和1937年3月市场相会于195点，如图71所示。

需要强调的一点是，1932年至1937年155点的波动，并非一轮典型的牛市应有的振幅。它的幅度受到前文所介绍的四个强有力的技术力量的推动：

1. 指数从1928年11月的299点到1932年7月40点的下跌波动，市场有反弹62%的内在要求。

2. 完成1921年至1928年延长浪的双重回撤。

3. 波浪理论的时间因素，60个月或者5年。

4. 形态。

实际上，此轮波动完全遵从了四个波动条件，即波浪形态、幅度、双重回撤以及时间，所有这些都完全契合斐波那契数列。

1921年至1928年幅度比率情况是，浪①和浪③上升了98点，即浪⑤160点的62%。

注意图71和图72中，我们在图形下方绘制的水平直线：

1921年（市场膨胀的起点）至1942年（市场紧缩的终点）：21年

1921年至1929年：8年（13年的62%）

1921年7月至1928年11月：89个月

1929年9月至1932年7月：34个月

1932年7月至1933年7月：13个月

1933年7月至1934年7月：13个月

1934年7月至1937年3月：34个月

1932年7月至1937年3月：5年

1937年3月至1938年3月：13个月

1937年3月至1942年4月：5年

1929年至1942年：13年（21年的62%）。

第5章已经介绍了三角形形态。1928年11月（常规顶部）和1942年4月之间的三角形态属于对称形态。它与普通三角形态不同的是，它是由平台形和锯齿形两个形态所组成。首先是平台形态，然后是锯齿形态，之后又一个平台形态。这一三角形态的出现是必然的，因为它的规模巨大，以及交替规律对于波浪形式的要求；这是市场在1937年上升到195点，以便对1921年至1928年市场膨胀的延长浪进行双重回撤的客观要求；这是市场在1942年前完成形态的客观要求（1921年后的21年）；这是保持62%比率的要求；这是对1896年至1928年第五浪进行回撤的要求。所有这一切，决定了它将是一

个规模异常巨大的三角形形态。

1928年至1942年的13年三角形形态由三个形态所组成，如下所示：

1. 1928年11月至1938年3月：平台形态（三角形形态的浪①、浪②和浪③）。
2. 1938年3月至1939年10月：倒置锯齿形态（三角形形态的浪④）。
3. 1939年10月至1942年4月：平台形态（三角形形态的浪⑤）。

注意形态之间的交替：平台形态、锯齿形态和平台形态。我们可以引用很多其他类似的案例。平台形态以及倒置锯齿形态在第5章中予以介绍。它们以及对应的三角形内的波浪在图73中再一次展示。

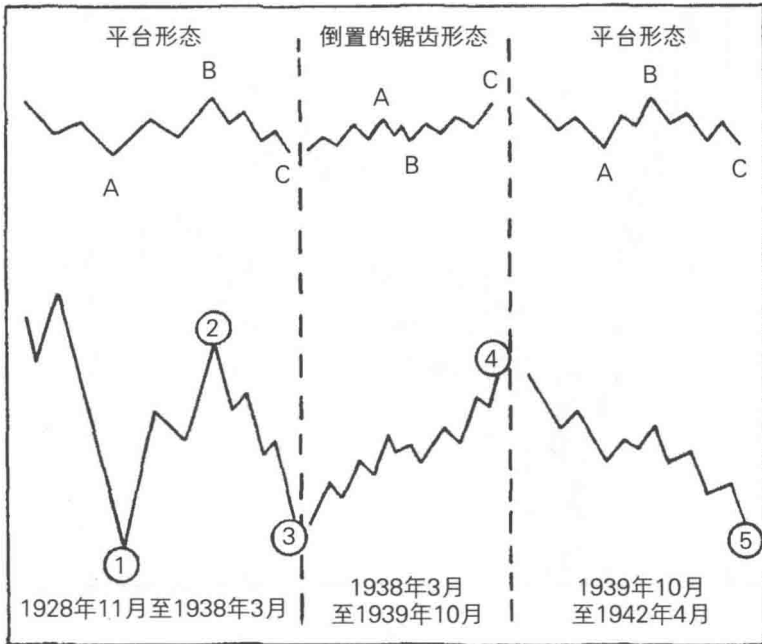


图73

图74显示了以算数刻度绘制的1928年11月至1942年4月道琼斯工业股平均价格指数情况。每条竖线代表价格的月波动幅度。

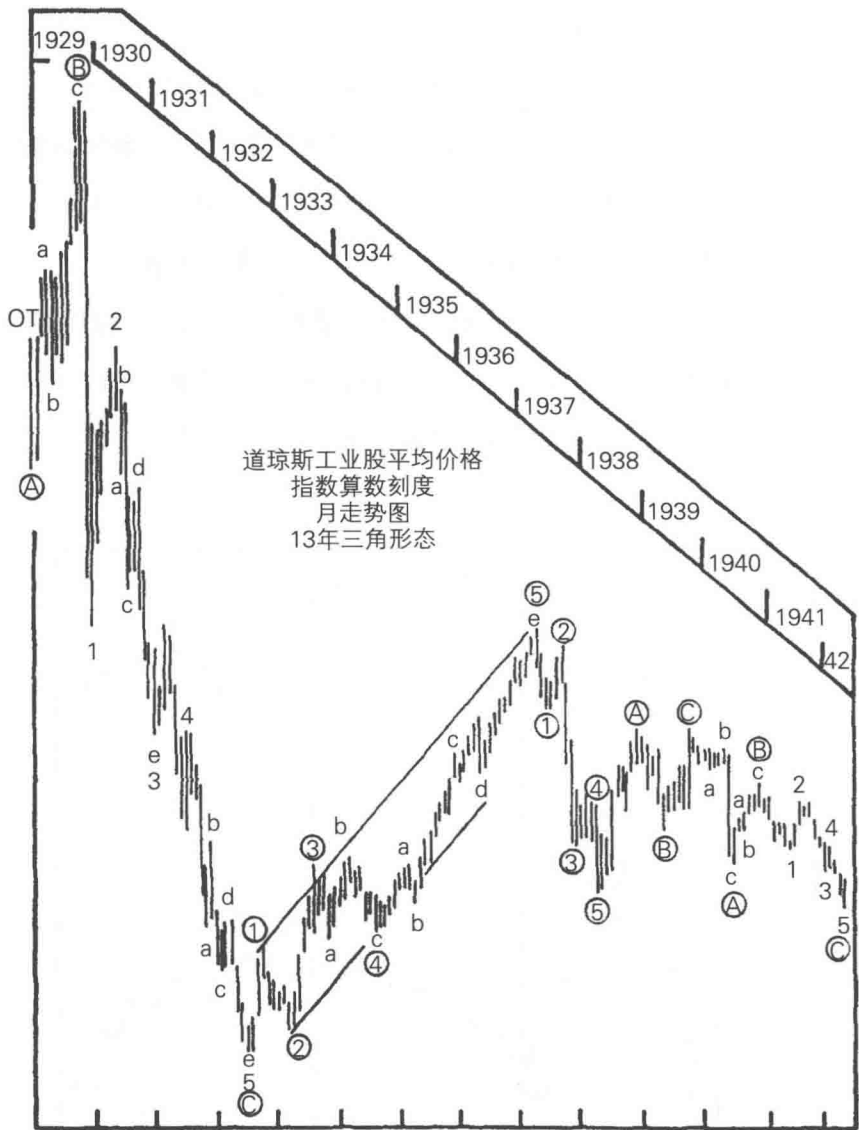


图74

1928年至1932年为三角形形态的浪①，由A浪、B浪和C浪所组成。A浪从1928年11月持续到12月，由下跌三浪所组成。此轮波动迅速，以至于我们只能在日波动图上找到它们。B浪为不规则顶部，以倒置平台形态出现。C浪开始

于1929年9月，持续到1932年7月，持续了34个月的时间，由五浪下跌所组成（参见图形中的数字编号）。

1932年至1937年为三角形态的浪②，这是一个典型的牛市形态，因为它由五浪所组成。然而，由于其异常的规模，可以将其归类为非常大级别的倒置平台形态，因为它是调整浪的一部分。浪②持续5年的时间。

三角形态的浪③为下跌的五浪，从1937年到1938年持续了13个月。1928年11月至1938年3月，三角形态的浪①、浪②和浪③组成了一个平台形态。

1938年至1939年的三角形态浪④是一个倒置的锯齿形态。

1939年至1942年4月的三角形态浪⑤是一个平台形态。它的走势下探，并且拉长，为了与1928年以来的13年、1921年以来的21年相吻合，此波浪持续相当长时间是有必要的。

如第5章所述，三角形态的第五浪可能在三角形态范围之内或之外。在这一情况下，它超出了三角形轮廓。然而它是一个完美的平台形三浪，我们标识为A、B、C。B浪的长度是A浪和C浪的的62%。换句话说，A浪和C浪的长度是一样的。

第 12 章 膨胀

“膨胀”一词在字典中的定义是“超出正常范围”。一个牛市不会超过正常范围。但一系列牛市，一个超越另一个牛市，可能会超出正常范围。如果不是中间穿插着亚常态熊市，一个牛市不会在另一个牛市之上。

由于亚常态熊市的存在，膨胀曾经出现在20年代。在此阶段，市场出现了三个正常的牛市和两个亚常态熊市，总数是5个。膨胀的预警信号是以这样的顺序出现的：算数刻度图示上，正常浪1、亚常态浪2、正常浪3、亚常态浪4、浪5击穿通道平行线。（参见第9章图65）。

图75描述了一个正常的牛市和一个正常的熊市调整（a浪、b浪和c浪），熊市调整浪充分地击穿了基准线。图76描述了一个亚常态熊市调整波浪，仅是勉强地击穿了基准线。

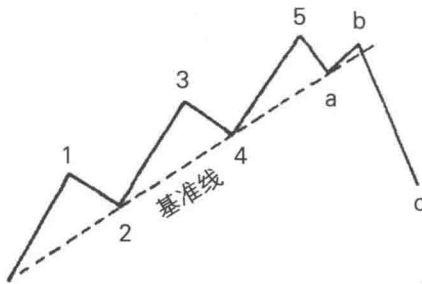


图75

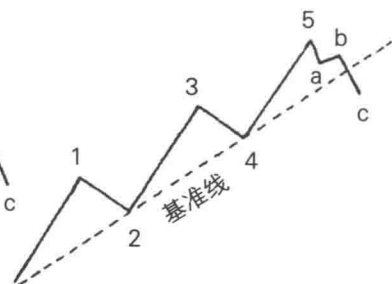


图76

图77在算数刻度上展示了1921年至1928年11月道琼斯工业股平均价格指数情况，图中的浪5击穿了平行线。鉴于平行线已被击穿，我们需要将1921年以来整个波动图形绘制在对数刻度图上。图78正是对数刻度图，浪5仅仅是触及到但未击穿平行线。

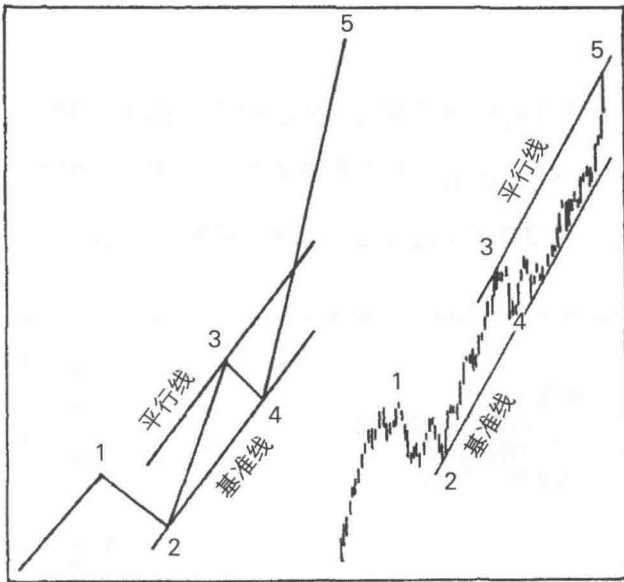


图77

图78

有三个方法，可以帮助我们提前确定，膨胀会在哪一个点位走完以及何时走完：一个方法如上文所述，第二个是比率（如图71所示），第三个是持续时间（如图71所示）。

第 13 章 黄金价格

区分算数刻度和对数刻度特征的意义重大，我们在此介绍另一个例子——黄金价格。在图79中，黄金价格走势涵盖了1250年至1939年的牛市，几乎延续了7个世纪。浪②简单，浪④复杂。注意浪④的字母标识A、B和C。

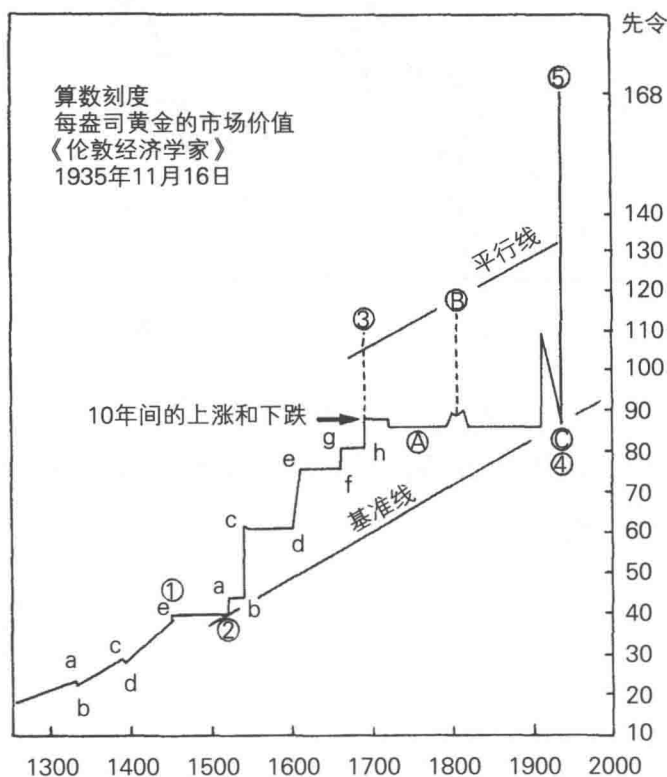


图79

在图79中，以算数刻度绘制出来，价格线穿过了平行线，因此需要采用半对数刻度形式，如图80所示。对于任何人类活动而言，其对数刻度的平行线上轨，代表膨胀的最终顶部。当浪5上涨终止于算数刻度通道内时，膨胀将不复存在。

图79中，浪①的缓慢上涨，表明黄金的市场价格在该阶段是自由波动的，即没有被任何外力所控制。此后上升行情出现中断，调整浪走出了横盘波动，这说明黄金价格受到某种权力的影响，很可能是政治势力。调整浪可能横盘波动、下跌，或者下跌和横盘波动，如图79中浪④所示。

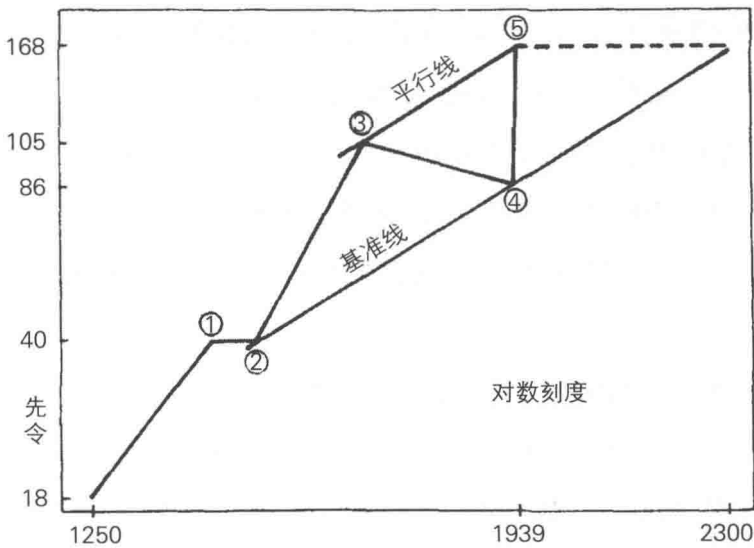


图80

按照前面所描述的法则，当某一形态完成时，如图80在对数刻度图中，浪⑤触及到了平行线，市场价格将不会出现进一步的上涨，直到价格线在某时刻上击穿了基准线。因此可能出现的情况是，当前168先令的黄金价格将保持不变，至少延续到2300年触及基准线之时，正如图形右侧虚线交叉点所示。

第 14 章 专利

人类活动涵盖各项人类活动，不仅有股票市场，还有生产活动、人身保险、城市和农村之间的人口迁移等，如本书第3章所列出的各项其他项目。

有时候，会出现一些与众不同的项目，比如专利，它也是一种人类活动，但不是情绪类的活动。图81展示出了1850年至1942年的专利申请情况记录。注意出现的五浪形态。第五浪从1900年延续到1929年。工业股平均价格指数在几乎相同的时期出现了类似的形态（参见图82）。注意1929年到1942年出现的，以A、B和C三浪形式发生的专利调整波动。股票市场在同一阶段走势，走出了1928年至1942年的三角形态调整浪，而不是专利记录图中的A、B和C浪。

早期时候，农业是最主要的职业。美国各地，有些农民可能拥有一家商店或者生产一些东西作为副业。生产活动以计件为基准，在自家进行。美国的自然资源、气候、智慧和民主制度，无论从哪方面讲，都要求成立公司，为个体经营活动进行融资。发明创造以及机器的引进，不断改变了所有一切。购买路易斯安那州、征服加利福尼亚州、收购得克萨斯州和俄勒冈州，与墨西哥和加拿大国界的确定，所有这些都为美国增加了颇具价值的土地。

人类的智慧从古至今都是重要的资产。这一点可以从1850年至1942年专利申请记录图得到验证。注意专利走势和股票市场是一致的。美国和其他国家尤为不同的一点是，我们的祖先来自世界各地。美国祖先对他们自己家

乡的暴政和政治制度不满，来到美国享受自由，发挥他们的才能。

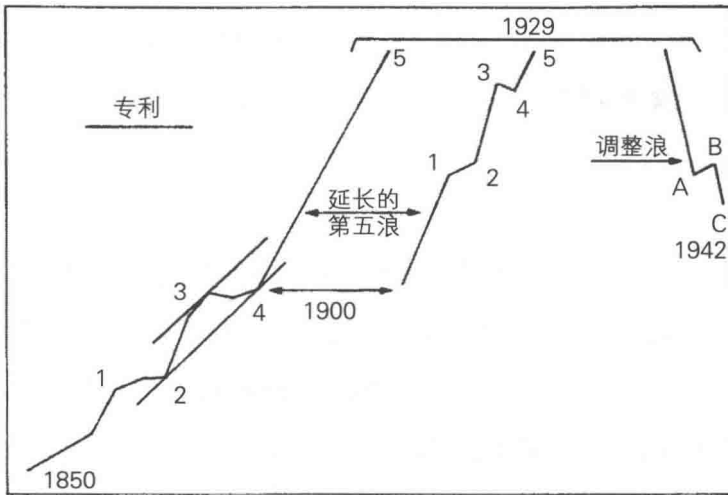


图81

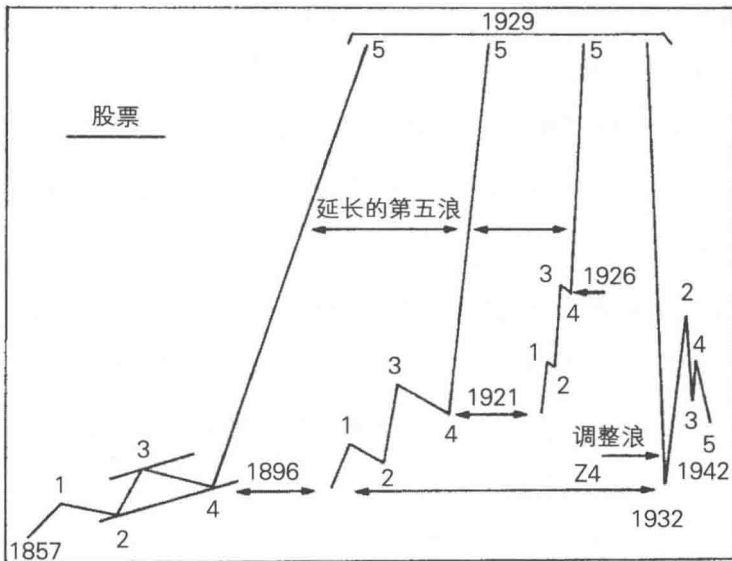


图82

第 15 章 技术因素

一项人类活动的波动，很少会为另一项人类活动提供可靠的指南。图83展示了三项指标走势情况，分别为伦敦工业股平均价格指数、道琼斯工业股平均价格指数、美国生产力指数。所有三项指标的日期范围都是从1928年到1943年1月。生产力数据来自于克利夫兰信托公司（Cleveland Trust Company）。

道琼斯工业股平均价格指数（中间图形）记录了1928年11月（常规顶部）到1942年4月的五浪三角形态。三角形态的第二浪、第三浪和第四浪，每一浪的幅度都是前者的61.8%。三角形的轮廓、持续时间、每个波浪的组成以及每一波浪与前一波浪的比率四项充分证明了三角形态的存在。1921年至1929年（8年）的快速膨胀，最终导致市场迅速下跌至1932年（此期间价格一共运行了34个月的时间）。这些波动导致了对称三角形的出现，使市场最终趋于平静。

该三角形态没有受到发生在这13年间的下列事件的影响：从共和党到实施新政的政府、美元贬值、否认政府债券中的黄金条款、总统两届任期先例的打破、始于1939年的第二次世界大战、生产力提高（该指标于1938年开始上升，于1941年6月走完五浪）。

伦敦工业股平均价格指数（最上面那幅图）在1929年没有跟随纽约股市。该指数在1929年1月的140点、1936年12月的143点见顶。1932年和1940年的低点都是61点。从1940年到1943年1月，该指数上涨到131点。1939年1月26



日至7月28日，伦敦工业股平均价格指数走势形成一个三角形波浪。

伦敦股票市场分别在1720年、1815年和1899年接近最高位，时间相隔近89年（斐波那契数列）。英国股票是否出现膨胀以及何时出现膨胀，并不意味着我们美国的股市也会如此。

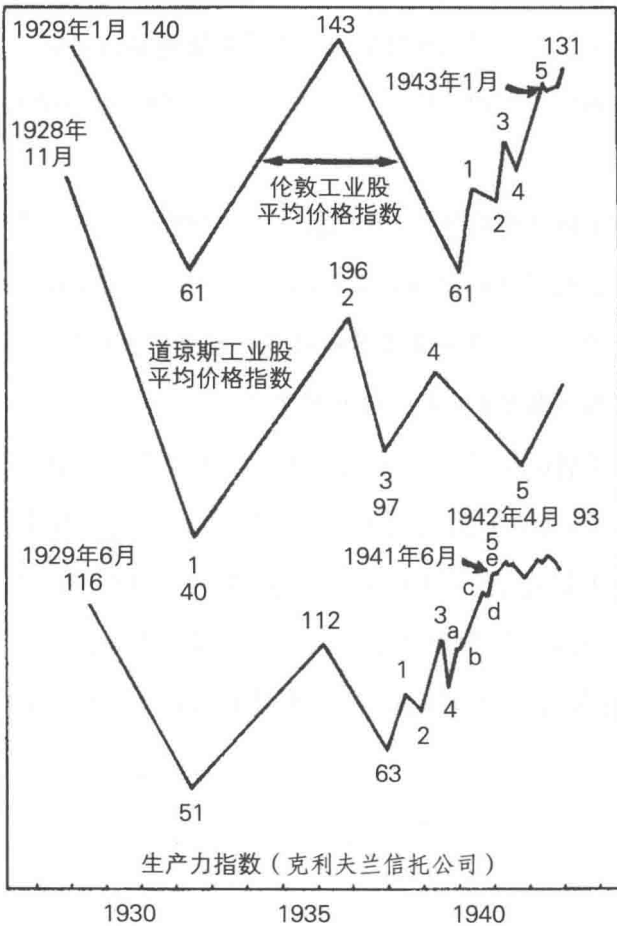


图83

克利夫兰信托公司提供的生产力指数（底图）见顶于1929年6月的116点和1936年的112点高位，最低点出现在1938年的63点。从63点开始，市场

于1941年6月完成了整个五浪上涨走势。在此之后，道琼斯工业股平均价格指数才开始从1942年4月三角形顶点处启动上涨行情。

1857年至1928年，我们参与了三次战争：内战、美国西班牙战争、第一次世界大战。然而超级循环波动的形态非常完美，正如其他情况所展示出来的一样。

股票和商品从未一起出现过膨胀。因此如果商品市场接近最高点时，并不意味着股票市场也即将达到高点。商品在1864年和1919年出现两次膨胀，时间相隔55年。

后面的章节将证明消息的无价值性。一个财经作家曾写道：

证券价格凭借萨勒诺的利好消息而上涨，凭借8月来自西西里岛的类似利好消息而作出反应，这一事实导致很多研究者得出如下结论：8月的市场表现主要是因为技术因素，而并非军事事件。

有一天，伦敦经历了一场严重的闪电战。伦敦股市上涨，而纽约股市下跌。两地的财经作家都认为闪电战是其原因。当时，伦敦市场处于上涨行情，而纽约市场经历下跌行情。无论闪电战是否发生，各自市场都遵从各自的形态。7月25日，墨索里尼倒台之后，相同的波浪行为出现了。

上述分析证明，技术因素是任何时间支配市场的主导因素。

第 16 章 道琼斯铁路股指数

研究铁路股指数走势颇具趣味性，不仅能让我们获得一些信息，而且可以让我们获得利润。在我们的经济中，交通运输是最重要的人为因素，因为随着购买路易斯安那州、与墨西哥和加拿大边界的确定以及加利福尼亚州和得克萨斯州的加入，远距离运输成为必要。

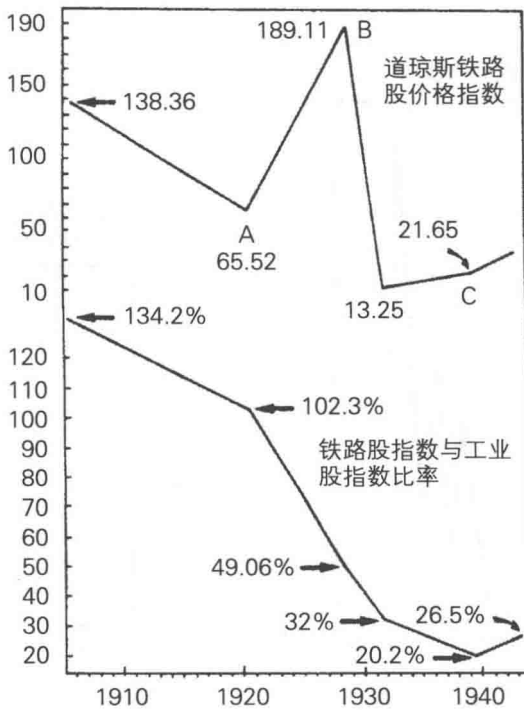


图84

图84中最底端的图形展示的是1906年至1944年1月铁路股指数与工业股指数的比率。该图展示出，与工业股指数相比，铁路股指数在1906年至1940年34年里持续走软。造成这种情况的原因在于：铁路公司债券融资相对于股票而言比例过大、1914年巴拿马运河通航（1906年+8年=1914年）以及汽车和飞机行业的发展。这三个因素导致了铁路债券和股票的走软，以至于1940年三分之一的铁路公司处于破产管理中，另外三分之一处于破产的边缘。

第二次世界大战暂时削弱了巴拿马运河的竞争优势，从而增加了铁路运输的收入（既包括客运也包括货运）。1940年后，尤其是珍珠港事件后，铁路公司的收入增加，使铁路公司可以缩减它们的债券型融资规模，以及由此所产生的固定利息费用。参见图85。

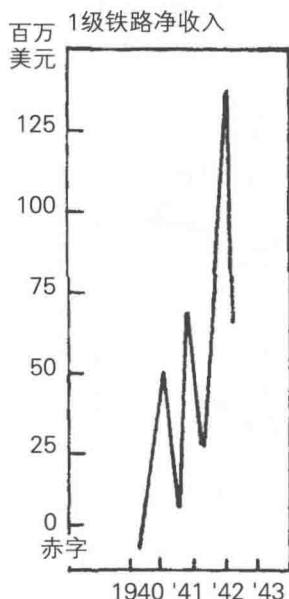


图85

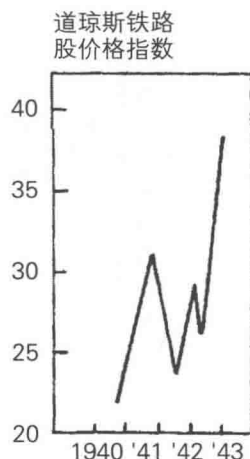


图86



如图86所示，铁路股指数在1940年是最低点，从那时开始一直到1943年的7月处于一段上攻行情。工业股指数在两年后，也就是在1942年4月才见底，这个低点也是13年三角形的终点。

在1906年至1940年的34年里（斐波那契数列），铁路股指数早于工业股指数反转下行，晚于工业股指数反转上行。1940年后，两个指数表现恰好相反，即铁路股指数早于工业股指数反转上行，晚于工业股指数反转下行。这种现象可能会持续数年时间。

第 17 章 消息的价值

华尔街流行一句格言：“消息迎合市场需求。”它的意思是，并不是消息创造了市场趋势，而是市场预见并估量了某种潜在力量的重要性，这些潜在力量在后来可能演变成消息。消息充其量不过是对已经发挥作用的市场力量的延迟认识，只有那些毫无市场趋势判断的人才会觉得意外。

驱动市场趋势的力量，有其自然属性和人类行为属性，可以采用不同方法进行度量。正如伽利略、牛顿和其他科学家所揭示出的，力以波的形式进行传播。通过对波浪结构和程度进行比较，可以相当准确地对力量进行计算和预测。

具有丰富经验的成功交易者早就已经认识到，依靠个人能力来解读股票市场的任何消息是徒劳的。没有哪个单一消息或者系列新闻，能够被视为当前趋势的内在原因。事实上，在较长的时间跨度内，同一消息对市场的影响大相径庭，因为趋势所处的环境不一样。

通过对道琼斯工业股平均价格指数45年来走势记录进行简单研究，就足以证明这一观点。在这段时间里，国王遇刺、战争频发、战争谣言、繁荣、恐慌、破产倒闭、新时代、罗斯福新政、反托拉斯等各种各样具有历史意义、情绪化的消息不断涌现。然而，所有的牛市都以相同的方式运行，所有的熊市也都表现出相似的特征，这些特征不仅支配和衡量着市场对任何类型消息的反应，同时支配着总体波浪趋势各部分的波动幅度和比例。投资者可以识

别并利用这些特征，来预测市场的未来走势，而不用管消息。

有时候也会发生意料之外的突发事件，例如地震。但是不管意外事件的程度如何，似乎都可以比较安全地得出结论：任何这样的意外事件，其影响都会很快结束，不会逆转意外事件发生之前市场既定的趋势。

在此方面，经验丰富投资者的一项保障措施是：根据利好消息卖出，根据利空消息买入，尤其是当此类消息与市场大趋势相悖时。公众通常预期市场会在不同时期对相似消息做出相同的反应，但这一预期常常被颠覆。

那些将消息视为市场趋势成因的人，可能会在赌马中更幸运，但要凭借其能力猜对重大消息的意义就没那么容易了。新泽西州韦斯特伍德市的X·W·莱夫勒先生出版了道琼斯指数图册，按年代顺序列举了重要的市场事件。经过对此图形的分析，可以清晰地展示，市场在同样的消息影响下，有涨有跌。因此“看清森林”唯一的方式就是站在森林之上的高度。

战争使全世界的武力发动起来，其力量如此强大，以至于看上去这些力量主宰了其他所有因素，驱动市场沿同一方向越走越远。任何时候战争都位列报道的头版头条。1937年8月、9月，1938年3月、8月、9月，1939年3月到4月曾经出现的市场暴跌，这些都和战争的进展时间一致。然而当1939年9月1日战争真正打响时，市场以巨额成交量大幅攀升。对于这种奇怪的市场表现，唯一令人满意的解释是：该时期波浪循环所处的技术位置导致了这种市场行为。

一方面，市场在1937年、1938年和1939年年初已经完成了重要的反弹，将继续战时的下跌趋势。结果，这些“战争恐慌”被解释为看跌因素，并且加速了下跌趋势。另一方面，1939年9月战争开始打响之时，市场处于一个完全不同的位置。图形显示，市场已经在1939年7月末的时候开始下跌，作为对当年4月中旬以来上升行情的调整，此轮下跌在9月1日的前一周彻底走

完，并且事实上，就在这么短暂的一小段时间之内，市场的脚步已经从8月波浪底部开始，快速上涨了近10个点。

就在真正宣战那一天，市场首先快速下跌，稍微低于8月底部的水平，然后以惊人的速度快速拉升。与那些尝试在疯狂攀升过程中购买股票的投资者相比，那些在8月底市场底部，以及在随之而来的战争恐慌导致的二次探底时精挑细选买入股票的人，获利更多。大多数情况下，后来进入的投资者会对自己的购买行为表示遗憾，因为他们在顶部价格买入，损失惨重。实际上，钢铁股以及其他战争相关的股票在战争开始之后的两周内就达到了高峰。从那之后，市场开始对战争相关的股票以及其利润的前景持续看跌，因为市场处于巨大的熊市波浪循环，这段循环在1939年秋天重启。相比之下，第一次世界大战期间（1914—1918年）对市场的影响却是看涨的，根本原因是1913年中期开始的市场波浪循环的类型。

当1940年6月法国沦陷之后，多数人感觉战争将会很快结束，希特勒将最终攻占英国。然而，道琼斯工业股平均价格指数在5月份达到110.61点时，波浪形态此时表明最糟糕的时期已经结束了，规模可观的中浪级别的反弹即将出现。即便是在6月上半月来自欧洲战况的重大利空消息，道琼斯指数仅仅跌至110.41点。

1940年11月大选之时，轰动性的消息公之于众，即要耗费巨资进行战争防御，并且对英国提供援助。多数经济学家和观察家认为这将会导致通货膨胀的出现，他们纷纷买入股票。然而与此同时，波浪运动却显示，从价格的角度来看，通胀不会使股票受益，并且6月开始的上升波浪运动已经走完，股价将下跌。随后市场下跌了近50个点。

公众的普遍信条是时事影响，甚至引领市场走势。如果时事是市场波动根本原因的话，循环就不会出现。无论投资者是多么执着于“消息”，我都

会建议他仔细研究图71中的形态和波浪比例，然后回顾一下21年里无数次出现的事件和观点。

第 18 章 绘图方法

更为详细的建议可能会让研究者更加受益，我认为这类建议极为重要。在图87中展示了波浪图模型。

为了准确观察某一波动的较低级别波浪程度，就需要对价格波动的日走势进行分析。这种包括最高价和最低价的图表，由道琼斯公司于1928年首创。

为了在图中体现出价格波动，建议按照垂直方向四分之一英寸代表工业股指数的一个点，垂直方向半英寸代表铁路股指数的一个点，垂直方向半英寸代表公用事业股指数的一个点。

同样，正如走势图模型所显示的，每日的竖线之间间隔出一定的距离是十分必要的。当图中每条竖线之间没有间隔时，可能出现的结果是代表价格的各条竖线因太过于拥挤而不方便观察。

小时刻度，建议使用同样的形式，以便于精确绘制图形——水平方向四分之一英寸代表5小时，或者每一个最小的方块代表一个小时。在周六的两个小时的交易之后，不要留下任何空隙，不要显示开盘价。当日高低价波动范围，应在每个交易时段最后一个小时结束时显示。所有这些建议，在图87中得到反映。

切勿为了节省纸张而牺牲图形清晰度。如果波动开始时图形在一张纸上，而结束在另一张上，清晰度就大打折扣了。同样波动在纸张上部或者底部不连续时，也是此情况。

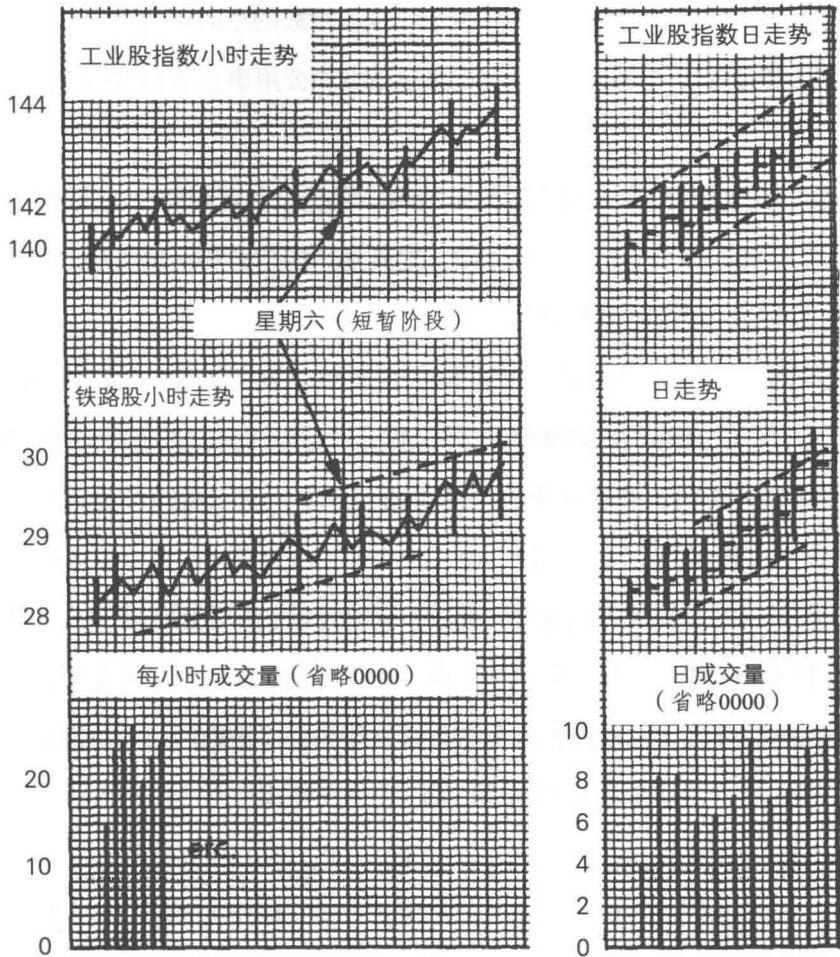


图87

柯菲尔&艾瑟公司生产的走势图图纸能清晰地展示波动走势，图纸在该公司和各大文具商店均可买到。图纸尺寸主要有：20英寸宽卷筒纸、8.5×11英寸的纸张、10×15英寸的纸张。

建议使用10×15英寸的纸，并且不要在一张纸上绘制两个以上指数图形。例如在一张10×15英寸图纸上，绘制出工业股指数日波动走势及成交量。在另外一张10×15英寸图纸上，绘制铁路股指数和工业股指数的日波动走势。

再用两张10×15英寸的图纸，一张用于工业股指数的小时走势记录和整个市场的小时成交量，另一张用于绘制铁路股指数和公用事业股指数的小时走势图。

周波动图应采用最大尺寸的图纸绘制，以便于实现对整个时期的覆盖，一张图纸绘制出整个循环。月波动图，尤其是平均指数和股票板块的月波动图，对于观察完整循环至关重要。

第6章图53和图54展示了日波动走势的价值，以便于预先估计周波动情况。以此类推，依据周波动走势，可以预估月走势情况。根据月走势情况，预估整轮循环情况。同样月走势图便于我们观察月波浪的持续时间和波动比率。

在图87中，竖线的每四分之一英寸，代表工业股指数的一个点。铁路股和公用事业股指数则是每半英寸一个点。在周波动走势图上，工业股指数可以缩小成每四分之一英寸代表两个点，铁路股和公用事业股指数每四分之一英寸代表一个点。月波动图中的刻度可以进一步缩减。

第 19 章 投资时机

时间是宇宙中最重要的元素之一。我们将一年分成四季：春、夏、秋、冬。我们将白天视为活动的时间，夜晚视为放松和休息的时间。

对于投资来讲，把握时机是最重要的因素。买什么固然重要，但什么时候买更重要。市场本身预告了未来的走势。波浪通过它们的形态，暗示市场后期走势，这些形态的开始和结束能够得到明确且有结论性的分析。

自然法则蕴含了最重要的因素——时机。自然法则并非一种玩市场游戏的方法，而是一种现象，似乎标记着所有人类活动的进步。其在预测领域的应用是革命性的。

如果投资者在1932年1月投资1000美元购买长期政府债券，在1939年6月将其卖出，89个月的时间内，总利润将达到5000美元（包括利息和增值）。在1932年1月，政府债券的收益率为4%。在1939年6月，收益率仅为2%。对于股票市场来说，1932年1月投资1000美元购买股票，在不考虑分红的情况下，到1937年3月该笔投资就可能升值到约5000美元。这种推算是以平均价格指数百分比变化为基础的。

人们已经意识到准确预测市场很重要，这导致了统计学的广泛应用。将50年前的报刊文件与今天的报纸一比较，这一点就会一目了然。市场的习惯是预期，而不是跟随，如果没有认识到这一点，即便是花费百万美元，也无法找到令人满意的预测工具。

第 20 章 如何进行证券选择

第19章充分展示了股票交易的首要因素是时机，即何时买入和卖出。第二个重要的因素是选择什么股票来交易。请务必牢记下列基本原理，它们能指导你进行证券选择（股票或者债券）：

波动和利润

任何证券市场价值的波动，都会大于其收益率的波动，因此股价波动是导致本金保值和升值的最重要因素。

牛市顶部

在牛市行情中，标准统计指数的55种成分股都在不同的时间见顶，外形像风扇一样。牛市行情通常是指在大约两年的时间里，走出五个大浪走势。在此牛市期间，受整体波浪力量的驱动，一些股票板块的波动倾向于一致。

熊市

通常情况下，熊市持续的时间比之前牛市要长。1929年至1932年形势最糟糕且时间相对不算太长的下跌行情中，最好的股票和债券连同那些低级别垃圾股票和债券，都遭到了人们的抛售，不论它们的真实价值如何。很多投资者因此得到一个错误的认识：所有熊市底部都会重复这样的情况。但是研

究表明，多年以后才有可能再次出现这样的暴跌行情。

当所有的股票板块都出现底部时，熊市的最终底部会显现。这恰恰与牛市达到顶部时的情况相反。在熊市行情中，富有实力的龙头股通常不会显现出高调姿态，尤其是在反弹过程中。熊市波动阶段，整个市场以及一些股票板块对时事和外部因素更加敏感。

以往交易经验

很多投资者由于之前不幸的投资经历，对于特定股票带有偏见。如果这样的话，投资者最终很难发现他不持偏见的股票。

不活跃股票

避免交易那些交易不活跃的股票，因为波浪走势未定型。交易不活跃，表明股票没有被彻底分散，或者它还没到达充分发展的阶段。

内部消息

朋友出于好意告诉你的内部消息，通常是指那些不活跃、低价的股票。但最好是选择活跃的个股作为交易的对象。

股票年龄

某只股票的生命通常有三个阶段。第一个阶段是年轻阶段或者实验性阶段，应避免购买该成长阶段的股票，因为股价尚未成熟。第二个阶段是成熟阶段。此类股票已经到了健康发展的阶段，属于适合交易的对象。第三个阶段，是成年阶段，代表了完全发展的阶段。股票分红相对稳定，股价波动幅度较小。正是由于分红稳定和波动小的原因，这些股票对于投资者而言吸引力较小。

总而言之，当平均价格指数有利于投资者时，应按照如下建议进行操作：

1. 选择与平均价格指数表现相似的板块；
2. 然后选择与这些板块表现相似的股票；
3. 务必确保选择的股票为交易活跃、价格适中和成熟的龙头股；
4. 分散资金，如平均分配等额资金购买5到10只股票，买某板块不超过一只股票（例如，这样配置：通用汽车公司、联合飞机公司、美国橡胶、美国钢铁、纽约中央公司和统一爱迪生公司）。

第 21 章 金字塔符号以及它们是如何被发现的

经过兰顿基金会的许可，我从兰顿先生的著作《大金字塔中的麦基洗德预言》第134页至135页中引用了三段文字：

金字塔底部的周长是36524.22英寸。这正好是我们公历一年天数(365.2422)的100倍。

金字塔的高度为5813.02英寸。

这些古代智者创造了数量、时间、重量、长度，以及面积和体积的测量方法。由于这些都是以这个正方形周长为基础，并且这个正方形周长源自于一个圆的圆周，而这个圆周等于公历年的总天数，并且地球永恒地围绕太阳旋转，这些神秘符号创造了唯一、永远准确且永恒不变的测量系统。

确定了大金字塔吉萨底部周长之后，研究者们开始寻找与之相契合的事实。在这个例子中，研究者发现公历年总天数与之契合，并且精确到了最后一位小数。换句话说，这两个事实彼此相关，可以发现这些神秘符号作为预测之用。

我发现人类活动中存在某些规律，后来了解到这些规律在大金字塔中都有符号象征。埃及考古学家未能识别出这些符号的含义，因为他们没有意识到大自然和人类活动中存在的规律。这些象征符号在第1章和第2章中已做介绍，在第8章到第14章进行了全面展示。

我对金字塔符号研究的贡献如下：

1. 发现了波浪形态、级别和数目；
2. 对于斐波那契数列、汉比奇的发现及其在艺术、植物学中的应用，以及毕达哥拉斯神秘图形之间的联系，进行了研究；
3. 从所有角度研究大金字塔的图形；
4. 研究了斐波那契比率、金字塔高度与其底边之间比率的关系。金字塔高度是5813英寸（由斐波那契数列三个基本数字5、8和13所组成）；
5. 研究了斐波那契数列在人类活动中很多领域的应用。

第 22 章 运动法则

“循环”一词在字典中有不同的定义：“一段时间”、“一整轮或者一整圈”、“螺旋式树叶结构”、“一系列不断重复的系列”。股票市场中的循环波动规律吸引了研究者的注意。其实任何运动，从车轮到行星，都是循环运动的。所有的循环都可以细分等级，便于对波浪循环的进展进行观测。

行星以各自固定的速度在轨迹上运行。地球每24小时完成自转一周，将白天、黑夜分开。地球绕太阳公转的时间是一年，带来了四季更替。天文仪可以前后运转，从而显示行星及其卫星在任何时间（过去、现在和未来）的相对位置。

一些现象的循环运动方式从未发生改变。例如水始终保持它的完整循环运动。太阳照射海洋表面，导致海水蒸发为水蒸汽。气流推动水蒸汽，直到水蒸汽在丘陵或高山上面遇到比它温度更低的冷空气，令空气使水蒸汽凝结成小水滴。重力将水滴带回大地，它在江河湖泊里再次汇入海洋。

各个国家都经历着政治、文化和经济周期循环，或大或小。在人类社会领域可以观察到许许多多的循环波动现象，例如城市人口迁徙、平均年龄、出生率等。

图88告诉我们，不能凭借一项人类活动来预测其他人类活动。因此，要分析一件事物的波动规律，需要分析其自身的波动形态，而不是用外部因素进行分析。在1939年至1942年4月这段时间，股票市场相对于经济基本面情

况，出现了严重滞后，股票市场的滞后性引发了人们大量的讨论，但没有任何明确解释。而这一现象的答案是，20年代持续8年之久的市场膨胀，催生了一个到1942年的13年的三角形调整浪。

图89展示了温度变化图形。温度与人类活动无关，然后在110年的时间里，形成了一个完美的五浪上升形态。

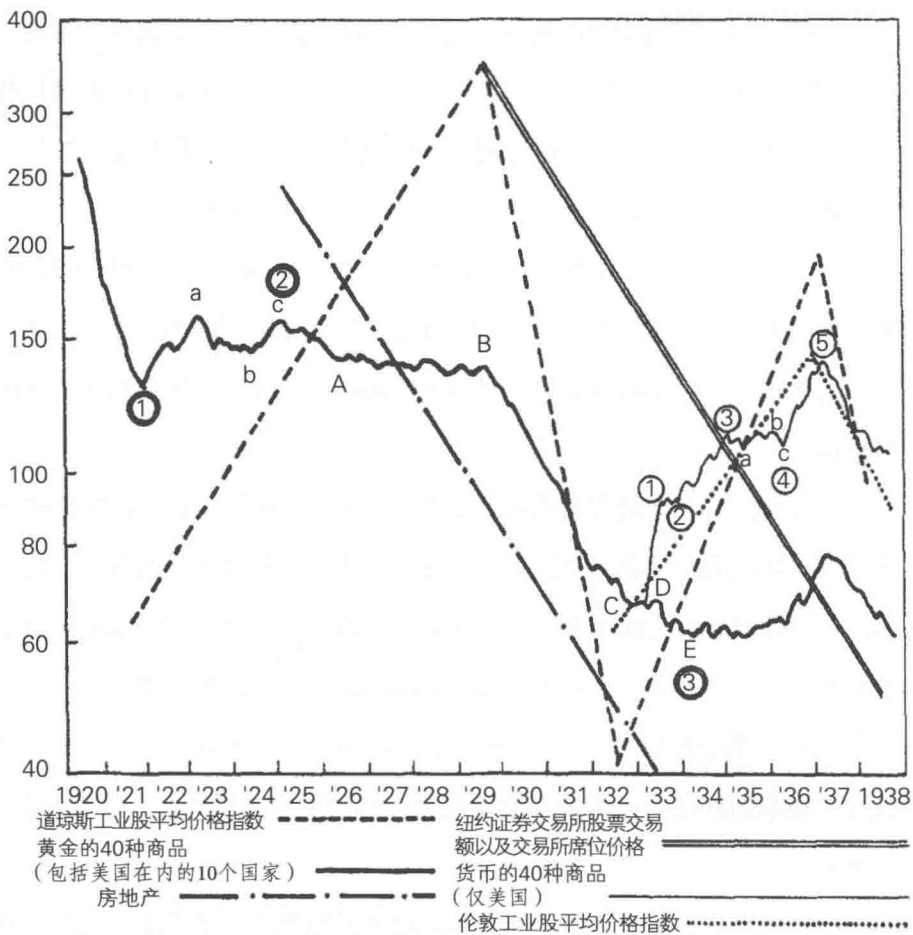


图88

温度 纽约平均值

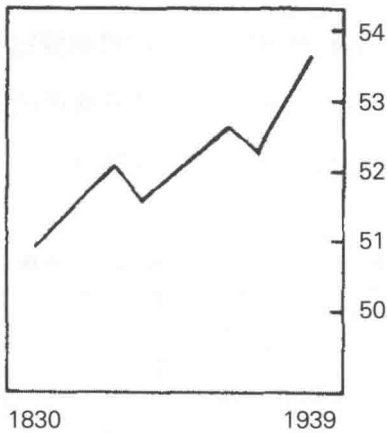


图89

很多事物存在波峰和波谷之间的周期性规律，例如流行病、山猫皮产量、天幕毛虫、鲑鱼回游等，十分常见。在人类活动中，循环并没有统一的时间间隔，但它们的波浪形态遵循斐波那契数列。

动态对称是一种自然规律，是各种波动形态的基础。

自从发现地球是圆的这一事实之后，循环成为很多研究的主题。循环的主要种类有三种。第一种是最高点和最低点之间的统一性周期循环，如白昼、一年四季、潮汐、流行病、天气、昆虫等。（我推荐阅读一篇由唐纳德·G·库利写的标题为《循环预测未来》的文章，发表于1944年2月的《机械图解》杂志。）第二种是定期的波动，在某些例子中，是由天文方面原因造成的周期性运动。第三种，是形态、时间和比率，与数学家斐波那契揭示的求和数列是一致的。

牛津大学A·H·丘奇教授撰写的名为《叶序和机械定律》的小册子很有趣。叶序指的是植物树叶的排列。杰伊·汉比奇花了很多年的时间搜寻记录，撰写了一本名为《动态对称的实际应用》的著作。该著作中有一章

的标题为“叶序规律”，该书第27~28页的内容在本书第二章中引用过。

伊利诺伊大学病理学教授威廉·F·彼得森撰写了一本非常重要和有趣的著作，标题为《病人与天气》。书中有疾病演进的规律，其波动形态与包括股票市场在内的其他人类活动的走势完全相同。

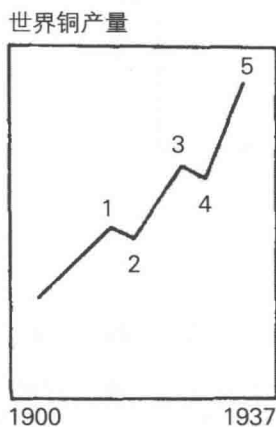


图90

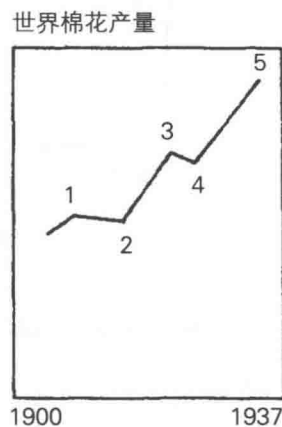


图91

第 23 章 大萧条

股票市场中，“大萧条”这个表达常常是错误的。1929年至1932年的股市下跌是对前期上涨的调整，如图68和图82所示。“衰减、萧条”（depression）在词典中的定义是“低于一般水平”。美国科罗拉多州大峡谷是一种“萧条”，因为大峡谷两侧都低于通常地平线之下数英里。从落基山脉的顶部到太平洋海岸是一种“调整”，而不是“萧条”，尽管太平洋海岸比科洛罗多州大峡谷底部的海拔要低很多。股票市场中不存在所谓的“萧条”。如果有的话，那么说从落基山脉的顶部到太平洋海岸是“萧条”就是正确的了。这一错误的表达有很多的原因。

对股票市场毫无兴趣的公众，很可能已经习惯于1921年至1929年的持续就业状况，他们自然会认为这是正常的就业状态。当1929年至1932年出现经济衰退时，很多人很难实现收支相抵。自然而然，对他们来说，这是一种“萧条”。

1921年至1929年股市上涨行情期间，广大投资者之间相互流传的说法包括：我们正处于“新时代”、“永远不会下跌”、“市场会继续前行”等，很多市场操作虽然合法但很可怕。

许多政客应该对“萧条”一词的错误使用负责。1929年至1932年股市下跌的早期，正值胡佛总统在位，一些政客就说繁荣马上到来。1932年总统选举期间，民主党指责共和党和胡佛总统，称他们应当对经济萧条负责。1932

年、1936年和1940年选举结果表明，多数选民相信新政。然而，共和党人指责新政拥护者应对1937年至1942年的下跌负责。这些无论是民主党还是共和党编造的政治谎言，都在本书第10章和第11章的图形中得到了展示。

股票市场从未有过所谓的“萧条”，它仅仅是对前期上涨的调整。一轮循环就是作用与反作用的过程。

很多金融服务机构和报刊杂志财经评论员，热衷于讨论当前事件，将新闻时事视为市场涨跌的原因，将每日消息和市场行为联系起来。当没有消息而市场出现波动时，他们就说这样的市场行为是“技术因素”引起的。关于消息的价值在第17章中已经予以讨论。

一些重要事件不时发生，如果伦敦股市下跌而纽约股市上涨，或者相反情况出现，这些评论员就不知所措了。伯纳德·巴鲁奇先生最近说，“无论做了什么或者没做什么，繁荣将会与我们相伴几年。”请仔细考虑这句话的含义。

在“黑暗年代”，世界被认为是平的。我们曾执着于类似的错觉。

第 24 章 个体的情绪周期循环

关于人类行为中群体情绪波动方面的研究，我在其他章节中已经用图形说明过。现在有一位科学家揭示了他在个体情绪波动规律方面的研究成果。1945年11月出版的《红书》上，米隆·斯特恩斯发表了一篇文章，文章报道了科学家雷克斯福德·B·赫希博士17年的研究成果。麦科考出版公司已经许可我引用该文章。请关注最后几段的一些数字。

赫希博士，毕业于西弗吉尼亚大学和柏林大学……赫希博士就其发现，撰写了一本名为《工人在商店和家庭中的情绪》的书，此书由宾夕法尼亚大学于1932年出版。宾夕法尼亚铁路公司富有远见的人资助了赫希的工作……赫希博士受邀前往德国，他发现德国的工人与美国工人情绪状况有相同的反应。

人类情绪周期性波动得到赫希博士的验证，他对工人的持续观察和研究超过17年之久。他的研究表明，我们所有人，快乐和悲伤情绪相生相伴彼此有规律地出现，几乎和潮汐的规律一样。他发现，他在每个人身上的观察，在经过几周的时间后，他们的情绪波动都会呈现出相同的形态。赫希博士的图形显示，大约每五周的时间，个体就会变得更加挑剔。

人们常常想当然地认为，坏运气会使你情绪受挫，除非你有超强的意志力。而好消息会使你立即变得飘飘然起来。但是，现在科学证明那是错误的。如果你精力充沛、富有热情，那么好消息会使你情绪更高。但如果你正挣扎于黑色星期一时，那么好消息只是暂时缓解你的情绪，仅此而已。

人类的情绪通常会按照固定的间隔出现起伏，大约33到36天之间。这些情绪因素的起起落落与股票市场走势类似。

血液胆固醇的循环周期大约是56天……甲状腺分泌情况决定了情绪的周期，一般会在4至5周内完成情绪高低点的周期循环……在甲状腺机能亢进情况下，该周期可能会缩短至3周。

情绪周期的长短在男女之间似乎没有什么差别。

斐波那契数列中包括数字3、5、34和55。时间循环并不总是准确的。因此当一个周期为33至36天时，那么平均周期大致就是34天。平均周期55天也包括了56天的情况。

当你的家人、朋友、员工、老板或者客户使你心烦时，我建议你阅读一下本章内容。其他人和你一样，都有情绪周期。不要让你的情绪周期和其他人的搅和在一起。



第 25 章 毕达哥拉斯

毕达哥拉斯，一个伟大的人物，生活在公元前5世纪，历史地位很少有人能与之媲美。我鼓励读者阅读《大英百科全书》中一篇有关毕达哥拉斯活动的介绍。他坚持不懈地对其他人的发现进行调查，访问过“文明的发源地”埃及。

毕达哥拉斯主要以其数学研究而出名。据我所知，他的发现中最为重要的一项被人们忽视了。他曾绘制过一个三角形，并在图形下边写了一个神秘的标题“宇宙的奥秘”。这在本书第2章中进行过介绍。

1945年，毕达哥拉斯学会主席约翰·H·玛纳斯先生写过一本名为《揭开生命之谜》的书，书中他揭示了毕达哥拉斯的一幅画，我得到了加利福尼亚州洛杉矶哲学学会曼利·P·豪先生的许可，在此展示此画。

在这幅画中，有很多符号，但我们将集中考察两个重要地方，毕达哥拉斯右手所持的金字塔，以及这幅画右下角的三个正方形。

这座金字塔代表了大金字塔吉萨，很可能建造于公元前1000年。一些学者认为其修建年代更为久远。该金字塔被视为“世界七大奇迹之一”。令人惊叹的是，它的精确计划以及将巨大的大理石安放在恰当的位置。然而这一特征与其神秘符号所蕴含的知识相比，就显得微不足道了。这也许正如圣经《以赛亚书》19:19：“当那日，在埃及地中必有为耶和华筑的一座坛；在埃及的边界上必有为耶和华立的一根柱。”



在第2章中，有此金字塔不同视角的图示。为了便于讲解，图92中再次展示金字塔的侧面。

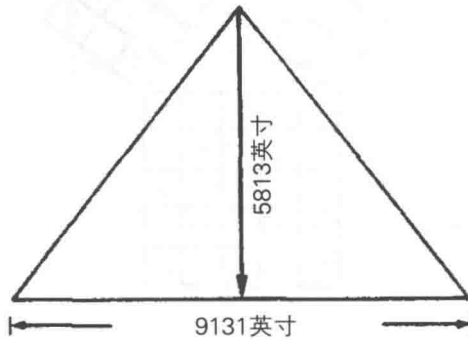


图92

金字塔侧面底边长9131英寸。四个侧面底边总长度为36524.22英寸。这一符号代表了一年的天数，365.25天。我们公历年有365天，但是每四年都要加一天（2月29日）。这一年是“闰年”。四年的总天数为1461天。

底边到顶部的高度为5813英寸。一个侧面的底边长度是9131英寸。这一高度与底边长度之比为63.6%。金字塔有5个表面和8条线。5加上8等于13。注意高度5813英寸——5、8和13。5是8的62.5%，8是13的61.5%。注意这一比率在图71中的应用。

在人类活动中，一轮上升波动一般由五浪所组成，三浪上升，两浪间隔调整。一个循环由五个上升浪和三个下跌浪所组成，总数为8。这对于所有级别的波动都适用，小浪、中浪和大浪。参见第4章。

图93再次展示了毕达哥拉斯那幅图画中右下角的图像。我给图画中的阴影部分做了数字标记。右上角的正方形中有5个阴影方格，左上角的正方形中有8个阴影方格，下边正方形中有13个阴影方格。这些数字与金字塔高度的英寸数字一致。

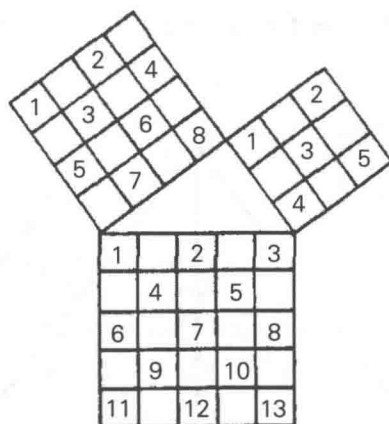


图93

图94展示了同样的三个正方形。按照不同的方式给那些小方格标记了数字，具体为：

- 1, 2和3, 3的平方为9。
- 1, 2, 3和4, 4的平方为16。
- 1, 2, 3, 4和5, 5的平方为25。

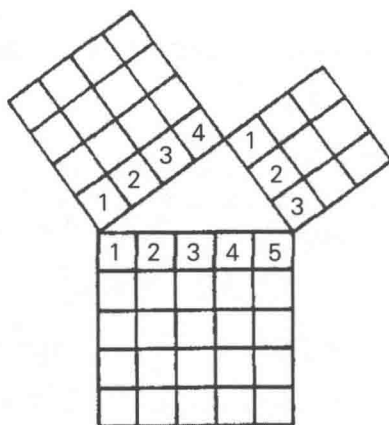


图94

毕达哥拉斯定理是直角三角形的斜边的平方等于其他两边的平方之和。这一定理是毕达哥拉斯最重要的发现。

现在回到斐波那契数列，1至144，这些数字形成了毕达哥拉斯所指的“宇宙的奥秘”。植物学中最典型的例子是向日葵，如第2章中杰伊·汉比奇先生所述。在人类和动物的身体上，数字3和5也是适用的。毕达哥拉斯那副图画上还有很多其他符号，那些符号充满着无限神秘的想象力。

第26章 杂记

波浪与成交量

上涨行情中，浪5的成交量不会超过浪3的成交量，经常是比浪3要少。只要成交量还在增加，那么将出现另一轮的上涨，直到价格创出新高而成交量没有再增加。参见图95。注意浪2的成交量比浪1的少。这是一种有利的现象。

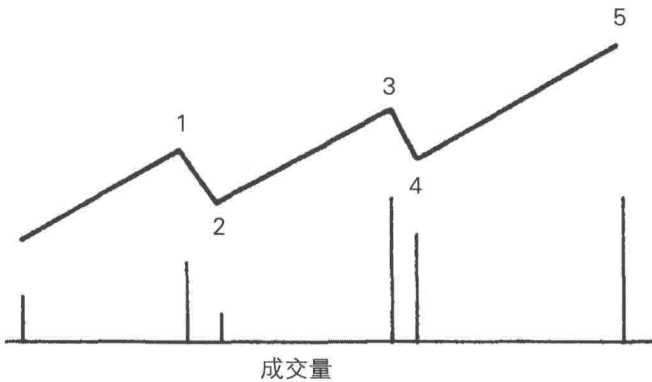


图95

圆

“循环”一词意味着圆圈。这一特征经常出现在股市图形中。图96中的圆圈被划分为四部分，A、B、C和D。当图形向下运动时，例如在C段中，考

考虑到波浪的数目，我们可以判断下跌走势已经完成，可以预期在底部附近，一个或者更多的三浪波动即将出现，然后市场将出现加速上升，如D段的情况。整个图形的上升和下降就像是C段和D段的结合，换句话说就是圆的下半部分。

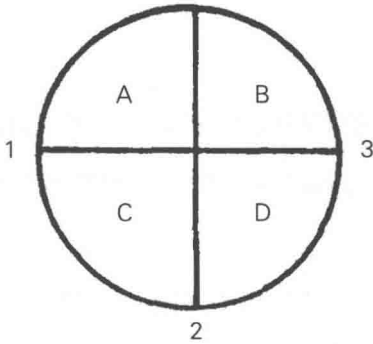


图96

1945年末出现的罢工潮，就是从左到右的摆动，从1到2再到3，如图96所示。在工会组织成立之前（1906年之前），很多企业老板，即便不是大多数，对员工都是专制、冷酷和无同情心的。可以说，现在那些罢工者的行为没有比早期管理层的行为差到哪里去。对于每一个国家，人群和个体行为都有其波浪循环，有些长一些，有些短一些，取决于其各自波浪的发展阶段以及其波动幅度。

A-B 底部

如第6章图53所示，A-B底部，有时由双重横盘调整浪或者三重横盘调整浪所组成，这在第5章介绍过了。当市场出现圆形底时，情况尤为如此，如上文标题“圆”下面第一段文字所述。

第 27 章 1942 年至 1945 年的大牛市

道琼斯工业股平均价格指数1928年至1942年4月间出现长达13年的三角形态在图71中给出。如第5章图31、图32、图37和图38所示，三角形态之后，市场将击穿顶点突破。

图97给出了道琼斯工业股平均价格指数。每一条竖线表示一个月的波动情况。大浪①较短，大浪③较长，大浪③的每个中浪由小写字母a, b, c, d, e表示，请注意b浪和d浪位置底部的那条基准线。大浪④从1943年7月持续到11月，由三个中浪所组成，分别用小写字母a, b和c表示。大浪⑤从1943年11月持续到1945年12月10日，A浪和B浪持续5个月的时间，此期间日波动和周波动走势上，所有波浪都是由三浪组成（参见图53）。

从字母B开始到数字1是中浪1，在日波动图上，它是由五浪所组成。中浪3由五浪所组成，分别用小写字母a, b, c, d, e（e浪出现延伸）表示。在驱动浪1、3和5中，最多出现一个延长浪（参见本书图39至图44）。中浪4与中浪2相同。中浪5在周波动图上由五个子浪所组成，于1945年12月10日达到196.59点。平行线被轻微击穿。1945年12月10日之后，出现不规则顶部，市场于1946年2月4日达到207.49点。

1943年11月至1945年12月大浪⑤的形态，从某一方面来讲是不太寻常的情况。从1943年11月至1945年8月，大浪⑤一直贴着平行线波动，而不是直线奔向上通道线。这一异常现象的原因是一批资金充分但经验不足的投资

者偏好低价股票，而不是那些平均价格指数所涵盖的成熟类股票。为了解决此异常情况，我专门设计了一个能表现正常状况的特殊指数，如图97中下图所示。在此图中，大浪⑤并没有贴近基线，而是从开始到结束都沿着一条直线波动。

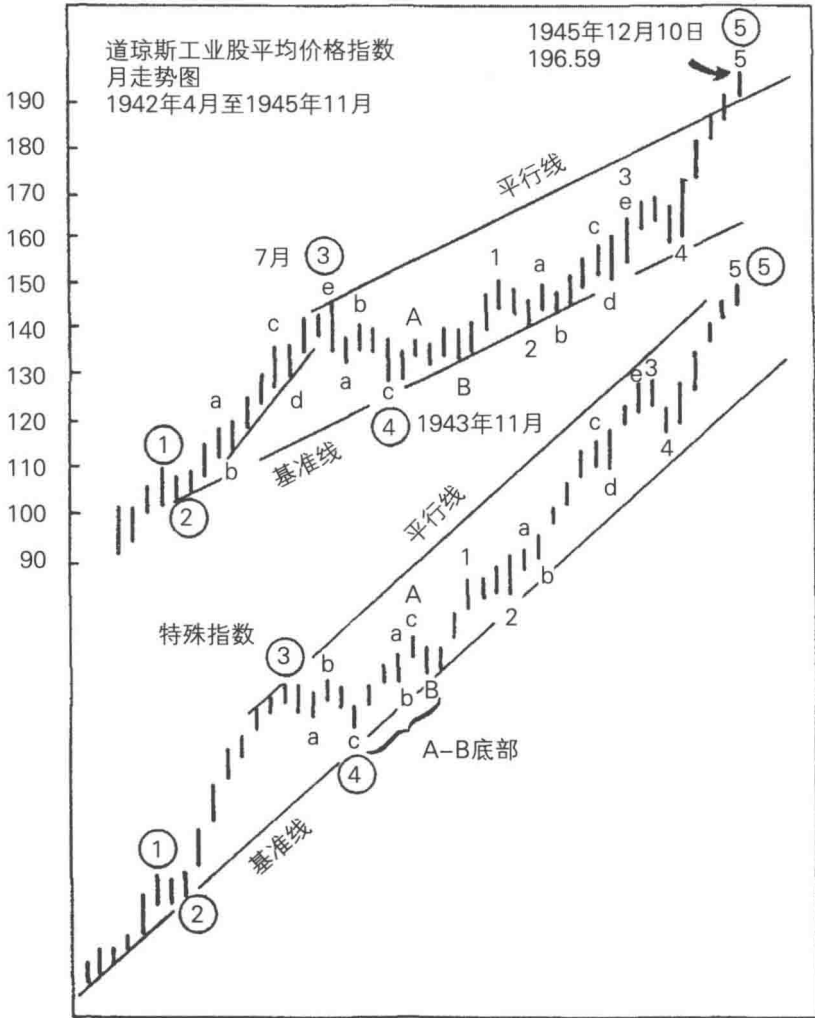


图97

注意：图97中，道琼斯工业平均价格指数于1945年12月10日达到196.59点的常规顶部。本书截稿之时，B浪这一不规则顶部正在形成过程中。C浪将紧随其后（参见第7章）。

如第12章图76所示，我预期市场将出现亚常态熊市。

第 28 章 回顾和总结

图71展示了1928年至1942年13年的三角形态。参照第5章论述，可以注意到三角形态总是作为浪4出现，并且浪5会超过浪3的顶部。

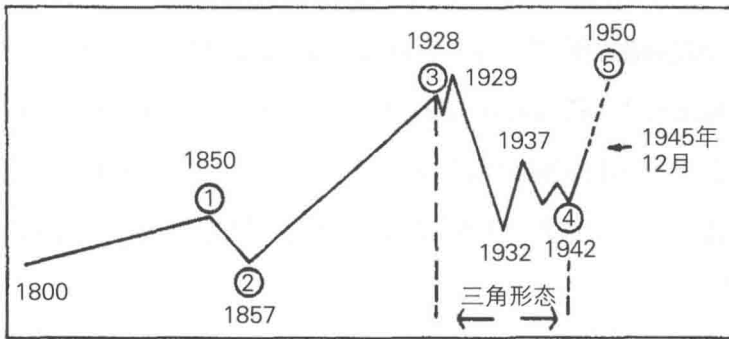


图98

图98是市场从1800年到1945年12月的走势情况。因为1857年前没有股票市场记录，1800年至1857年间的浪①、②是以经济的历史状况为基础绘制的。1928年11月是浪③的常规顶部，三角形态（浪④）始于此点。1942年4月三角形态结束，市场启动了击穿三角形顶点的行动（也就是浪⑤）。击穿浪往往会超过浪③的顶部，即超过1928年11月的位置。

1921年至1928年11月的波动，由三个牛市和两个亚常态熊市调整所组成。至今为止，在1945年12月已经出现了一个牛市。似乎可以合理地推断，1942年之后的波动形态和幅度与1921年至1928年的波动相似，都是由三个

牛市和两个亚常态调整熊市组成。

道琼斯工业股平均价格指数从1921年64点开始，结束于1928年11月的299点，持续上涨235点。从1942年4月93.93点开始出现击穿，如果加上235点就等于328点，就会高于1928年11月浪③的终点29点之多。击穿三角形顶点之后的这轮上攻可能持续8年，结束于1950年，与1921年至1929年的情况类似。由于第二次世界大战期间资金充裕，公众手中持有大量货币，此情况为我们的预测提供了有效确认。

与1921年至1928年的情况相比，现在的市场的运行顺序有所不同。1921年至1928年间，第一浪是正常的牛市，没有任何膨胀。结束于1928年11月的第五浪呈现膨胀的特征。现在的市场情况是，1942—1945年第一浪就显露出市场膨胀的特点。价值可疑的低价股领涨市场，冒充着蓝筹股的价钱。《纽约太阳报》曾经选出了96只涨幅惊人的个股。每一只股票都在每股2美元以下开始上涨。最高的涨幅是13300%，最低的涨幅是433%。这组股票平均涨幅是2776%。

本书前面所展示的波浪形态，也反映了美国历史的轮廓。美国的发展具有重大历史意义，其原因主要有：

——地理位置、形状和国界：美国拥有一个方形地貌，两侧以大洋为界，另外两侧以两个友好邻国为界。

——纬度和气候：亚热带气候，适宜农业。

——自然资源：黄金、铁、煤炭、石油、木材、水源。

——智慧和个体创造力：1850年至1929年申请专利的数量和价值是惊人的。请参考第14章的内容。要注意专利申请的走势图（图81）与股票市场的波浪走势，在时间和形态上是一致的，股票市场走势反过来会反映商业活动和大众心理。

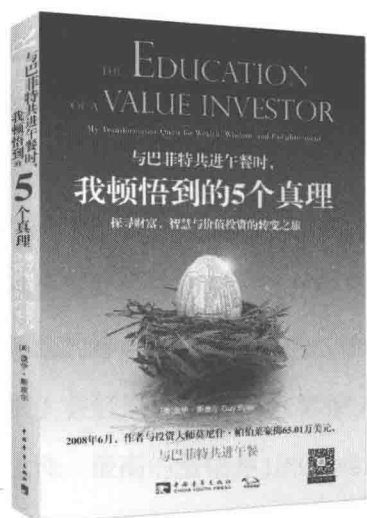


——民主观念：政府的组织形式激发了个体创新能力。这并不意味着已经达到了完美程度，而是表明我们的发展方向或许是正确的。

《与巴菲特共进午餐时，我顿悟到的5个真理： 探寻财富、智慧与价值投资的转变之旅》

亚马逊中国 2015 年 10 月票选好书

当一位年轻的对冲基金经理以 65.01 万美元竞价
与巴菲特共进午餐将会发生什么？他成为了一名真正的价值投资者。



ISBN : 978-7-5153-3151-5

著 者 : (美) 盖伊·斯皮尔

开 本 : 16开

页 数 : 232页

出版社 : 中国青年出版社

内容简介

本书记录了作者的重大转变，从一个年轻傲慢的投行经理，变成了一个坚守价值投资、取得高度成功的对冲基金经理人。作者的转变与进步，源于他的深刻反省、格雷厄姆与巴菲特的投资理念，同一些全球顶级投资家的学习与探讨，还有与心中偶像沃伦·巴菲特的一次午餐，这顿价值65.01万美元的慈善午餐教给了他人生中最有价值的课程，包括非常规思维往往更好、永葆好奇心与童真、学会说不、忠实于自己、培养并维系有价值的人际关系。在这次午餐之后不到一年时间里，他从曼哈顿搬到了苏黎世，不再向新的投资者收取管理费，也不再上瘾着迷地查看股价。

作者的故事充满了力量，常有令人惊愕之处，对投资、交易和高风险决策的敏锐洞察比比皆是。通过分享他过往的投资案例，作者详细讲述：为什么正确的榜样是投资成功的关键；如何构建更好的投资流程；如何过滤掉市场中让大多数投资者受干扰的短期噪音，并从中获利。最重要的是，他解释了对自我清楚的认知如何帮助他梳理思绪，并做出更好的投资决策——而不是被好胜心、嫉妒、恐惧所驱动进行决策。书中还介绍了他与著名投资家莫尼什·帕伯莱共同总结的“投资者检查清单”，这样的检查清单可避免投资者犯重大错误。作者还给出了一些投资建议和技巧，以及做出明智决策的方法。

对于任何对投资感兴趣的人，对于那些想要通过走不同道路获得成功的投资者，本书将提供视野、指导与激励。

作者简介

盖伊·斯皮尔已经运营蓝宝石基金长达18年，取得了令人难忘的成功和震撼市场的回报。作为沃伦·巴菲特的热心门徒，盖伊从1500万美元资金起家，严格复制了巴菲特1950年代的合伙人费率结构与方式。2007年6月，他和投资大师莫尼什·帕伯莱出价65.01万美元，竞拍到与“股神”巴菲特共进慈善午餐的机会。在创立蓝宝石基金之前，他曾在纽约担任投资银行经理，并在伦敦与巴黎短暂从事过企业管理咨询工作。

斯皮尔还是财经评论员，曾在CNN、CNBC、彭博电视台、福克斯商业新闻等媒体发表评论。

斯皮尔以名列前茅的成绩获得牛津大学政治哲学经济学位，曾与英国首相卡梅伦共同修经济学课程，之后在哈佛商学院完成MBA学业。

名人推荐

打开斯皮尔先生的著作，学习如何按照自己的规则行动。华尔街越是狂奔不止，你越要放慢脚步，远离那些疯狂。

——贾森·兹威格，《聪明的投资者》最新版评注者

本书为所有类型的投资者提供了一项性价比非常高的教育。这些课程以自我转变、自我超越、自我反省的形式能带来投资成功。它能给任何读者带来益处，而不仅仅是投资者。

——罗伯特·B·西奥迪尼，畅销书《影响力》作者

盖伊在书中提出了一些宝贵建议，非常契合我伯父约翰·邓普顿的投资哲学。如果能够轻而易举地从盖伊·斯皮尔这样的专家那里得到建议，为什么还要自己吃一堑长一智呢？毕竟在证券市场上栽跟头的代价是昂贵的。

——劳伦·C·邓普顿，劳伦·邓普顿资本管理公司创始人、总裁

它是我读过的同类书籍中最好的一本，不但分享了非常宝贵的投资课程，还生动讲述了一个初出茅庐的新手成长为投资大师的故事。

——肯·叔宾·斯坦，注册金融分析师，哥伦比亚商学院，
格雷厄姆和多德投资海尔布伦中心

很少能找到一本价值投资书籍，像本书一样值得品读。要想找一本融合投资智慧和生活哲理的书，并且书中见解直击人心、挑战传统思维，且非常有用就更难了。一旦打开此书，你便会爱不释手。因为它，你很可能成为一个更好的人！

——莱恩·施莱辛格，哈佛商学院教授

大多数时候，我们并没有真正读懂巴菲特。进入投资市场，我们到底可以跟巴菲特学什么呢？本书讲述的就是斯皮尔如何接受巴菲特的投资理念，并通过实践，一步步摸索成为一名杰出投资者。因为作者结合自己的经历讲故事和感悟，读来不仅感觉生动有趣，更引人深思。

——程兆民，价值投资人，纪录片《黄金时代》《财富与梦想：中国股市二十年》总撰稿

价值投资并不仅仅只是一种方法，更是一种人生的态度。盖伊·斯皮尔的这本书就展示了这一主题。通过拍卖午餐会见到巴菲特的人不少，但是写了一本书来记录自己真切感受、展示物超所值的似乎只有斯皮尔一个人。你可能无需与巴菲特共进午餐，也可能获得这些真理，但是未必能够像斯皮尔那样刻骨铭心。

——姚斌，著名价值投资人，一只花猫

自从人类诞生以来，万事万物呈现出规律性运动这一自然法则，这一规律性运动被称为波浪循环，股票市场的价格循环波动以及牛熊市更替同样受到这一自然法则的控制。市场每日价格波动看似杂乱无章，但其背后存在主宰规律，且波浪形态在不断重复自身的轨迹。人们可以识别、掌握这一规律，从而测量和预测各种趋势与调整。

——拉尔夫·N·艾略特，波浪理论创始人

一旦你掌握了波浪理论，就可以自行拥有一种崭新的、神奇的市场分析方法，甚至比这更多——一种可以应用到其他生活空间的数理哲学。

——小罗伯特·R·普莱切特，波浪理论著名分析师

关于什么时间进入某个特定市场，在哪个点位出来，艾略特波浪理论提供了一个概率框架。

——罗宾·威尔金，摩根大通前外汇与商品技术策略全球主管

艾略特的发现在他所在的时代是超前的。实际上，在过去一二十年中，很多杰出的学者都拥护艾略特的观点，并且积极倡导金融市场分形的存在。

——乔丹·柯蒂克

巴克莱资本技术策略全球主管，市场技术分析师协会前主席

艾略特在观察、研究和思考自己的理论中，融合了道氏的发现，而且在综合性和精准性方面比道氏理论更进了一步。两人已经感觉到了控制市场运动的人为因素，但道氏做的是大写意，而艾略特完成的是工笔画，且更具广泛性。

——查尔斯·J·柯林斯，柯林斯投资顾问公司创始人

ELLIOTT WAVE PRINCIPLE



投稿热线：
010-65516872 / 65519079



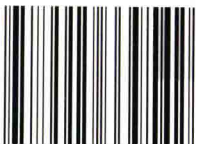
中青文图书专营店
<http://zqwt5.tmall.com>



卓越教师网

上架类别：股票 畅销书

ISBN 978-7-5153-3954-2



9 787515 339542 >

www.cyb.com.cn
定价：35.00元

责任编辑：肖佳 书籍设计：李甦